

مقاله های پژوهشی

- ۳۵۹..... مطالعه‌ی ارتباط بین پلی مورفیسم A/G در ناحیه‌ی اینترونی ژن FGFR2 و سرطان پستان
 دکتر مجید متولی باشی، مهسا غلام پور
- ۳۳۸..... بررسی ارتباط پاپیلوما ویروس انسانی تیپ ۶، ۱۱، ۱۶ و ۱۸ با سرطان پستان
 مسعود دوستی، دکتر مهراں بخشش، دکتر شکوه تقی پور ظهیر، دکتر علیرضا حاتمی، محمد شایسته پور، دکتر منصور مقیمی
- ۳۷۸..... مطالعه‌ی بیوانفورماتیکی و بررسی بیان ژن بهینه شده‌ی زیر واحد B کلرا توکسین به عنوان کاندید واکسن
 دکتر شهرام نظریان، محمدعلی عارف پور، محمدجواد باقری پور، دکتر غلامرضا اولاد
- تأثیر ۸ ماه تمرین مقاومتی بر سطوح GH (Growth hormone) و IGF1 (Insulin-like growth factor) و IGF1 (Insulin-like growth factor) پلاسما در دو بیمار مبتلا به سوختگی شدید
 نسیم بهزادنژاد، سید محمد مرندی، دکتر فهیمه اسفراجانی، دکتر احمد عابدی، فرشته بردیا

مقاله مروری

- ۴۰۸..... نقش ریز مغذی‌ها در فعالیت بیماری آرتریت روماتوئید
 دکتر سپیده حجازی، دکتر کامیلا هاشم‌زاده، دکتر مریم صاحب‌اری

Original Articles

- The Association of A/G Polymorphism in Intronic Region of FGFR2 Gene and Breast Cancer 367
 Majid Motovali-Bashi PhD, Mahsa Gholampour
- The Relationship of Low-Risk (6, 11) and High-Risk Types (16, 18) of Papilloma Virus and Human Breast Cancer in Women.....377
 Masoud Doosti, Mehran Bakhshesh PhD, Shokouh Taghipour-Zahir PhD, Alirza Hatami, Mohammad Shayestehpour, Mansour Moghimi PhD
- Bioinformatical Study and Evaluation of Expression of Cholera Toxin Subunit B Optimized Gene as a Vaccine Candidate.....387
 Shahram Nazarian PhD, Mohamad Ali Arefpour MSc, Mohamad Javad Bagheripour, Golamreza Olad PhD
- The Effect of Eight Months of Resistive Training on Growth hormone, Insulin-Like Growth Factor1 and Insulin-like Growth Factor Binding Protein3 Plasma Levels in Patients with Severe Burns 407
 Nasim Behzadnezhad MSc, Sayyed Mohammad Marandi PhD, Fahimeh Esfarjani PhD, Ahmad Abedi PhD, Fereshteh Bardia MSc
- Review Article
- Role of the Trace Elements in Rheumatoid Arthritis.....415
 Sepideh Hejazi MD, Kamila Hashemzadeh MD, Maryam Sahebari MD



مجله دانشکده پزشکی اصفهان

سال سی و دوم، شماره (۲۷۹)، هفته چهارم اردیبهشت ۱۳۹۳

صاحب امتیاز:

دانشگاه علوم پزشکی و خدمات بهداشتی - درمانی استان اصفهان

مدیر مسؤول: دکتر منصور شعله‌ور سردبیر افتخاری: دکتر رویا کلیشادی

سردبیر: دکتر مجید برکتین

معاون سردبیر: دکتر رضا روزبهانی

امور نشر:
(ویراستاری، صفحه آرایی، طراحی و چاپ)
شرکت فرزانتگان راداندیش
اصفهان، صندوق پستی ۱۷۹۸-۸۱۴۶۵
تلفن و دورنگار: ۰۳۱۱-۶۶۸۶۳۰۲
f.radandish@gmail.com
www.farzaneganco.ir
تیراژ: ۵۰۰ نسخه

ناشر:
انتشارات دانشگاه علوم پزشکی اصفهان
نشانی: اصفهان، خیابان هزار جریب، دانشگاه علوم پزشکی اصفهان
E-mail: publications@mui.ac.ir
دفتر مجله: دانشکده پزشکی
صندوق پستی: ۸۱۷۴۴/۱۷۶
مسؤول دفتر: گلناز رجبی
تلفن: ۰۳۱۱-۶۶۹۴۷۳۷
دورنگار: ۰۳۱۱-۷۹۲۲۲۹۱
E-mail: jims@med.mui.ac.ir
وب سایت مجله: http://www.journals.mui.ac.ir/jims

این مجله در نمایه‌های بین‌المللی زیر در دسترس قرار دارد.

- Scopus
- Chemical Abstracts
- Islamic World Science Citation Center (ISC)
- Academic Search Complete EBSCO Publishing databases
- WHO/EMRO/Index Medicus
- Google Scholar
- Index Copernicus
- Directory of Open Access Journal (DOAJ)
- Index Academicus
- Scientific Information Database (www.sid.ir)
- www.iranmedex.com

کپی‌رایت: چاپ مطالب مندرج در این مجله به شرط ذکر منبع مجله بلامانع است.

تصاویر رنگی مقالات و کلیپ‌های ویدئویی بر روی وب سایت مجله قابل دسترسی می‌باشند

اعضای شورای نویسندگان مجله دانشکده پزشکی اصفهان (به ترتیب حروف الفبا)

| نام و نام خانوادگی | مرتبه علمی |
|------------------------------|---|
| ۱- دکتر مجتبی ابطحی | دانشیار، متخصص گوش و حلق و بینی، دانشگاه علوم پزشکی اصفهان، اصفهان، ایران |
| ۲- دکتر ابراهیم اسفندیاری | استاد، متخصص علوم تشریحی، دانشگاه علوم پزشکی اصفهان، اصفهان، ایران |
| ۳- دکتر محمد اسماعیل اکبری | استاد، فوق تخصص جراحی، دانشگاه علوم پزشکی تهران، تهران، ایران |
| ۴- دکتر فرامرز اسماعیل بیگی | استاد، متخصص داخلی، دانشکده‌ی پزشکی، آمریکا |
| ۵- دکتر افسون امامی | دانشیار، فوق تخصص نفرولوژی، دانشگاه علوم پزشکی اصفهان، اصفهان، ایران |
| ۶- شاهین امامی | گروه بیوشیمی و غدد داخلی، بیمارستان سن آنتونیو، فرانسه |
| ۷- دکتر علیرضا امامی | دانشیار، متخصص بیماری‌های عفونی و گرمسیری، دانشگاه علوم پزشکی اصفهان، اصفهان، ایران |
| ۸- دکتر بابک امرا | استاد، فوق تخصص ریه، دانشگاه علوم پزشکی اصفهان، اصفهان، ایران |
| ۹- دکتر رضا امین | استاد، متخصص اطفال، دانشگاه علوم پزشکی شیراز، شیراز، ایران |
| ۱۰- دکتر کن باست | استاد، متخصص بیماری‌های پوستی، مرکز تحقیقات پوست و لیشمانیوز، کانادا |
| ۱۱- دکتر رضا باقریان سرارودی | استادیار، متخصص روانشناسی، دانشگاه علوم پزشکی اصفهان، اصفهان، ایران |
| ۱۲- دکتر مجید برکتین | دانشیار، متخصص روانپزشکی، دانشگاه علوم پزشکی اصفهان، اصفهان، ایران |
| ۱۳- فرزین پور فرزاد | گروه زیست شناسی سلولی و ژنتیک، دانشگاه اراسموس، روتردام، هلند |
| ۱۴- دکتر مسعود پورمقدس | استاد، متخصص قلب و عروق، دانشگاه علوم پزشکی اصفهان، اصفهان، ایران |
| ۱۵- دکتر احمد چیت‌ساز | دانشیار، متخصص داخلی اعصاب، دانشگاه علوم پزشکی اصفهان، اصفهان، ایران |
| ۱۶- دکتر مینا حسن رضایی | متخصص نورو ایمنولوژی، دانشکده‌ی داروسازی، آمریکا |
| ۱۷- دکتر سید مرتضی حیدری | دانشیار، متخصص بیهوشی، دانشگاه علوم پزشکی اصفهان، اصفهان، ایران |
| ۱۸- دکتر بهناز خانی | دانشیار، متخصص زنان و زایمان، دانشگاه علوم پزشکی اصفهان، اصفهان، ایران |
| ۱۹- دکتر مجید خزاعی | دانشیار، متخصص فیزیولوژی، دانشگاه علوم پزشکی اصفهان، اصفهان، ایران |
| ۲۰- دکتر حسن رزمجو | استاد، متخصص چشم، فلوشیپ ویتره و رتین، دانشگاه علوم پزشکی اصفهان، اصفهان، ایران |
| ۲۱- دکتر رضا روزبهانی | استادیار، متخصص پزشکی اجتماعی، دانشگاه علوم پزشکی اصفهان، اصفهان، ایران |
| ۲۲- دکتر مسعود سهیلیان | استاد، فلوشیپ ویتره و رتین، دانشگاه علوم پزشکی شهید بهشتی، تهران، ایران |
| ۲۳- دکتر منصور شعله‌ور | دانشیار، متخصص قلب و عروق، دانشگاه علوم پزشکی اصفهان، اصفهان، ایران |
| ۲۴- دکتر محمدرضا صفوی | استادیار، متخصص بیهوشی، دانشگاه علوم پزشکی اصفهان، اصفهان، ایران |
| ۲۵- دکتر خسرو عادل‌لی | استاد، متخصص بیوشیمی بالینی، دانشگاه تورنتو، تورنتو، کانادا |
| ۲۶- دکتر سعید عندلیب | استاد، متخصص پاتولوژی، دانشگاه لوئیس ویل، آمریکا |
| ۲۷- دکتر غلامرضا عسکری | متخصص بیماری‌های پوستی، دانشگاه علوم پزشکی اصفهان، اصفهان، ایران |
| ۲۸- دکتر زیبا فرج‌زادگان | دانشیار، متخصص پزشکی اجتماعی، دانشگاه علوم پزشکی اصفهان، اصفهان، ایران |
| ۲۹- دکتر حمید فشارکی | دانشیار، متخصص چشم، فلوشیپ ویتره و رتین، دانشگاه علوم پزشکی اصفهان، اصفهان، ایران |
| ۳۰- دکتر مرجانه فولادی | دکترای پرستاری، دانشگاه فلوریدا، آمریکا |
| ۳۱- دکتر علی قیصری | استاد، فوق تخصص جراحی قلب، کالیفرنیا، آمریکا |
| ۳۲- دکتر منصور کارآموز | استاد، متخصص اورولوژی، کالیفرنیا، آمریکا |
| ۳۳- دکتر رویا کلشادی | استاد، متخصص اطفال، دانشگاه علوم پزشکی اصفهان، اصفهان، ایران |
| ۳۴- دکتر جعفر گلشاهی | دانشیار، فوق تخصص قلب و عروق، دانشگاه علوم پزشکی اصفهان، اصفهان، ایران |
| ۳۵- دکتر عزیز گهری | استاد، متخصص بیماری‌های پوستی، مرکز تحقیقات پوست و لیشمانیوز، کانادا |
| ۳۶- دکتر پروین محزونی | دانشیار، فوق تخصص آسیب شناسی پزشکی، دانشگاه علوم پزشکی اصفهان، اصفهان، ایران |
| ۳۷- دکتر سید مهدی مدرس | استاد، متخصص چشم، دانشگاه علوم پزشکی تهران، تهران، ایران |
| ۳۸- دکتر محمد مردانی | دانشیار، متخصص علوم تشریحی، دانشگاه علوم پزشکی اصفهان، اصفهان، ایران |
| ۳۹- دکتر هوشنگ معین | استاد، متخصص جراحی اعصاب، دانشگاه علوم پزشکی اصفهان، اصفهان، ایران |
| ۴۰- دکتر آتیه مغيثی | استاد، متخصص غدد داخلی، مرکز تحقیقات غدد و متابولیسم، آمریکا |
| ۴۱- دکتر مجید ملکی | استاد، متخصص قلب و عروق، دانشگاه علوم پزشکی شهید بهشتی، تهران، ایران |
| ۴۲- دکتر محمدرضا نوربخش | دانشیار، متخصص فیزیوتراپی، آمریکا |
| ۴۳- دکتر فریدون نوحی | استاد، متخصص قلب و عروق، دانشگاه علوم پزشکی تهران، تهران، ایران |
| ۴۴- دکتر علی محمد هنجنی | استاد، متخصص قلب و عروق، دانشگاه علوم پزشکی شیراز، شیراز، ایران |

راهنمای نویسندگان مجله دانشکده پزشکی اصفهان

- ۱- **اهداف و چشم انداز:** مجله دانشکده پزشکی اصفهان به صورت هفته‌نامه و تحت حمایت دانشگاه علوم پزشکی اصفهان منتشر می‌گردد.
- ۲- این مجله مقالات اصلی و پژوهشی، مروری، مقالات کوتاه، مقالات دارای امتیاز بازآموزی و نامه به سردبیر را منتشر می‌نماید و همچنین فیلم‌های آموزشی تهیه شده توسط محققین را بر روی وب سایت مجله قرار می‌دهد.
- ۳- **پذیرش دست‌نوشته:** پذیرش دست‌نوشته‌ها و پیگیری‌های بعدی در این مجله فقط از طریق وب سایت اختصاصی آن به آدرس <http://www.journals.mui.ac.ir/jims> و پس از ثبت نام (Registration) در آن ممکن می‌باشد. همراه دست‌نوشته باید یک نامه تایپ شده (Covering letter) به سردبیر، شامل عنوان و اسامی نویسنده یا نویسندگان و اعلام این که این دست‌نوشته در مجلات دیگر چاپ نشده است و یا همزمان در حال بررسی نمی‌باشد، ارسال گردد.
- ۴- دست‌نوشته باید توسط نرم‌افزار MS Word در سایز A4 و فاصله خطوط دو برابر (Double Spaced) با حاشیه‌های ۲/۵ سانتی‌متری تهیه شوند. جداول بدون حاشیه خارجی و تصاویر در فرمت GIF و JPEG و در تعداد محدود باشند. ارسال مدارک با فرمت PDF به هیچ عنوان پذیرفته نیست.
- ۵- دست‌نوشته باید شامل صفحه عنوان، چکیده، مقدمه، روش‌ها، یافته‌ها، بحث، تقدیر و تشکر و منابع باشد. **صفحه عنوان:** این صفحه باید شامل عنوان کامل، عنوان مکرری، اسامی نویسنده یا نویسندگان با بالاترین مدرک تحصیلی، گروه یا بخش یا مؤسسه محل فعالیت ایشان و همچنین آدرس، تلفن، فاکس و پست الکترونیکی نویسنده مسؤول باشد. ذکر منابع مالی و اعتباری طرح پژوهشی در این صفحه ضروری است.
- ۶- **چکیده:** تمام مقالات اصلی باید دارای چکیده مقاله به دو زبان فارسی و انگلیسی با حداکثر ۲۵۰ کلمه باشد. چکیده باید شامل بخش‌های سابقه علمی موضوع، روش‌ها، یافته‌ها و بحث باشد. در پایان چکیده مقاله ۳-۵ کلمه کلیدی قرار می‌گیرد که تنها با استفاده از راهنمای MESH در آدرس (<http://nlm.nih.gov/mesh/MBrowser.html>) استخراج گردند.
- ۷- **مقدمه و معرفی:** در این بخش اهداف و علل انجام مطالعه آورده می‌شود؛ بنابراین نیازی به ارائه گسترده مطالب موجود در متون علمی نیست. در این بخش باید از ارائه اطلاعات، یافته‌های و نتایج مطالعه خودداری گردد.
- ۸- **روش‌ها:** این بخش شامل ارائه دقیق مشاهدات، مداخلات و روش‌های مورد استفاده در مطالعه است. اگر روش مورد استفاده شناخته شده است فقط منبع آن ذکر گردد اما اگر روشی نوین است، باید به صورتی توضیح داده شود که برای سایر محققان قابل درک و به طور عینی قابل انجام و تکرار باشد. در صورت استفاده از دستگاه و تجهیزات خاص باید نام، نام کارخانه سازنده و آدرس آن در پرانتز ذکر گردد. اگر از دارو در مطالعه استفاده شده است باید نام ژنریک، دوز و روش مصرف آن آورده شود. در مورد افراد و بیماران تحت مطالعه باید جنس و سن (همراه انحراف معیار) آورده شود. در مورد نرم‌افزارها و سیستم‌های کامپیوتری باید سال و ویرایش آن در پرانتز و پس از نام آن ذکر گردد. در صورتی که مطالعه دارای پرسش‌نامه یا چک لیست است، ضمیمه کردن آن لازم است؛ در مورد پرسش‌نامه‌های استاندارد ذکر نام و مرجع آن کافی است.
- ۹- **یافته‌ها:** این بخش به صورت متن همراه با جدول‌ها، شکل‌ها و نمودارها ارائه می‌گردد. محتوای جداول نباید به صورت کامل در متن ارائه شوند، بلکه کافی است با ذکر شماره جدول، شکل و یا نمودار به آنها اشاره شود. جدول‌ها، نمودارها و شکل‌ها هر کدام باید در یک صفحه جداگانه و پس از منابع، در پایان دست‌نوشته آورده شوند. در این بخش فقط یافته‌ها ارائه می‌شود و باید از ذکر دلایل و استدلال‌های مرتبط با آن خودداری گردد.
- ۱۰- **بحث:** در این بخش در ابتدا به یافته‌های مهم اساسی مطالعه و سپس تشابه و تفاوت‌های آن با یافته‌های سایر پژوهشگران در مطالعات مشابه اشاره می‌گردد. ذکر جزئیات کامل یافته‌ها در این بخش لازم نیست. تأکید بر یافته‌های جدید و با اهمیت مطالعه حاضر و دستاوردهای آن در این قسمت ضروری است. ذکر این که فرضیه ارائه شده در مطالعه صحیح یا نادرست بوده، یا این که دلایل کافی برای رد یا قبول آن به دست نیامده است، ضروری می‌باشد. هدف این بخش، ذکر دلیل اصلی انجام تحقیق، تحلیل و تفسیر یافته‌ها و همچنین نتیجه‌گیری کلی (Conclusion) است.

۱۱- **تقدیر و تشکر:** تمام افرادی که به نحوی در انجام مطالعه نقش داشته ولی جزء نویسندگان نبوده‌اند باید در این بخش مورد تقدیر قرار گیرند؛ از جمله کسانی که کمک‌های فنی، نوشتاری و مالی داده و همچنین سرپرستان و مدیران بخش‌های محل انجام مطالعه که در امر پشتیبانی‌های عمومی در اجرای تحقیق فعالیت داشته‌اند.

۱۲- **جدول‌ها:** تعداد محدود جدول با توجه به حجم مطالعه و مقاله، همراه با ذکر عنوان آن در بالای جدول مورد قبول خواهد بود. ارسال جداول فقط تحت نرم‌افزار MSWord مورد قبول است. توضیحات اضافی در خصوص محتوای جداول باید به صورت پی‌نوشته و در پایین جدول باشد. جدول‌ها باید در صفحات جداگانه و در پایان دست‌نوشته (پس از منابع) قرار داده شوند.

۱۳- **شکل‌ها:** تعداد محدود شکل همراه ذکر عنوان آن در زیر شکل یا نمودار و با فرمت GIF و JPEG قابل قبول است. اطلاعات موجود در شکل‌ها یا نمودارها نباید به طور کاملاً مشابه در جدول‌ها و یا متن مقاله ذکر شده باشند.

۱۴- **منابع:** نویسنده باید از صحت اشاره منابع ذکر شده به مطالب مورد استناد مطمئن باشد. ساختار منابع در این مجله بر اساس *Uniform Requirements for Manuscripts Submitted to Bio Medical Journals (ICMJE)* و معاهده ونکوور (Vancouver) می‌باشد. تمامی منابع باید به زبان انگلیسی باشد، ترجمه متن منابع فارسی به عهده نویسنده است و در پایان آن عبارت [Persian] خواهد آمد. موارد ذیل برای نمونه ذکر می‌گردد:

اگر منبع مورد نظر مقاله است:

نام خانوادگی نویسنده، حرف اول نام کوچک نویسنده، عنوان مقاله، مخفف نام مجله (بر اساس Medline)، سال انتشار، شماره‌ی انتشار، شماره‌ی مجله، شماره‌ی صفحات. مثال:

(EN): Iner N. Treatment of calcific aortic stenosis. Am J Cardiol 1987; 59(6): 314-7.

(FA): Zini F, Basiri Jahromi Sh. Study of fungal infections in patients with leukemia. Iranian journal of public health 1994; 1(4):89-103.[Persian].

(چنانچه تعداد نویسندگان ۶ نفر یا کمتر باشد، ذکر اسامی آن‌ها ضروری است. اگر تعداد آن‌ها ۷ نفر یا بیشتر باشد، پس از ۶ نفر، عبارت "et al." استفاده شود.)

اگر منبع مورد نظر کتاب است:

نام خانوادگی و حرف اول نام کوچک نویسنده (نویسندگان). عنوان کتاب. نوبت چاپ. محل نشر؛ ناشر؛ سال انتشار. p. شماره صفحات (نام نویسندگان با علامت کاما از هم جدا شود). مثال:

(EN): Romenes GJ. Cunningham's manual. 15th ed. New York: Oxford Univ Press; 1987.p.43-5.

(FA): Azizi F, Janghorbani M, Hatami H. Epidemiology and control of common disorders in Iran. 2nd ed. Tehran: Eshtiagh Publication; 2000.p.558.[Persian].

اگر منبع مورد نظر فصلی از کتاب است:

نام خانوادگی و حرف اول نام کوچک نویسنده (نویسندگان) آن فصل. عنوان فصل مورد نظر. در: نام خانوادگی و حرف اول نام تدوین کننده‌ی کتاب. عنوان کتاب. نوبت چاپ. محل نشر؛ نام ناشر؛ سال انتشار. p. صفحات. مثال:

(EN): Bodly L, Bailey Jr. Urinary tract infection. In: Tailor R, editor. Family medicine. 6th ed. New York: Springer; 2003.p. 807-13.

۱۵- **نمونه‌خوانی (Proofreading):** یک نسخه از مقاله پیش از چاپ جهت انجام اصلاحات ضروری و بر طرف کردن اشکالات احتمالی برای نویسنده مسؤوّل ارسال می‌گردد که لازم است در کوتاه‌ترین زمان تغییرات مورد نظر مجله انجام داده، از طریق وبسایت مجله ارسال نماید.

۱۶- **اختصارات و نشانه‌ها:** تنها از اختصارات و نشانه‌های استاندارد استفاده شود و از ذکر عبارات‌های مخفف در عنوان و خلاصه مقاله خودداری گردد.

۱۷- توضیح کامل در مورد هر کدام از عبارات‌های اختصاری برای اولین بار در متن آورده شود، مگر این که مربوط به مقیاس‌ها و مقادیر استاندارد شناخته شده باشد.

۱۸- پس از چاپ، یک نسخه از مجله برای نویسنده مسؤوّل ارسال خواهد شد.

- ۱۹- **ملاحظات اخلاقی:** این ملاحظات باید در بخش روش‌ها اشاره گردند. اخذ رضایت‌نامه از کلیه‌ی افراد بالغ شرکت‌کننده در مطالعه ضروری است و در مورد کودکان و افراد تحت تکفل باید از ولی قانونی آنها اخذ شود. ذکر منبع تأییدکننده‌ی ملاحظات اخلاقی مطالعه لازم است. هنگام استفاده از حیوانات آزمایشگاهی ذکر رعایت و مقررات استاندارد مربوط لازم است.
- ۲۰- **تداخل منافع (Conflict of Interest):** نویسنده یا نویسندگان باید هر گونه ارتباط مالی مانند دریافت هزینه، حق‌الزحمه، مواد و تجهیزات از دانشگاه‌ها، سازمان‌ها، نهادها، شرکت‌ها و سایر منابع که انتشار یافته‌های مطالعه می‌تواند به آنها سود یا زیان برساند را اعلام نمایند.
- ۲۱- **هزینه چاپ:** هیچ‌گونه هزینه‌ای برای چاپ مقالات در این مجله دریافت نمی‌شود.
- ۲۲- **حق نسخه‌برداری (Copyright):** تمامی محتویات مجله دانشکده پزشکی اصفهان تحت قانون حق نسخه‌برداری بین‌المللی قرار دارد. این مجله برای استفاده غیر تجاری در اختیار افراد قرار می‌گیرد. اصلاح، انتشار، انتقال و نمایش هر گونه محتویات مجله بدون ذکر نام این مجله ممنوع است.
- ۲۳- **فرآیند مرور دقیق (Peer Review):** تمام دست‌نوشته‌ها توسط حداقل ۳ نفر از داوران منتخب شورای نویسندگان مجله مورد بررسی دقیق قرار می‌گیرد. نویسنده‌ی مسؤؤل در کوتاه‌ترین زمان در جریان تصمیم‌سردبیر در مورد رد، قبول یا اصلاحات مورد نظر داوران و هیأت تحریریه قرار خواهد گرفت. در صورت پذیرش مقاله برای چاپ، نامه پذیرش به همراه ایمیل برای نویسنده‌ی مسؤؤل ارسال می‌شود و مقاله در نوبت چاپ قرار خواهد گرفت.
- ۲۴- هیأت تحریریه در رد، اصلاح، ویرایش و خلاصه کردن مقاله آزاد است.
- ۲۵- مسؤولیت صحت یا سقم مطالب ارائه شده در مقاله بر عهده‌ی نویسنده یا نویسندگان است.

فهرست مطالب

مقاله‌های پژوهشی

۳۵۹..... مطالعه‌ی ارتباط بین پلی‌مورفیسم A/G در ناحیه‌ی اینترونی ژن **FGFR2** و سرطان پستان.....
دکتر مجید متولی باشی، مهسا غلام‌پور

۳۶۸..... بررسی ارتباط پاپیلوماویروس انسانی تیپ ۶، ۱۱، ۱۶ و ۱۸ با سرطان پستان.....
مسعود دوستی، دکتر مهران بخشش، دکتر شکوه تقی‌پور ظهیر، دکتر علیرضا حاتمی، محمد شایسته‌پور، دکتر منصور مقیمی

۳۷۸..... مطالعه‌ی بیوانفورماتیکی و بررسی بیان ژن بهینه شده‌ی زیر واحد **B** کلرا توکسین به عنوان کاندید واکسن.....
دکتر شهرام نظریان، محمدعلی عارف‌پور، محمدجواد باقری‌پور، دکتر غلامرضا اولاد

تأثیر ۸ ماه تمرین مقاومتی بر سطوح **GH (Growth hormone)**، **IGFBP3 (Insulin-like growth factor binding protein3)** و **IGF1 (Insulin-like growth factor1)** پلاسمای دو بیمار مبتلا به سوختگی شدید.....
۳۸۸..... نسیم بهزادنژاد، سید محمد مرندی، دکتر فهیمه اسفراجانی، دکتر احمد عابدی، فرشته بردیا

مقاله مروری

۴۰۸..... نقش ریز مغذی‌ها در فعالیت بیماری آرتریت روماتوئید.....
دکتر سپیده حجازی، دکتر کامیلا هاشم‌زاده، دکتر مریم صاحباری

مطالعه‌ی ارتباط بین پلی‌مورفیسم A/G در ناحیه‌ی اینترونی ژن FGFR₂ و سرطان پستان

دکتر مجید متولی باشی^۱، مهسا غلام‌پور^۲

مقاله پژوهشی

چکیده

مقدمه: گیرنده‌ی عامل رشد فیبروبلاستی_۲ (FGFR₂ یا Fibroblast growth factor receptor₂) یک گیرنده‌ی تیروزین کینازی است که نقشی مهمی در رشد و تمایز سلول‌ها بر عهده دارد. بر اساس مطالعات همراهی ژن FGFR₂ به عنوان ژن مستعد به سرطان پستان می‌باشد. پلی‌مورفیسم rs1219648 در ناحیه‌ی اینترونی ژن، ارتباط آماری قابل توجهی را با سرطان پستان نشان می‌دهد. FGFR₂ در ۱۵-۱۰ درصد از تومورهای پستان افزایش بیان می‌یابد. SNPs (Single-nucleotide polymorphisms) موجود در این ناحیه در افزایش بیان FGFR₂ نقش دارند. در مطالعه‌ی حاضر، ارتباط بین پلی‌مورفیسم rs1219648 در ناحیه‌ی اینترونی ژن FGFR₂ با سرطان پستان مورد بررسی قرار گرفت.

روش‌ها: مطالعه‌ی حاضر بر روی ۸۰ بیمار و ۱۰۰ نفر از افراد سالم (گروه شاهد) انجام شد. پس از استخراج DNA از خون، توالی معین توسط تکنیک Tetra primer ARMS-PCR (Tetra primer amplification-refractory mutation system-polymerase chain reaction) تکثیر گردید و ژنوتیپ پلی‌مورفیسم C/T به وسیله‌ی الکتروفورز بر روی ژل آگارز به دست آمد.

یافته‌ها: افراد دارای ژنوتیپ G/G و G/A زمینه‌ی بیشتری برای ابتلا به سرطان پستان دارند (OR = ۵/۳۲ و P = ۰/۰۱۸). با این که فراوانی آلی G در افراد مورد نسبت به افراد شاهد افزایش یافت؛ اما این افزایش ارتباط معنی‌داری با سرطان پستان نشان نداد (P = ۰/۲۳۰).

نتیجه‌گیری: به نظر می‌رسد که پلی‌مورفیسم تک نوکلئوتیدی G/A در ناحیه‌ی اینترونی ژن گیرنده‌ی تیروزین کینازی FGFR₂ در استعداد سرطان پستان می‌تواند به عنوان عامل خطر ایفای نقش کند.

واژگان کلیدی: سرطان پستان، پلی‌مورفیسم تک نوکلئوتیدی، ژن Fibroblast growth factor receptor₂

ارجاع: متولی باشی مجید، غلام‌پور مهسا. مطالعه‌ی ارتباط بین پلی‌مورفیسم A/G در ناحیه‌ی اینترونی ژن FGFR₂ و سرطان پستان. مجله دانشکده پزشکی اصفهان ۱۳۹۳؛ ۳۲ (۲۷۹): ۳۶۷-۳۵۹

مقدمه

سرطانی وجود دارند، اما در بافت‌های چربی پستان پخش نشده‌اند. به این مرحله کارسینومای درجا نیز گفته می‌شود. سرطان پستان تهاجمی به چهار مرحله تقسیم می‌شود. در مرحله‌ی اول و دوم اندازه‌ی تومور کوچک و احتمال درگیری گره‌های لنفاوی کم است.

سرطان پستان در نتیجه‌ی تجمع آسیب‌های ژنتیکی در سلول‌های اپیتلیال بافت سازنده‌ی شیر و کسب فنوتیپ‌های بدخیم توسط این سلول‌ها بروز می‌کند (۱). در مراحل اولیه‌ی سرطان پستان، سلول‌های

۱- دانشیار، گروه زیست‌شناسی، دانشکده‌ی علوم، دانشگاه اصفهان، اصفهان، ایران

۲- دانشجوی کارشناسی ارشد، گروه زیست‌شناسی، دانشکده‌ی علوم، دانشگاه اصفهان، اصفهان، ایران

نویسنده‌ی مسؤول: دکتر مجید متولی باشی

Email: mbashi@sci.ui.ac.ir

ارگان‌زایی، تمایز سلول، رگ‌زایی (Angiogenesis) و پیشرفت تومور دارند (۸).

عوامل رشد فیبروبلاستی مختلف و گیرنده‌های مرتبط با آن‌ها بیان ویژه‌ی بافتی دارند (۴). الگوی بیان ویژه‌ی بافتی و تمایز در اتصال، میان‌کنش اختصاصی گیرنده- لیگاند را نشان می‌دهد. این اختصاصیت همچنان توسط پیرایش (Splicing) تنظیم می‌شود (۴). گیرنده‌ها در حالت عادی در بافت‌ها بیان می‌شوند و در رشد سلولی، تمایز و تکامل تعدادی از بافت‌ها از جمله پستان و کلیه نقش دارند (۹).

این خانواده‌ی گیرنده، دارای چهار عضو می‌باشد. ۴ ژن در موقعیت‌های مختلف کروموزومی شناسایی می‌شوند که پروتئین‌های مشابه خانواده‌ی FGFR را کد می‌کنند. گیرنده‌ی پنجم FGFR⁵ با عنوان FGFR¹ شناسایی شده است که توانایی اتصال به FGF را دارد، اما فاقد قسمت تیروزین کینازی است و به طور منفی سیگنال را تنظیم می‌کند (۱۰).

FGFRها در سرطان‌زایی نقش دارند و در تحقیقات اخیر برای اهداف دارویی در سرطان پستان مورد بررسی قرار گرفته‌اند و از طریق چندین مکانیسم باعث ایجاد بدخیمی‌ها و تکثیر تومور می‌شوند. در بیشتر موارد تکثیر ژن‌ها، افزایش بیان یا موتاسیون گیرنده‌های تیروزین کیناز باعث سرطانی شدن می‌شود (۱۱-۱۰). با تغییر در سطح FGFRها در اثر موتاسیون نقطه‌ای، بیان افزایش می‌یابد و یا پیرایش (Splicing) متفاوت باعث تغییر سیگنال FGFR می‌شود و در تومورهای متنوعی از انسان شناسایی شده است (۱۲). برای مثال، افزایش بیان FGFR در تعدادی از بافت‌ها شامل پستان، پروستات،

در مرحله‌ی سوم، سلول‌های سرطانی به غدد لنفاوی رسیده‌اند، اما به بخش‌های دیگر بدن منتشر نشده‌اند. در مرحله‌ی چهارم که به مرحله‌ی متاستازی معروف است، سلول‌های سرطانی به بافت‌های دیگر بدن پخش می‌شوند (۲).

این سرطان شایع‌ترین سرطان در جوامع توسعه یافته و در حال توسعه است و یکی از فراوان‌ترین انواع بدخیمی‌ها در بین زنان ایران می‌باشد که نرخ بروز آن در حال افزایش است. در تومورهای سرطانی، مکانیسم‌های مولکولی و فرایندهای آنکوژنی مختلف نقش دارند. اختلال در مسیرهای سلولی باعث بروز سرطان می‌شود (۳).

گیرنده‌های عامل رشد فیبروبلاستی (FGFR یا Fibroblast growth factor receptor) از جمله گیرنده‌های تیروزین کینازی می‌باشند. ساختار این گیرنده‌ها دارای یک قسمت متصل شونده به لیگاند خارج سلولی، یک قسمت عبوری از غشا و یک قسمت درون سلولی تیروزین کینازی است. قسمت خارج سلولی از سه لوپ ایمونوگلوبولین و یک بخش اسیدی تشکیل شده است (۶-۴). با اتصال عوامل رشد فیبروبلاستی به گیرنده و دیمریزاسیون آن، چندین مسیر سیگنالی در پایین دست فعال می‌شوند. مهم‌ترین مسیرهای فعال شده، K3PI (Phosphoinositide ۳-kinase) و نیز RAS-MAPK (RAS/mitogen activated protein kinase) هستند که با انتقال سیگنال باعث فعال شدن عوامل رونویسی می‌شوند (۷).

ترکیب FGF، FGFR (Fibroblast growth factor) و پروتئین‌های آداپتور یک شبکه‌ی سیگنالینگ پیچیده را ایجاد می‌کنند که نقش‌های اساسی در تکامل،

فرد سالم (گروه شاهد) انجام گرفت. بیماران همه از ساکنین استان اصفهان بودند که جهت درمان به بیمارستان مراجعه نموده بودند. بعد از تکمیل فرم رضایت‌نامه توسط بیماران، بر اساس پرونده‌های مطالعه شده و تکمیل پرسش‌نامه، اطلاعات اولیه شامل سن، تعداد فرزندان، مرحله‌ی سرطان و مرحله‌ی متاستاز جمع‌آوری گردید. محدوده‌ی سنی بیماران حدود 48 ± 3 سال بود. تمام بیماران زنانی با حداقل یک بار حاملگی بودند، در نتیجه از نظر جنسیت و سایر شرایط اختلاف چندانی با هم نداشتند.

استخراج DNA

حدود ۵۰۰ میکرولیتر خون به ویال‌های ۱/۵ میلی‌لیتری استریل منتقل و با روش رسوب نمکی Miller و با کمی تغییرات DNA ژنومی استخراج گردید (۱۹). رسوب DNA در ۵۰ میکرولیتر بافر TE حل شد و سپس با استفاده از روش اسپکتروفوتومتری و الکتروفورز روی ژل آگارز تعیین غلظت گردید.

تعیین ژنوتیپ SNP ژن FGFR2

تعیین ژنوتیپ با روش Tetra primer ARMS-PCR (Tetra primer amplification-refractory mutation system-polymerase chain reaction) انجام شد. در این تکنیک، ۴ نوع پرایمر با استفاده از نرم‌افزار OLIGO طراحی شد (جدول ۱). طول پرایمرها و دمای اتصال هر ۴ پرایمر توسط این نرم‌افزار مورد بررسی قرار گرفت. مناسب‌ترین توالی پرایمرها که طول و دمای نزدیک به هم داشتند، انتخاب شدند تا به صورت همزمان در واکنش PCR عمل کنند. به منظور بررسی اختصاصیت هر جفت پرایمر و عدم اتصال آن به قسمت‌های دیگر ژنوم از برنامه‌ی Blast استفاده گردید.

ملانوما و تیروئید مشاهده شده است (۱۱). FGFR2 در ۱۵-۱۰ درصد از تومورهای پستان افزایش بیان می‌یابد (۱۳). همچنین بر اساس مطالعات انجام شده، بیان FGFR2 در رده‌ی سلولی سرطان پستان نسبت به رده‌ی سلولی بافت طبیعی پستان ۴۰ برابر افزایش می‌یابد (۱۴). بر اساس مطالعات صورت گرفته، FGFR2 به عنوان یک ژن مستعد در سرطان پستان شناسایی شده و ژن کد کننده‌ی آن در ناحیه‌ی ۱۰q۲۶ قرار گرفته است که واجد ۲۲ اگزون و ۲۱ اینترون می‌باشد (۱۵-۱۶). چندین SNP (Single-nucleotide polymorphisms) در ناحیه‌ی اینترون ۲ ژن FGFR2 یافت شده است که همراهی زیادی با خطر ابتلا به سرطان پستان نشان می‌دهند (۱۷-۱۶، ۴).

تحقیقات نشان داده است که توالی اینترون ۲ یک ناحیه‌ی تنظیمی است و SNPها، سایت‌های اتصال عوامل رونویسی را تغییر می‌دهند و سطح بیان FGFR2 را تنظیم می‌کنند. تفاوت در تمایل اتصال عوامل رونویسی می‌تواند باعث افزایش بیان FGFR2 گردد (۱۸، ۴). به دلیل ارتباط پلی‌مورفیسم rs1219648 با خطر ابتلا به سرطان پستان در مطالعات قبلی و این که این پلی‌مورفیسم در جمعیت ایرانی مورد مطالعه قرار نگرفته بود، این پلی‌مورفیسم انتخاب شد. در مطالعه‌ی حاضر برای اولین بار در ایران ارتباط بین پلی‌مورفیسم rs1219648 در اینترون ۲ ژن FGFR2 با خطر ابتلا به سرطان پستان در جمعیت اصفهان مورد بررسی قرار گرفت.

روش‌ها

مطالعه‌ی حاضر از نوع مورد-شاهد و بازگشت به گذشته روی ۸۰ بیمار مبتلا به سرطان پستان و ۱۰۰

سانتی‌گراد انجام پذیرفت. پس از پایان چرخه‌های تکثیر محصولات PCR بر روی ژل آگارز ۱/۵ درصد و ولتاژ ۸۰ ولت، الکتروفورز شدند. برای محاسبات آماری از روش مطالعه‌ی مورد-شاهد استفاده شد. در این نوع مطالعه، افراد بیمار از جمعیت انتخاب می‌شوند و یک گروه شاهد مناسب بدون بیماری هم انتخاب می‌شوند. ژنوتیپ افراد دو گروه تعیین می‌شود و همراهی بین بیماری و ژنوتیپ با نسبت احتمال (OR یا Odds ratio) محاسبه می‌شود. برای آنالیز آماری نتایج از نرم‌افزار SPSS نسخه‌ی ۱۹ (version 19, SPSS Inc., Chicago, IL) استفاده شد.

یافته‌ها

ژنوتیپ پلی مورفیسم ژن FGFR₂ ۸۰ بیمار مبتلا به سرطان پستان و ۱۰۰ فرد سالم توسط تکنیک Tetra primer ARMS-PCR و سپس ژنوتیپ افراد بر اساس الکتروفورز محصول PCR بر روی ژل آگارز مشخص شد. افراد هتروزیگوت قطعات به طول مورد انتظار حدود ۱۷۸ و ۲۸۷ جفت بازی به همراه باند شاهد ۴۲۳ جفت بازی ایجاد کردند؛ در صورتی که افراد دارای آلل مغلوب، دو باند ۲۸۷ و ۴۲۳ جفت بازی را روی ژل الکتروفورز نشان دادند (شکل ۱).

پرایمر IF و OR باعث تکثیر آلل T و ایجاد بانندی به طول ۱۷۸ بر روی ژل آگارز می‌شود. همچنین آلل C توسط پرایمرهای OF و IR تکثیر و باند ۲۸۷ جفت بازی ایجاد می‌کند. از این طریق، افراد هتروزیگوت و هموزیگوت قابل شناسایی هستند. پرایمرهای OF و OR به عنوان شاهد مثبت بانندی به طول ۴۲۳ جفت بازی پس از PCR و الکتروفورز ایجاد می‌کنند.

مواد لازم برای واکنش PCR در حجم ۲۵ میکرولیتر عبارت از ۱۰۰ نانوگرم DNA به عنوان الگو، ۵ پیکومول از پرایمر (OR یا OF و OR یا IF) ۲/۵ میکرولیتر بافر ۱۰X PCR، ۱ میکرولیتر MgCl₂ ۵۰ میلی-مولار، ۰/۵ میکرولیتر dNTP (Deoxynucleotide triphosphates) ۱۰ میلی-مولار و ۰/۳ میکرولیتر آنزیم DNA پلی‌مراز Taq بودند.

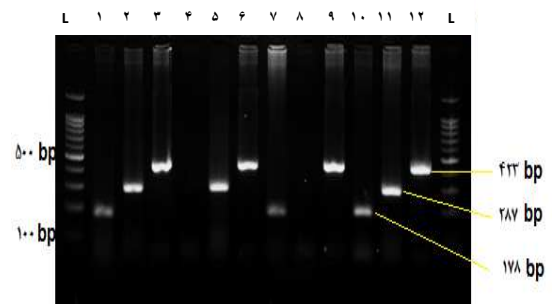
تکثیر DNA در دستگاه ترموسایکلر مدل Eppendorf آلمان با شرایط دمایی ۹۵ درجه‌ی سانتی‌گراد به مدت ۳ دقیقه و سپس ۳۵ سیکل به ترتیب با دمای دناتوره‌ی ۹۵ درجه‌ی سانتی‌گراد به مدت ۳۰ ثانیه، دمای چسبیدن ۶۱ درجه‌ی سانتی‌گراد برای پرایمرها به مدت ۳۵ ثانیه، دمای تکثیر ۷۲ درجه‌ی سانتی‌گراد به مدت ۴۰ ثانیه و در نهایت ۱۰ دقیقه جهت تکثیر نهایی در دمای ۷۲ درجه‌ی

جدول ۱. توالی پرایمرهای طراحی شده برای ژن FGFR₂

| نام آغازگر | توالی نوکلئوتیدی (۵' > ۳') | اندازه‌ی محصول |
|-------------------------|----------------------------|----------------------------|
| IF (آغازگر رفت آلل T) | CATGGCCATCCTTGAAGgGT | ۱۷۸ جفت باز |
| OR (آغازگر برگشت آلل T) | GCCTTGGCTATTTCAGAGGCTAAG | شاهد مثبت ۱۷۸ جفت باز |
| OF (آغازگر رفت آلل C) | CATGATGTGGCCAAAGTCCAC | ۲۸۷ جفت باز ۴۲۳ جفت باز |
| IR (آغازگر برگشت آلل C) | CGCCTATTTTACTTGACACcCG | ۲۸۷ جفت باز |

($P = 0/230$). اطلاعات مربوط به فراوانی آللی در جدول ۲ آمده است. در این مطالعه، نسبت ژنوتیپ‌های حداقل دارای یک آلل G با افراد فاقد این آلل مقایسه شد. خطر ابتلا به سرطان پستان در بیماران حامل ژنوتیپ‌های G/G + G/G حدود ۵ برابر بود ($P = 0/018$ و $OR = 5/32$) (جدول ۳).

بر اساس آنالیزهای آماری ۵۶ درصد از بیماران بررسی شده در مرحله‌ی ۱ و ۲ و حدود ۳۶ درصد در مرحله‌ی ۳ از سرطان پستان بودند و تنها ۸ درصد بیماران (۴ بیمار) در مرحله‌ی متاستاز بودند. به دلیل فراوانی پایین بیماران متاستازی، ارتباط پلی مورفیسم با متاستاز بررسی نشد. از آن جایی که در شهرهای بزرگ به دلیل بهداشت و رسیدگی، سرطان پستان قبل از متاستاز تشخیص داده می‌شود و در حال کنترل می‌باشد، در نتیجه در جمعیت مورد بررسی تعداد بیماران متاستازی بسیار کم بود. در این مطالعه احتمال ارتباط پلی مورفیسم با متاستاز وجود نداشت.



شکل ۱. محصول Tetra primer ARMS-PCR

(Tetra primer amplification-refractory mutation)

system-polymerase chain reaction) روی ژل آگارز، ۱، ۲ و ۳: نمونه‌ی فرد هتروزیگوت. ۴، ۵ و ۶: نمونه‌ی فردی با ژنوتیپ مغلوب، ۷، ۸ و ۹: نمونه‌ی فرد با ژنوتیپ غالب، ۱۰، ۱۱ و ۱۲: نمونه‌ی فرد هتروزیگوت. الکتروفورز با شرایط ۱/۵ درصد غلظت آگارز با ولتاژ ۸۰ و آمپر ثابت به مدت ۴۰ دقیقه انجام گرفت.

پس از تعیین فراوانی ژنوتیپ‌ها و فراوانی آلل‌ها برای پلی مورفیسم مورد مطالعه، مقدار χ^2 محاسبه شد. بر اساس میزان χ^2 محاسبه شده و مقایسه‌ی آن با جدول احتمال، نمونه‌ها و جمعیت مورد مطالعه متعادل در نظر گرفته شدند. ارتباط آماری معنی‌داری بین آلل‌های A و G و سرطان پستان مشاهده نشد.

جدول ۲. فراوانی آللی FGFR2 و ارتباط آن با سرطان پستان

| مقدار P | کل | | شاهد | | مورد | | آلل |
|---------|-------|--------------|-------|--------------|-------|--------------|-----|
| | تعداد | فراوانی آللی | تعداد | فراوانی آللی | تعداد | فراوانی آللی | |
| 0/230 | 186 | 0/52 | 109 | 0/545 | 77 | 0/48 | A |
| | 174 | 0/48 | 91 | 0/455 | 83 | 0/52 | G |

جدول ۳. فراوانی ژنوتیپ FGFR2 در افراد گروه‌های مورد و شاهد

| مقدار P | شاهد تعداد (درصد) | مورد تعداد (درصد) | OR (95% CI) | ژنوتیپ |
|---------|----------------------|----------------------|----------------------|--------|
| | | | | |
| | 12 (12/0) | 2 (2/5) | a = 5/32 (1/28-21/8) | AA |
| | 85 (85/0) | 73 (91/2) | b = 2/17 (0/55-8/42) | AG |
| | 3 (3/0) | 5 (6/3) | | GG |

a: ژنوتیپ G/G + A/G در مقایسه با ژنوتیپ A/A، b: ژنوتیپ G/G در مقایسه با ژنوتیپ A/G + A/A

OR: Odds ratio; CI: Confidence interval

بحث

امروزه در درمان سرطان به فرایندها و مکانیسم‌های مولکولی که در سرطان‌زایی دخیلند، توجه می‌شود. برای به کارگیری درمان‌های جدید، شناسایی این مکانیسم‌ها مورد نیاز است. FGFRها در سرطان‌زایی نقش دارند و در مطالعات اخیر برای اهداف دارویی در سرطان پستان مورد بررسی قرار گرفته‌اند.

در بین بیماران مبتلا به سرطان پستان، تکثیر FGFR2 مشاهده شده است. این گیرنده در چندین فرایند شامل تکثیر، رگ‌زایی و مهاجرت سلول‌ها نقش دارد (۱۰، ۴). سلول‌هایی که بیان بالایی از FGFR2 دارند، تنوع در توالی ایترون ۲ که محل اتصال عوامل رونویسی است، نشان می‌دهند (۵).

توالی ایترون ۲ یک ناحیه‌ی تنظیمی است. SNPها سایت‌های اتصال عوامل رونویسی را تغییر می‌دهند و در نتیجه، سطح بیان FGFR2 را تنظیم می‌کنند. تفاوت در تمایل اتصال عوامل رونویسی، باعث افزایش بیان FGFR2 با آللهایی با خطر بالا می‌شود (۴). افزایش بیان FGFR2 باعث افزایش سیگنال پایین دست می‌گردد. بنابراین، مسیرهایی که در تکثیر سلولی، تمایز، مهار آپوپتوز و مهاجرت نقش دارند، فعال می‌شوند.

در مطالعه‌ی حاضر که برای اولین بار در ایران صورت گرفت، فراوانی آللی و ژنوتیپ‌های پلی مورفیسم rs1219648 در جمعیت اصفهان محاسبه شد. بر اساس نتایج به دست آمده، ارتباط معنی‌داری بین این پلی مورفیسم و سرطان پستان وجود ندارد ($P = 0/230$ و $X^2 = 5/6$). در صورتی که ژنوتیپ افراد بیمار دارای آلل خطر G (G/G + A/G) با سرطان پستان همراهی نشان می‌دهد ($X^2 = 5/6$) و

($P = 0/018$). در مطالعات قبلی توسط Hunter ارتباط چهار پلی مورفیسم rs1219648، rs2420946، rs11200014 و rs2981579 در این ناحیه‌ی ژن FGFR2 در جمعیت اروپایی با سرطان پستان مشخص شد (۱۶). همچنین، پلی مورفیسم rs1219648 در ناحیه‌ی ایترون ۲ (FGFR2) در جمعیت‌های دیگر از جمله آسیایی (۲۰) و اسرائیلی (۱۵) نیز با سرطان پستان همراهی نشان دادند.

در همه‌ی مطالعات پیشین، ژنوتیپ مینور با سرطان پستان همراهی نشان می‌دهد. در صورتی که در مطالعه‌ی حاضر ژنوتیپ مینور به تنهایی ارتباط معنی‌داری با سرطان پستان نداشت ($P = 0/470$)؛ اما ژنوتیپ افراد بیمار دارای آلل خطر G (G/G + A/G) با سرطان پستان همراهی نشان داد ($P = 0/018$) و ($OR = 5/32$) و ارتباط این پلی مورفیسم به صورت غالب است.

در مطالعه‌ی Zhang و همکاران، به صورت غالب و مغلوب بین پلی مورفیسم حاصل و سرطان پستان ارتباط مشاهده شد و این SNP به عنوان نشانگر مهم در سرطان پستان پیشنهاد شد (۲۱). مطالعات روی بیان FGFR2 نشان دادند که در سلول‌هایی با هاپلوتیپ‌های مینور، میزان بیان FGFR2 افزایش می‌یابد. به دلیل این که عوامل رونویسی oct1/Runx2 و C/EBPβ (proteinβCCAAT/enhancer binding) با تمایل بالاتری به آلل هموزیگوت مینور در ناحیه‌ی ایترون ۲ متصل می‌شوند و باعث افزایش بیان FGFR2 می‌شوند؛ افزایش بیان FGFR2 خطر ابتلا به سرطان پستان را افزایش می‌دهد (۲۲).

در مطالعه‌ی حاضر، افراد هموزیگوت و هتروزیگوت برای آلل خطر G همراه با هم با سرطان

از نواحی مختلف جمعیت ایرانی انتخاب شوند.

تشکر و قدردانی

از معاونین محترم پژوهشی و تحصیلات تکمیلی دانشگاه اصفهان و نیز سرکار خانم دکتر سیمین همتی متخصص انکولوژی بابت پشتیبانی مطالعه تشکر و قدردانی می‌گردد. همچنین، از بیماران مبتلا به سرطان پستان شرکت کننده در طرح و کارکنان زحمت‌کش بیمارستان سیدالشهدا (ع) اصفهان به دلیل همکاری در طرح سپاسگزاری می‌شود.

همراهی نشان می‌دهند. تفاوت نتایج این مطالعه با مطالعات قبلی می‌تواند به دلیل تفاوت در نقشه‌ی ژنتیکی جمعیت‌ها و همچنین، دخیل بودن عوامل دیگر باشد. نمونه‌های مورد مطالعه از یک ناحیه‌ی جمعیتی می‌باشد که به طور تصادفی انتخاب شده بودند و فراوانی افراد هتروزیگوت در جمعیت زیاد (۹۱/۲ درصد) بود و این امر باعث شد تا افراد هموزیگوت G/G ارتباط معنی‌داری با بیماری نشان ندهند. در صورتی که در مطالعات قبلی، جمعیت‌های خیلی بزرگ مورد بررسی قرار گرفته‌اند. برای به دست آوردن نتایج دقیق‌تر، بهتر است نمونه‌های مورد مطالعه

References

- Ghafoor A, Jemal A, Ward E, Cokkinides V, Smith R, Thun M. Trends in breast cancer by race and ethnicity. *CA Cancer J Clin* 2003; 53(6): 342-55.
- Singletery SE, Allred C, Ashley P, Bassett LW, Berry D, Bland KI, et al. Staging system for breast cancer: revisions for the 6th edition of the AJCC Cancer Staging Manual. *Surg Clin North Am* 2003; 83(4): 803-19.
- Yavari P, Mosavizadeh M, Sadrol-Hefazi B, Mehrabi Y. Reproductive characteristics and the risk of breast cancer--a case-control study in Iran. *Asian Pac J Cancer Prev* 2005; 6(3): 370-5.
- Tenhagen M, van Diest PJ, Ivanova IA, van der Wall E, van der Groep P. Fibroblast growth factor receptors in breast cancer: expression, downstream effects, and possible drug targets. *Endocr Relat Cancer* 2012; 19(4): R115-R129.
- McLeskey SW, Ding IY, Lippman ME, Kern FG. MDA-MB-134 breast carcinoma cells overexpress fibroblast growth factor (FGF) receptors and are growth-inhibited by FGF ligands. *Cancer Res* 1994; 54(2): 523-30.
- Ornitz DM. FGFs, heparan sulfate and FGFRs: complex interactions essential for development. *Bioessays* 2000; 22(2): 108-12.
- Wesche J, Haglund K, Haugsten EM. Fibroblast growth factors and their receptors in cancer. *Biochem J* 2011; 437(2): 199-213.
- Kondo T, Zheng L, Liu W, Kurebayashi J, Asa SL, Ezzat S. Epigenetically controlled fibroblast growth factor receptor 2 signaling imposes on the RAS/BRAF/mitogen-activated protein kinase pathway to modulate thyroid cancer progression. *Cancer Res* 2007; 67(11): 5461-70.
- Martin AJ, Grant A, Ashfield AM, Palmer CN, Baker L, Quinlan PR, et al. FGFR2 protein expression in breast cancer: nuclear localisation and correlation with patient genotype. *BMC Res Notes* 2011; 4: 72.
- Turner N, Grose R. Fibroblast growth factor signalling: from development to cancer. *Nat Rev Cancer* 2010; 10(2): 116-29.
- Zwick E, Bange J, Ullrich A. Receptor tyrosine kinase signalling as a target for cancer intervention strategies. *Endocr Relat Cancer* 2001; 8(3): 161-73.
- Powers CJ, McLeskey SW, Wellstein A. Fibroblast growth factors, their receptors and signaling. *Endocr Relat Cancer* 2000; 7(3): 165-97.
- Rebbeck TR, DeMichele A, Tran TV, Panossian S, Bunin GR, Troxel AB, et al. Hormone-dependent effects of FGFR2 and MAP3K1 in breast cancer susceptibility in a population-based sample of post-menopausal African-American and European-American women. *Carcinogenesis* 2009; 30(2): 269-74.
- Tannheimer SL, Rehemtulla A, Ethier SP. Characterization of fibroblast growth factor receptor 2 overexpression in the human breast cancer cell line SUM-52PE. *Breast Cancer Res* 2000; 2(4): 311-20.

15. Raskin L, Pinchev M, Arad C, Lejbkowitz F, Tamir A, Rennert HS, et al. FGFR2 is a breast cancer susceptibility gene in Jewish and Arab Israeli populations. *Cancer Epidemiol Biomarkers Prev* 2008; 17(5): 1060-5.
16. Hunter DJ, Kraft P, Jacobs KB, Cox DG, Yeager M, Hankinson SE, et al. A genome-wide association study identifies alleles in FGFR2 associated with risk of sporadic postmenopausal breast cancer. *Nat Genet* 2007; 39(7): 870-4.
17. Easton DF, Pooley KA, Dunning AM, Pharoah PD, Thompson D, Ballinger DG, et al. Genome-wide association study identifies novel breast cancer susceptibility loci. *Nature* 2007; 447(7148): 1087-93.
18. Sun C, Olopade OI, Di RA. rs2981582 is associated with FGFR2 expression in normal breast. *Cancer Genet Cytogenet* 2010; 197(2): 193-4.
19. Miller SA, Dykes DD, Polesky HF. A simple salting out procedure for extracting DNA from human nucleated cells. *Nucleic Acids Res* 1988; 16(3): 1215.
20. Liang J, Chen P, Hu Z, Zhou X, Chen L, Li M, et al. Genetic variants in fibroblast growth factor receptor 2 (FGFR2) contribute to susceptibility of breast cancer in Chinese women. *Carcinogenesis* 2008; 29(12): 2341-6.
21. Zhang J, Qiu LX, Wang ZH, Leaw SJ, Wang BY, Wang JL, et al. Current evidence on the relationship between three polymorphisms in the FGFR2 gene and breast cancer risk: a meta-analysis. *Breast Cancer Res Treat* 2010; 124(2): 419-24.
22. Meyer KB, Maia AT, O'Reilly M, Teschendorff AE, Chin SF, Caldas C, et al. Allele-specific up-regulation of FGFR2 increases susceptibility to breast cancer. *PLoS Biol* 2008; 6(5): e108.

The Association of A/G Polymorphism in Intronic Region of FGFR2 Gene and Breast Cancer

Majid Motovali-Bashi PhD¹, Mahsa Gholampour²

Original Article

Abstract

Background: Fibroblast growth factor receptor 2 (FGFR2) is a receptor of tyrosine kinase with a pivotal role in the cell growth and differentiation. FGFR2 gene was identified as susceptibility gene for breast cancer by Genome-wide associated study. rs1219648 polymorphisms in intronic region are associated with breast cancer. FGFR2 gene is amplified in 15-10% of breast tumors. Single-nucleotide polymorphisms (SNPs) of this region are involved in FGFR2 amplification. In this study, the association of rs1219648 in intron 2 region of FGFR2 gene and breast cancer was assessed.

Methods: In the present study, 80 cases of breast cancer and 100 healthy controls were studied. After DNA extraction from blood, specific sequence was amplified by tetra primer ARMS-PCR (amplification-refractory mutation system-polymerase chain reaction) technique and genotype of C/T polymorphism was determined by agarose gel electrophoresis.

Findings: Individuals with G/G and A/G genotype were at a significantly higher risk of breast cancer (OR = 5.32, P = 0.018). G allele frequency in case patients were greater than controls but this increase did not show significant relationship with breast cancer (P = 0.230).

Conclusion: Single nucleotide polymorphism of G/A in intron 2 of the FGFR2 tyrosine kinase receptor gene may play a role as a risk factor for breast cancer susceptibility.

Keywords: Breast cancer, Single nucleotide polymorphism, FGFR2 gene

Citation: Motovali-Bashi M, Gholampur M. **The Association of A/G Polymorphism in Intronic Region of FGFR2 Gene and Breast Cancer.** J Isfahan Med Sch 2014; 32(279): 359-67

1- Associate Professor, Department of Biology, School of Sciences, University of Isfahan, Isfahan, Iran

2- MSc Student, Department of Biology, School of Sciences, University of Isfahan, Isfahan, Iran

Corresponding Author: Majid Motovali-Bashi PhD, Email: mbashi@sci.ui.ac.ir

بررسی ارتباط پاپیلوماویروس انسانی تیپ ۶، ۱۱، ۱۶ و ۱۸ با سرطان پستان

مسعود دوستی^۱، دکتر مهران بخشش^۲، دکتر شکوه تقی پور ظهیر^۳، دکتر علیرضا حاتمی^۴، محمد شایسته پور^۴، دکتر منصور مقیمی^۵

مقاله پژوهشی

چکیده

مقدمه: پاپیلوماویروس یکی از عوامل ویروسی مطرح در بروز و تکامل سرطان پستان و سرویکس است. این مطالعه به منظور بررسی ارتباط تیپ‌های پرخطر ۱۶ و ۱۸ و کم خطر ۶ و ۱۱ پاپیلوماویروس انسانی (HPV یا Human papillomavirus) با بروز سرطان پستان در مراجعین زن بیمارستان شهید صدوقی شهر یزد صورت گرفت.

روش‌ها: در این مطالعه‌ی مورد-شاهدی، ۸۷ مورد بافت سرطانی پستان و ۸۴ مورد بافت پستانی بدون ضایعه‌ی بدخیمی (فیبروکیستیک) از مراجعین بیمارستان شهید صدوقی یزد انتخاب شدند. به منظور تعیین تیپ‌های پرخطر و کم خطر پاپیلوماویروس، ابتدا از روش Nested PCR (Nested polymerase chain reaction) و سپس PCR با پرایمرهای اختصاصی استفاده شد.

یافته‌ها: ۲۲/۹ درصد نمونه‌ها دارای ژنوم ویروس پاپیلوما بودند که ۱۸/۳ درصد آن‌ها دارای ژنوتیپ‌های موکوسی ۱۱، ۱۶، ۱۸ و ۶ بودند. بیشترین فراوانی ژنوتیپی پاپیلوما در کارسینوما داکتال مهاجم و مربوط به تیپ ۱۶ بود. به طور کلی، در بین ژنوتیپ‌های پیش‌گفته، تیپ ۶ فراوان‌ترین ژنوتیپ مرتبط با سرطان پستان بود (۳۵ درصد) و تیپ ۱۱ کمترین ارتباط را با این نوع سرطان (۵ درصد) داشته است.

نتیجه‌گیری: با انجام این مطالعه، ارتباط احتمالی عفونت ویروس پاپیلوما انسانی (به ویژه تیپ ۱۶) در بروز و تکامل بدخیمی‌های پستان در بیماران شهر یزد مورد تأیید قرار گرفت. بین نوع و فراوانی ژنوتیپ با نوع بافت و آسیب‌شناسی ارتباط معنی‌داری وجود نداشت.

واژگان کلیدی: سرطان پستان، ژنوتیپ، ویروس پاپیلوما انسانی، آزمایش Polymerase chain reaction

ارجاع: دوستی مسعود، بخشش مهران، تقی پور ظهیر شکوه، حاتمی علیرضا، شایسته پور محمد، مقیمی منصور. بررسی ارتباط پاپیلوماویروس انسانی تیپ ۶، ۱۱، ۱۶ و ۱۸ با سرطان پستان. مجله دانشکده پزشکی اصفهان ۱۳۹۳؛ ۳۲ (۲۷۹): ۳۶۸-۳۷۷

مقدمه

سرطان پستان یکی از شایع‌ترین سرطان‌های تشخیص داده شده در زنان اکثر نقاط جهان از جمله ایران می‌باشد. میزان بروز کارسینوما پستان در طی

۲۵ سال اخیر، افزایش بیش از ۴۰ درصد را نشان می‌دهد (۱-۲). علت اصلی سرطان پستان ناشناخته باقی مانده است. بسیاری از عوامل خطر در ارتباط با پاتوزن این بیماری شناخته شده‌اند که می‌توان به

۱- دانشجوی کارشناسی ارشد، بخش تحقیق و تشخیص بیماری‌های ویروسی دام، مؤسسه‌ی تحقیقات واکسن و سرم‌سازی رازی، کرج، ایران

۲- استادیار، بخش تحقیق و تشخیص بیماری‌های ویروسی دام، مؤسسه‌ی تحقیقات واکسن و سرم‌سازی رازی، کرج، ایران

۳- دانشیار، گروه پاتولوژی، دانشکده‌ی پزشکی، دانشگاه علوم پزشکی شهید صدوقی، یزد، ایران

۴- دانشجوی دکتری، گروه ویروس‌شناسی، دانشکده‌ی بهداشت، دانشگاه علوم پزشکی تهران، تهران، ایران

۵- استادیار، گروه پاتولوژی، دانشکده‌ی پزشکی، دانشگاه علوم پزشکی شهید صدوقی، یزد، ایران

سابقه‌ی خانوادگی، هورمون‌ها و استعمال دخانیات اشاره کرد (۳-۴). اگر چه عوامل ژنتیکی در ایجاد سرطان مهم هستند، اما تنها مسبب ۱۰ درصد موارد سرطان پستان می‌باشند. بنابراین در اکثر موارد سرطان پستان، عوامل خطر محیطی نیز دخیل هستند. شواهدی مبنی بر افزایش بروز سرطان پستان در افراد مهاجر از کشورهایی با بروز پایین به نقاط جغرافیایی با بروز بالای سرطان پستان وجود دارد (۴).

عفونت‌های ویروسی نیز به عنوان عامل سببی محیطی در مطالعات مورد بررسی قرار گرفته‌اند (۵). اطلاعات به دست آمده از این تحقیقات در بیوپسی‌های سرطان پستان و رده‌های سلولی متناقض می‌باشند. نشان داده شده است که ۳ عامل شامل عوامل ژنتیکی و ارثی، هورمونی و یک عامل منتقله از طریق شیر موش مادر در ایجاد تومور پستان در موش‌ها دخالت دارند (۳). مطالعات نشان داد که این عامل قابل انتقال، ویروسی از خانواده‌ی رتروویروس‌ها به نام ویروس توموری موش (MMTV یا Mouse mammary tumor virus) می‌باشد (۶). سال‌ها بعد شواهدی مبنی بر دخالت ویروسی مشابه، به نام ویروس توموری همگون با انسان (Human homologue of the mouse mammary HHMMT) به عنوان عامل کمکی در روند ایجاد تومور پستان در انسان به دست آمد (۶). همچنین نقش ویروس‌های خانواده‌ی هرپس ویریده به عنوان عامل ایجاد این نوع سرطان مورد توجه قرار گرفته و این نتایج توسط سایر محققین مورد بحث است (۶-۷).

در دو دهه‌ی اخیر، شواهدی مبنی بر دخالت پاپیلوماویروس انسانی (HPV) یا

در شروع و یا تحریک روند ایجاد سرطان پستان به دست آمده است (۸، ۵). ارتباط بین ویروس پاپیلوماوی انسانی و تومورهای مقعدی- تناسلی به خصوص سرطان دهانه‌ی رحم به خوبی شناخته شده است، اما این ارتباط در مورد سرطان پستان به خوبی روشن نیست و نیاز به تحقیقات بیشتری در این زمینه احساس می‌شود (۹-۱۰). با وجود مطالعات فراوان در این زمینه، نقش ویروس پاپیلوماوی انسانی در تومورهای بدخیم پستان مورد بحث و تناقض است. گزارش‌های متعددی حاکی از حضور ژنوم پاپیلوماویروس انسانی در سلول‌های سرطانی سینه هستند که شیوع تقریبی ۴-۸۶ درصد در نقاط مختلف جغرافیایی جهان را نشان می‌دهد (۱۱-۱۳).

حضور تیپ‌های پرخطر HPV-۱۸، HPV-۱۶ و HPV-۳۳ در نمونه‌های سرطان پستان از جمعیت‌های مختلف سراسر جهان مانند ایتالیا، چین، ژاپن، آمریکا، اتریش، برزیل، استرالیا، تایوان، ترکیه، کره و سوریه به اثبات رسیده است (۱۲-۱۳). با توجه به این که تحقیقات اندکی در این زمینه در کشور ایران صورت گرفته است، مطالعه‌ی حاضر جهت بررسی ارتباط تیپ‌های مهم پاپیلوماویروس انسانی (تیپ‌های ۶، ۱۱، ۱۶ و ۱۸) با سرطان پستان طراحی شد. نتایج این پژوهش نشان دهنده‌ی نقش احتمالی پاپیلوماویروس در ایجاد سرطان پستان به عنوان عامل اصلی یا کمکی است. این مطالعه، تعیین کننده‌ی فراوان‌ترین ژنوتیپ رایج موجود در تومورهای پستان در قسمتی از کشور ایران (شهر یزد) است. در صورتی که نتایج این پژوهش و تحقیقات بعدی در آینده، نقش پاپیلوماویروس را در ایجاد سرطان پستان پررنگ

میکروفیوژ ۲ میلی‌لیتری استریل جمع‌آوری گردید. جهت حذف پارافین نمونه، مقدار ۱ میلی‌لیتر گزلیول به لوله‌ی حاوی نمونه‌ی بافت اضافه شد، درب لوله بسته و در انکوباتور شیکردار به مدت ۳۰ دقیقه با دور پایین در دمای ۵۵ درجه‌ی سانتی‌گراد انکوبه گردید. لوله‌ها به مدت ۲ دقیقه در دور ۱۳۰۰۰ در دقیقه سانتریفوژ گردید و با تخلیه‌ی مایع رویی، دوباره برای ۲ مرتبه سانتریفوژ شد. سپس بافت در رقت‌های اتانول ۱۰۰ درجه، ۸۰ درجه، ۶۰ درجه و ۴۰ درجه قرار گرفت. در پایان، پس از شستشو با آب مقطر، اتانول با دقت حذف شد و لوله‌ی حاوی رسوب بافت درون انکوباتور قرار گرفت تا اتانول باقی مانده، به طور کامل تبخیر گردد.

استخراج اسید نوکلئیک

پس از هضم بافت‌ها توسط آنزیم پروتئیناز K (پروتکل شرکت سیناژن ایران) جهت استخراج DNA از کیت Amplisense استفاده گردید. بر طبق دستورالعمل کیت شرکت سازنده (Amplisense: russia DNA/RNA extraction)، ۳۰۰ میکرولیتر از محلول لیز کننده (در دمای ۶۵ درجه‌ی سانتی‌گراد) به نمونه‌ها اضافه گردید و پس از انکوباسیون به مدت ۵ دقیقه در دمای ۶۵ درجه‌ی سانتی‌گراد بقیه‌ی مراحل استخراج بر طبق پروتکل شرکت سازنده انجام شد.

آزمایش Polymerase chain reaction (PCR)

جهت ارزیابی نمونه‌ها، ابتدا آزمایش Nested PCR (Nested polymerase chain reaction) به کار رفت. در این آزمایش از پرایمرهای MY۰۹ (CGTCCMARRGGAWACTGATC) و MY۱۱ (GCMCAGGGWCATAAYAATGG) به عنوان

جلوه دهند، شاید بتوان با به کارگیری راهکارهای مناسب پیشگیرانه، مانند واکسیناسیون، موارد بروز این نوع سرطان را کاهش داد و یا روندگسترش آن را محدود نمود.

روش‌ها

نمونه‌ها

طی این مطالعه‌ی مورد-شاهدی، ۸۷ مورد سرطان پستان تأیید شده توسط دو پاتولوژیست از نمونه‌های ماستکتومی به منظور بررسی عفونت ویروس پاپیلوما‌ی انسانی انتخاب شدند. بافت کافی تومورال و عدم نکروز و خونریزی از معیارهای ورود نمونه‌ها به این مطالعه بودند. همچنین ۸۴ نمونه از بافت‌های غیر سرطانی پستان به عنوان گروه شاهد انتخاب شدند. سن بیماران انتخابی مبتلا به سرطان پستان ۲۲-۷۵ سال و اندازه‌ی تومور ۵-۰/۵ سانتی‌متر بود. در بین نمونه‌ها از نظر آسیب‌شناسی سرطان، کارسینوما داکتال مهاجم با ۶۷ مورد (۷۷ درصد) بیشترین نوع را تشکیل می‌داد. سایر نمونه‌ها شامل ۱۴ مورد کارسینوما لوبولار مهاجم (۱/۱۶ درصد) و ۶ مورد کارسینوم مدولاری (۹/۶ درصد) بودند. لازم به ذکر است که همه‌ی این بیماران با توده‌ی پستانی به کلینیک مراجعه کردند و طی بررسی‌های انجام شده، ضایعه‌ی بدخیمی در سایر قسمت‌های بدن به غیر از پستان نداشتند.

برش‌گیری و آماده‌سازی نمونه‌ها

برش بافت‌های پارافینه‌ی آرشیوی با استفاده از دستگاه میکروتوم صورت گرفت. ابتدا سطح بلوک با یک تیغ جراحی خراشیده شد و سپس چند برش ۵ میکرومتری از بلوک پارافینه زده شد و در یک لوله‌ی

۱/۵ دقیقه ۵۵ درجه‌ی سانتی‌گراد و ۱/۵ دقیقه ۷۲ درجه‌ی سانتی‌گراد، ۳۸ سیکل زمانی شامل یک دقیقه ۹۴ درجه‌ی سانتی‌گراد، ۱/۵ دقیقه ۵۵ درجه‌ی سانتی‌گراد و ۱/۵ دقیقه ۷۲ درجه‌ی سانتی‌گراد و یک سیکل پایانی شامل یک دقیقه ۹۴ درجه‌ی سانتی‌گراد، ۱/۵ دقیقه ۵۵ درجه‌ی سانتی‌گراد و ۷ دقیقه ۷۲ درجه‌ی سانتی‌گراد بودند.

فراورده‌ی PCR پس از الکتروفورز بر روی ژل آگارز ۲ درصد و رنگ‌آمیزی به وسیله‌ی اتیدیوم بروماید، نمایان گردید. نمونه‌هایی که در آنها حضور ژنوم پاپیلوماویروس توسط آزمایش Nested PCR تأیید گردید، انتخاب شدند. جهت تعیین ژنوتیپ نمونه‌های مثبت شده به وسیله‌ی آزمایش PCR، از کیت‌های تجاری AmpliSens®HPV_{۶/۱۱}-EPH (شماره‌ی کاتالوگ V۱۱-۵۰F-CE) و AmpliSens®HPV_{۱۶/۱۸}-EPH (شماره‌ی کاتالوگ V۱۲-۱۰۰-R۰۲) بر طبق دستورالعمل شرکت سازنده استفاده گردید.

یافته‌ها

نتایج PCR با پرایمرهای اختصاصی

در شکل ۱ تصاویر ژل الکتروفورز و باندهای اختصاصی حاصل از آزمایش PCR با پرایمرهای GP۵+/GP۶+ و MY۰۹/MY۱۱ نشان داده شده است. از بین ۸۷ نمونه‌ی بافتی سرطان پستان، ۲۲/۹ درصد موارد دارای ژنوم ویروس پاپیلوما بودند که در ۱۸/۳ درصد موارد، ژنوتیپ‌های موکوزال ۶، ۱۱، ۱۶ و ۱۸ ردیابی شدند. همچنین در بین ۸۴ بافت غیر سرطانی که به عنوان شاهد به کار رفته بودند، هیچ کدام از این ژنوتیپ‌ها یافت نشد.

پرایمرهای خارجی و در ادامه از آغازگرهای داخلی GP۵+ (AAAAATAAACTGTAAATCATATTC) و GP۶+ (TTTGTACTGTGGTAGATACTAC) استفاده شد. محصولات PCR حاصل به ترتیب شامل ۴۵۰ و ۱۵۰ جفت باز بودند.

جهت انجام اولین مرحله‌ی PCR، ۰/۵ میکرولیتر Taq polymerase، ۴ میکرولیتر MgCl_۲، یک میکرولیتر (Deoxynucleotide triphosphates) DNTP، ۵ میکرولیتر ۱۰x Buffer، ۵ میکرولیتر از هر کدام از پرایمرهای MY۰۹ و MY۱۱، ۵ میکرولیتر DNA الگو و ۲۴/۵ میکرولیتر DEPC water (Diethylpyrocarbonate water) به حجم نهایی ۵۰ میکرولیتر مورد استفاده قرار گرفت.

مراحل سیکل PCR در این مرحله، شامل یک سیکل زمانی شامل ۵ دقیقه ۹۴ درجه‌ی سانتی‌گراد، یک دقیقه ۵۵ درجه‌ی سانتی‌گراد و یک دقیقه ۷۲ درجه‌ی سانتی‌گراد؛ ۳۸ سیکل زمانی شامل یک دقیقه ۹۴ درجه‌ی سانتی‌گراد، یک دقیقه ۵۵ درجه‌ی سانتی‌گراد و یک دقیقه ۷۲ درجه‌ی سانتی‌گراد و یک دقیقه ۷۲ درجه‌ی سانتی‌گراد شامل یک دقیقه ۹۴ درجه‌ی سانتی‌گراد، یک دقیقه ۵۵ درجه‌ی سانتی‌گراد و ۷ دقیقه ۷۲ درجه‌ی سانتی‌گراد بود. همچنین برای انجام مرحله‌ی دوم PCR از ۰/۵ میکرولیتر Taq polymerase، ۲/۵ میکرولیتر MgCl_۲، یک میکرولیتر DNTP، ۵ میکرولیتر ۱۰x Buffer، ۵ میکرولیتر از هر کدام از پرایمرهای GP۵+ و GP۶+، ۵ میکرولیتر DNA الگو و ۲۶ میکرولیتر DEPC water به حجم نهایی ۵۰ میکرولیتر استفاده شد.

مراحل سیکل PCR مرحله‌ی دوم عبارت از یک سیکل زمانی شامل ۵ دقیقه ۹۴ درجه‌ی سانتی‌گراد،

پاپیلوماویروس‌ها بر اساس درجه‌ی پاتولوژی در جدول ۲ آمده است. ویروس پاپیلوما در بافت‌های درجه‌ی III با ۴۱/۳ درصد، بیشترین فراوانی را داشت؛ در حالی که این ویروس در بافت‌های سرطانی درجه‌ی II کمتر یافت شد.

بحث

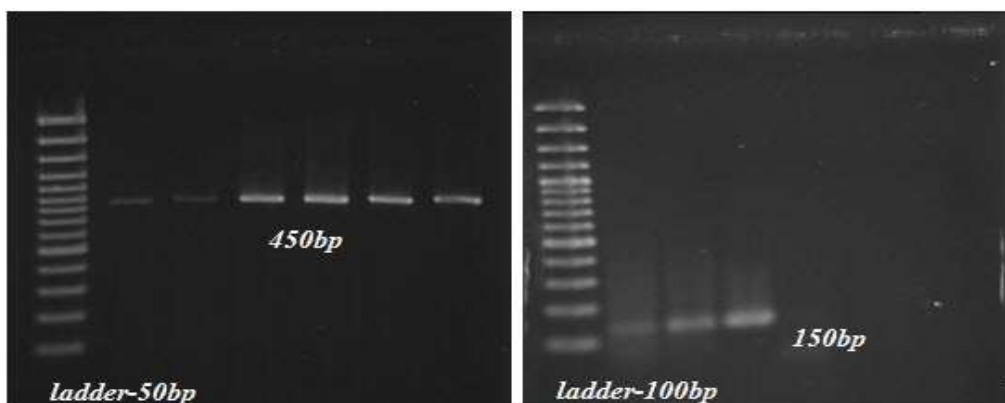
سرطان پستان بدخیمی شایع و یکی از عوامل اصلی مرگ زنان در جهان می‌باشد (۲). با توجه به داده‌های آماری رایج شده توسط سازمان بهداشت جهانی (WHO یا World health organization) در سال ۲۰۰۸ میلادی، سالانه حدود یک میلیون و صد و پنجاه هزار مورد جدید سرطان پستان از سرتاسر جهان گزارش می‌شود (۱).

فراوانی ژنوتیپ‌های ویروس پاپیلوما بر اساس نوع بافت‌شناسی و آسیب‌شناسی

در جدول ۱ میزان و درصد ژنوتیپ‌های پاپیلوماویروس با توجه به نوع بافت سرطانی پستان به صورت تفکیک شده آمده است. همان‌طور که ملاحظه می‌گردد، بیشترین فراوانی مربوط به ژنوتیپ ۱۶ است (۳۵ درصد)؛ در حالی که ژنوتیپ ۱۱ کمترین فراوانی را دارد (۵ درصد). همچنین بیشترین فراوانی ژنوتیپی پاپیلوما در سرطان کارسینوما داکتال مهاجم وجود دارد که تیپ ۱۶ شایع‌ترین ژنوتیپ است.

فراوانی ژنوتیپ‌های ویروس پاپیلوما بر اساس درجه‌ی سرطان پستان

بافت‌های سرطانی بر اساس پیشرفت بیماری به سه درجه تقسیم شدند. جزییات فراوانی



شکل ۱. باند حاصل از فرآورده‌ی Polymerase chain reaction (PCR) پرایمرهای ۶/۵+ GP (سمت راست) و MY۱۱/MY۰۹ (سمت چپ)

جدول ۱. فراوانی ویروس پاپیلوما‌ی انسانی بر اساس نوع بافت‌شناسی و آسیب‌شناسی سرطان پستان

| نوع هیستوپاتولوژی | منفی تعداد (درصد) | HPV انواع دیگر تعداد (درصد) | HPV ۱۱ تعداد (درصد) | HPV ۶ تعداد (درصد) | HPV ۱۸ تعداد (درصد) | HPV ۱۶ تعداد (درصد) | کل |
|-------------------|----------------------|-----------------------------------|---------------------------|--------------------------|---------------------------|---------------------------|----|
| IDC | ۵۳ (۷۹/۱) | ۲ (۲/۹) | ۱ (۱/۴) | ۳ (۴/۴) | ۳ (۴/۴) | ۵ (۷/۴) | ۶۷ |
| ILC | ۹ (۶۴/۲) | ۱ (۷/۱) | ۰ | ۱ (۷/۱) | ۱ (۷/۱) | ۲ (۱۴/۲) | ۱۴ |
| IMC | ۵ (۸۳/۳) | ۱ (۱۶/۶) | ۰ | ۰ | ۰ | ۰ | ۶ |

HPV: Human papillomavirus; IDC: Invasive ductal carcinoma; ILC: Invasive lobular carcinoma
IMC: Invasive medullary carcinom

جدول ۲. فراوانی ویروس پاپیلوماوی انسانی بر اساس درجهی

پاتولوژی

| Grade IDC | HPV منفی تعداد (درصد) | HPV مثبت تعداد (درصد) | کل تعداد (درصد) |
|--------------|-----------------------------|-----------------------------|--------------------|
| Grade I | ۲۱ (۷۲/۵) | ۸ (۲۷/۵) | ۲۹ (۳۳/۳) |
| Grade II | ۱۶ (۷۲/۸) | ۶ (۲۷/۲) | ۲۲ (۲۵/۲) |
| Grade III | ۳۰ (۸۳/۳) | ۶ (۱۶/۷) | ۳۶ (۴۱/۳) |
| کل | ۶۷ (۷۷/۱) | ۲۰ (۲۲/۹) | ۸۷ |

HPV: Human papillomavirus;

IDC: Invasive ductal carcinoma

بسیاری از مطالعات اپیدمیولوژیک نشان داده‌اند که سابقه‌ی ارثی سرطان پستان در خانواده، در ارتباط با عوامل خطر پیش زمینه‌ای همانند متغیرهای زاد و ولد می‌باشد (۴). مشاهده‌ی افزایش خطر در ابتلا به سرطان پستان در زنان متعلق به خانواده‌هایی که سرطان پستان در آن‌ها سابقه دارد، به طبقه‌بندی این سرطان به عنوان موارد ارثی (خانوادگی) و تک‌گیر منجر شد (۴، ۷). گزارش‌های مختلف نشان داده‌اند که زمینه‌های ارثی مسئول ۱۰-۴ درصد کارسینوماهای پستان می‌باشند و تا حدودی موتاسیون در ژن‌های P53، BRCA-۲ و BRCA-۱ در ارتباط با ایجاد سرطان پستان هستند (۱۴-۱۵).

اگر چه تخمین زده می‌شود که ویروس‌های سرطان‌زا عامل حدود ۲۰ درصد سرطان‌ها در انسان می‌باشند، اما همچنان ارتباط ویروس‌ها با سرطان پستان مورد بحث و تبادل نظر است (۱۶).

اثبات ارتباط یک ویروس با سرطان پستان در انسان، دهه‌ها است که محققین را مجذوب خود کرده است. کشف ردپای ویروس‌های اپشتن بار (virus Epstein-Barr)، HHV-۸ و HSV-۱ در سرطان پستان بر جذابیت این موضوع افزوده است (۱۷-۱۹).

ضمن این که رتروویروس‌ها نیز به عنوان عوامل احتمالی تکامل سرطان پستان در پستانداران شناخته شده‌اند (۲۰).

ارتباط سببی بین پاپیلوماویروس انسانی و سرطان پستان برای اولین بار با تشخیص ژنوم HPV-۱۶ در ۲۹/۴ درصد از نمونه‌های سرطان پستان در سال ۱۹۹۲ مطرح شد (۲۱-۲۲). در مطالعه‌ای مشابه که در کشور ژاپن انجام شد، در ۱۱/۱ درصد بافت‌های سرطانی پستان، ژنوم پاپیلوماویروس‌ها ردیابی شد (۲۱). همچنین یک مطالعه در کشور برزیل نشان داده است که تیپ‌های ۱۸ و ۱۶ پاپیلوماویروس در ۱۰ درصد از موارد سرطان پستان حضور دارند (۲۳). در مطالعه‌ای دیگر در کشور استرالیا، حضور تیپ‌های ۱۶، ۱۸ و ۳۳ ویروس پاپیلوما در بیش از ۶۰ درصد موارد سرطان پستان گزارش شد (۲۴).

به طور کلی، مطالعات فراوان در زمینه‌ی ارتباط پاپیلوماویروس با سرطان پستان، نتایج متغیر و گاه متناقض را در محدوده‌ی ۴-۸۶ درصد گزارش کرده‌اند (۱۱-۱۰). به نظر می‌رسد علت اصلی این تناقضات، محدودیت تکنیک‌های تشخیصی و توزیع متفاوت اپیدمیولوژیک پاپیلوماویروس در مناطق مختلف باشد.

در ایران دو گزارش از حضور پاپیلوماوی انسانی در بافت پستان ثبت شده است. در مطالعه‌ی طهماسبی فرد و همکاران، تنها در ۳ مورد از نمونه‌های بافت طبیعی فیبروستیک، ژنوم HPV یافت شد؛ اما در هیچ یک از نمونه‌های بافت سرطان پستان، ژنوم ویروس ردیابی نشده است (۲۵). این در حالی است که در مطالعه‌ی حاضر، در ۲۲/۹ درصد موارد سرطانی، حضور ویروس پاپیلوما تشخیص داده شد،

بودند و ۲۲/۹ درصد موارد بافت سرطانی به ویروس پاپیلوماوی انسانی آلوده بودند.

نتایج پژوهش حاضر حاکی از آن است که عفونت HPV با پیشرفت سرطان (درجه و شدت بیماری) ارتباط معنی داری ندارد که البته با نتایج مطالعه‌ی سیگارودی و همکاران (۲۶) در ایران در تضاد است (۲۷).

لازم به ذکر است که در تحقیق حاضر، تیپ‌های پوستی پاپیلوماویروس ارزیابی نشدند؛ در حالی که تیپ‌های ۱۵ و ۲۳ ویروس پاپیلوماوی انسانی در مطالعات سیگارودی و همکاران (۲۶) و de Villiers و همکاران (۲۸) شناسایی شده‌اند. این مسأله ناشی از توزیع اپیدمیولوژیکی متفاوت ویروس، حتی در یک کشور می‌باشد. de Cremoux و همکاران با بررسی ۵۰ بافت سرطانی پستان، هیچ کدام از تیپ‌های ۶، ۱۱، ۱۶ و ۱۸ را نیافتند. بنابراین تشخیص این تیپ‌ها در مطالعه‌ی حاضر مؤید وجود عوامل مختلف اپیدمیولوژیکی در کشورهای مختلف است (۱۲).

همچنین بر خلاف نتایج پژوهش حاضر، Lindel و همکاران قادر به شناسایی HPV در نمونه‌های بافت سرطان پستان در زنان سوئیسی نبودند که نشان دهنده‌ی الگوی اپیدمیولوژی متفاوت این ویروس در مناطق مختلف جهان است (۲۹).

Yasmeen و همکاران نشان دادند که ژنوم HPV در بسیاری از سرطان‌های تهاجمی و متاستاتیک پستان حضور دارد؛ در صورتی که در سرطان In situ medullary carcinoma کمتر یافت می‌شود. در مطالعه‌ی حاضر نیز این یافته وجود داشت و بافت سرطانی Medullary in situ از نظر وجود ویروس پاپیلوماوی انسانی منفی بود. همین طور مشاهده شد که

اما نمونه‌های فیبروستیک فاقد ژنوم HPV بودند. دومین مطالعه در ایران توسط سیگارودی و همکاران انجام شد که در ۲۵ درصد نمونه‌های بافت تومور پستان، ژنوم ویروس HPV از تیپ‌های ۶، ۱۱، ۱۵، ۱۶ و ۱۸ ردیابی شد و یک نمونه‌ی شاهد غیر سرطانی هم دارای ژنوم ویروس پاپیلوما بود (۲۶).

یافته‌های حاصل از تحقیق حاضر، به نتایج این پژوهش نزدیک بود. ضمن این که در هیچ کدام از نمونه‌های شاهد غیر سرطانی، ژنوم پاپیلوماویروس ردیابی نشد. لازم به ذکر است که در تحقیق سیگارودی و همکاران (۲۶) تیپ‌های ۱۶ و ۱۸ غالب بودند، اما در مطالعه‌ی حاضر تیپ ۶ شایع‌تر بود.

در مطالعات گذشته، حضور تیپ‌های پرخطر HPV-۱۸، HPV-۱۶ و HPV-۳۳ در نمونه‌های سرطان پستان از جمعیت‌های مختلف در کشورهای ایتالیا، چین، ژاپن، آمریکا، اتریش، برزیل، استرالیا، تایوان، ترکیه، کره و سوریه به اثبات رسیده است (۲۱-۲۲). نتایج پژوهش حاضر که بر روی نمونه‌های بافت سرطانی شهر یزد صورت گرفته است، مؤید توزیع اپیدمیولوژیکی پاپیلوماویروس به ویژه تیپ پرخطر ۱۶ و نقش آن در سرطان پستان در این منطقه از کشور ایران است.

Hennig و همکاران حضور HPV-۱۶ را در ۴۶ درصد از سرطان‌های پستان با هیستوپاتولوژی IDC (Invasive ductal carcinoma) و ILC (Invasive lobular carcinoma) در زنان با سابقه‌ی ضایعات نئوپلازی Cervical intraepithelial neoplasia (CINIII) تأیید کرده‌اند (۲۷). اطلاعات حاصل از تحقیق حاضر نشان داد که تمامی ایزوله‌های شناسایی شده مربوط به ۲ نوع هیستوپاتولوژی IDC و ILC

چنانچه احتمال این ارتباط با انجام مطالعات بیشتر روشن گردد، اتخاذ راهکارهای درمانی ضد ویروسی و پیشگیری سطح اول، یعنی واکسیناسیون، جهت جلوگیری از بروز روزافزون این سرطان، می‌تواند بسیار سودمند باشد.

تشکر و قدردانی

این مقاله، حاصل نتایج بخشی از پایان‌نامه‌ی دوره‌ی کارشناسی ارشد ویروس‌شناسی پزشکی است که در مؤسسه‌ی تحقیقات واکسن و سرم‌سازی رازی به انجام رسیده است. بدین وسیله از زحمات ریاست و همه‌ی همکاران محترم بخش تحقیق و تشخیص بیماری‌های ویروسی دام مؤسسه‌ی رازی تشکر و قدردانی می‌گردد.

اکثر ایزوله‌های ویروسی، مربوط به موارد پاتولوژی تهاجمی می‌باشند که مطابق با نتایج مطالعه‌ی Yasmeeen و همکاران است (۳۰).

در پایان، جهت وضوح بیشتر نقش عوامل متعدد ویروسی به عنوان یکی از عوامل محیطی مؤثر در پاتوژنز سرطان پستان، انجام بررسی‌های متعدد در این زمینه، در سراسر ایران پیشنهاد می‌شود.

اگر چه تفاوت‌های زیادی در شیوع ویروس پاپیلوما‌ی انسانی در سرطان پستان در سراسر دنیا وجود دارد، اما اکثر ایزوله‌های شناسایی شده، از تیپ‌های پرخطر می‌باشند. در مطالعه‌ی حاضر نیز بیش از نیمی (۵۵ درصد) از ایزوله‌های شناسایی شده تیپ پرخطر هستند که مطابق با سایر مطالعات است. احتمال می‌رود عفونت پاپیلوماویروس باعث افزایش خطر ابتلا به سرطان پستان در زنان شهر یزد گردد.

References

1. Ferlay J, Shin HR, Bray F, Forman D, Mathers C, Parkin DM. Estimates of worldwide burden of cancer in 2008: GLOBOCAN 2008. *Int J Cancer* 2010; 127(12): 2893-917.
2. Parkin DM. The global health burden of infection-associated cancers in the year 2002. *Int J Cancer* 2006; 118(12): 3030-44.
3. Lacey JV, Devesa SS, Brinton LA. Recent trends in breast cancer incidence and mortality. *Environ Mol Mutagen* 2002; 39(2-3): 82-8.
4. Czene K, Lichtenstein P, Hemminki K. Environmental and heritable causes of cancer among 9.6 million individuals in the Swedish Family-Cancer Database. *Int J Cancer* 2002; 99(2): 260-6.
5. Cuzick J, Sasieni P, Davies P, Adams J, Normand C, Frater A, et al. A systematic review of the role of human papilloma virus (HPV) testing within a cervical screening programme: summary and conclusions. *Br J Cancer* 2000; 83(5): 561-5.
6. Zangen D. Autodisplay von Enzyminhibitoren [Thesis]. Homburg, Germany: Saarland University 2002.
7. McGrath M, Wong JY, Michaud D, Hunter DJ, De Vivo I. Telomere length, cigarette smoking, and bladder cancer risk in men and women. *Cancer Epidemiol Biomarkers Prev* 2007; 16(4): 815-9.
8. Helt AM, Funk JO, Galloway DA. Inactivation of both the retinoblastoma tumor suppressor and p21 by the human papillomavirus type 16 E7 oncoprotein is necessary to inhibit cell cycle arrest in human epithelial cells. *J Virol* 2002; 76(20): 10559-68.
9. Band V, Delmolino L, Androphy EJ. Enhanced degradation of p53 protein in HPV-6 and BPV-1 E6-immortalized human mammary epithelial cells. *EMBO J* 1993; 12(5): 1847-52.
10. zur Hausen H. Papillomaviruses and cancer: from basic studies to clinical application. *Nat Rev Cancer* 2002; 2(5): 342-50.
11. Mendizabal-Ruiz AP, Morales JA, Ramirez-Jirano LJ, Padilla-Rosas M, Moran-Moguel MC, Montoya-Fuentes H. Low frequency of human papillomavirus DNA in breast cancer tissue. *Breast Cancer Res Treat* 2009; 114(1): 189-94.

12. de Cremoux P, de la Rochefordiere A, Savignoni A, Kirova Y, Alran S, Fourchette V, et al. Different outcome of invasive cervical cancer associated with high-risk versus intermediate-risk HPV genotype. *Int J Cancer* 2009; 124(4): 778-82.
13. Sanner K, Wikstrom I, Strand A, Lindell M, Wilander E. Self-sampling of the vaginal fluid at home combined with high-risk HPV testing. *Br J Cancer* 2009; 101(5): 871-4.
14. He C, Tamimi RM, Hankinson SE, Hunter DJ, Han J. A prospective study of genetic polymorphism in MPO, antioxidant status, and breast cancer risk. *Breast Cancer Res Treat* 2009; 113(3): 585-94.
15. Rahman N, Scott RH. Cancer genes associated with phenotypes in monoallelic and biallelic mutation carriers: new lessons from old players. *Hum Mol Genet* 2007; 16(1): R60-R66.
16. Dimmock N, Easton A, Leppard K. Introduction to modern virology. 6th ed. Hoboken, NJ: John Wiley & Sons; 2009.
17. Labrecque LG, Barnes DM, Fentiman IS, Griffin BE. Epstein-Barr virus in epithelial cell tumors: a breast cancer study. *Cancer Res* 1995; 55(1): 39-45.
18. Newton R, Ziegler J, Bourbouli D, Casabonne D, Beral V, Mbide E, et al. The sero-epidemiology of Kaposi's sarcoma-associated herpesvirus (KSHV/HHV-8) in adults with cancer in Uganda. *Int J Cancer* 2003; 103(2): 226-32.
19. Tsai JH, Tsai CH, Cheng MH, Lin SJ, Xu FL, Yang CC. Association of viral factors with non-familial breast cancer in Taiwan by comparison with non-cancerous, fibroadenoma, and thyroid tumor tissues. *J Med Virol* 2005; 75(2): 276-81.
20. Lawson JS, Tran D, Rawlinson WD. From Bittner to Barr: a viral, diet and hormone breast cancer aetiology hypothesis. *Breast Cancer Res* 2001; 3(2): 81-5.
21. Yu Y, Morimoto T, Sasa M, Okazaki K, Harada Y, Fujiwara T, et al. HPV33 DNA in premalignant and malignant breast lesions in Chinese and Japanese populations. *Anticancer Res* 1999; 19(6B): 5057-61.
22. Lonardo AD, Venuti A, Marcante ML. Human papillomavirus in breast cancer. *Breast Cancer Research and Treatment* 1992; 21(2): 95-100.
23. Damin AP, Karam R, Zettler CG, Caleffi M, Alexandre CO. Evidence for an association of human papillomavirus and breast carcinomas. *Breast Cancer Res Treat* 2004; 84(2): 131-7.
24. Kan CY, Iacopetta BJ, Lawson JS, Whitaker NJ. Identification of human papillomavirus DNA gene sequences in human breast cancer. *Br J Cancer* 2005; 93(8): 946-8.
25. Tahmasebi Fard Z, Abdirad A, Saatian M, Arefian L. Association between human Papillomavirus (HPV) and Breast cancer in Iranian patients. *Med Sci J Islamic Azad Univ Tehran Med Branch* 2013; 23(2): 120-6. [In Persian].
26. Sigaroodi A, Nadji SA, Naghshvar F, Nategh R, Emami H, Velayati AA. Human papillomavirus is associated with breast cancer in the north part of Iran. *ScientificWorld Journal* 2012; 2012: 837191.
27. Hennig EM, Suo Z, Thoresen S, Holm R, Kvinnsland S, Nesland JM. Human papillomavirus 16 in breast cancer of women treated for high grade cervical intraepithelial neoplasia (CIN III). *Breast Cancer Res Treat* 1999; 53(2): 121-35.
28. de Villiers EM, Sandstrom RE, zur HH, Buck CE. Presence of papillomavirus sequences in condylomatous lesions of the mamillae and in invasive carcinoma of the breast. *Breast Cancer Res* 2005; 7(1): R1-11.
29. Lindel K, Forster A, Altermatt HJ, Greiner R, Gruber G. Breast cancer and human papillomavirus (HPV) infection: no evidence of a viral etiology in a group of Swiss women. *Breast* 2007; 16(2): 172-7.
30. Yasmeeen A, Bismar TA, Kandouz M, Foulkes WD, Desprez PY, Al Moustafa AE. E6/E7 of HPV type 16 promotes cell invasion and metastasis of human breast cancer cells. *Cell Cycle* 2007; 6(16): 2038-42.

The Relationship of Low-Risk (6, 11) and High-Risk Types (16, 18) of Papilloma Virus and Human Breast Cancer in Women

Masoud Doosti¹, Mehran Bakhshesh PhD², Shokouh Taghipour-Zahir PhD³, Alirza Hatami²,
Mohammad Shayestehpour⁴, Mansour Moghimi PhD⁵

Original Article

Abstract

Background: Human papilloma virus (HPV) is one of the effective factors in the occurrence and development of cervical and breast cancers. This study aimed to investigate the relationship of low-risk (6, 11) and high-risk types (16, 18) of papilloma virus and human breast cancer in women.

Methods: In this case-control study, the breast tissues of 87 cases of breast cancer and 84 women without malignant diseases (fibrocystic) in Shahid Sadoghi hospital, Yazd city, Iran were selected. To determine the low- and high-risk types of HPV, firstly the nested polymerase chain reaction (PCR) method, and then, the PCR method with specific primers were used.

Findings: HPV genome was detected in 22.9% of the samples that 18.3% of cases were containing mucosal genotypes (11, 16, 18 and 6). HPV-16 was the most common genotype in invasive ductal carcinoma. In general, genotype 16 was the most abundant type associated with breast cancer (35%) and type 11 had the lowest correlation with breast cancer (5%).

Conclusion: In this study, the possible association between human papilloma virus infection (especially type 16) and the occurrence and development of breast cancer was confirmed in women of Yazd city. The frequencies of genotypes were not significantly associated with the type of breast cancer tissue.

Keywords: Breast cancer, Genotype, Human papilloma virus, Polymerase chain reaction (PCR)

Citation: Doosti M, Bakhshesh M, Taghipour-Zahir Sh, Hatami A, Shayesteh pour M, Moghimi M. **The Relationship of Low-Risk (6, 11) and High-Risk Types (16, 18) of Papilloma Virus and Human Breast Cancer in Women.** J Isfahan Med Sch 2014; 32(279): 368-77

1- MSc Student, Department of Investigations and Diagnosis of Viral Diseases of Livestock, Razi Vaccine and Serum Research Institute, Karaj, Iran

2- Assistant Professor, Department of Investigations and Diagnosis of Viral Diseases of Livestock, Razi Vaccine and Serum Research Institute, Karaj, Iran

3- Associate Professor, Department of Pathology, School of Medicine, Shahid Sadoughi University of Medical Sciences, Yazd, Iran

4- PhD Student, Department of Virology, School of Public Health, Tehran University of Medical Sciences, Tehran, Iran

5- Assistant Professor, Department of Pathology, School of Medicine, Shahid Sadoughi University of Medical Sciences, Yazd, Iran

Corresponding Author: Mehran Bakhshesh PhD, Email: m.bakhshesh@ac.ir

مطالعه‌ی بیوانفورماتیکی و بررسی بیان ژن بهینه‌شده‌ی زیر واحد B کلرا توکسین به عنوان کاندید واکسن

دکتر شهرام نظریان^۱، محمدعلی عارف‌پور^۲، محمدجواد باقری‌پور^۳، دکتر غلامرضا اولاد^۴

مقاله پژوهشی

چکیده

مقدمه: وبا بیماری خطرناکی است که توسط باکتری ویبریوکلرا ایجاد می‌شود. توکسین کلرا مهم‌ترین عامل ویرولانسی در بیماری‌زایی ویبریو کلرا می‌باشد. زیر واحد B انتروتوکسین (Cholera toxin subunit B یا CtxB) که مسؤول اتصال سم به سلول یوکاریوتی است، ویژگی‌های ایمونوژنیک دارد. هدف از این تحقیق، بررسی بیوانفورماتیکی و تولید پروتئین نوترکیب (CtxB) بود.

روش‌ها: ژن CtxB به لحاظ وجود کدون‌های نادر مورد بررسی قرار گرفت و بهینه‌سازی ژن با استفاده از نرم‌افزارهای بیوانفورماتیکی انجام شد. پلاسمید نوترکیب pET۲۸a/CtxB به سلول‌های E. coli BL۲۱ DE۳ (Escherichia coli) منتقل و بیان پروتئین با استفاده از IPTG (Isopropyl β-D-۱-thiogalactopyranoside) القا گردید. بیان پروتئین با روش‌های Western blotting و SDS-PAGE (Sodium dodecyl sulphate- Polyacrylamide gel electrophoresis) ارزیابی شد. پروتئین نوترکیب به روش کروماتوگرافی میل ترکیبی (Nickel-Nitrilotriacetic acid) Ni-NTA تخلیص گردید.

یافته‌ها: شاخص سازگاری کدون (Codon adaptation index یا CAI) مربوط به ژن طبیعی ۰/۶۱ بود؛ در حالی که ژن بهینه‌سازی شده شاخص ۰/۹۲ را داشت. درصد کدون‌های با شیوع بالا در ژن به ۶۷ درصد بهبود یافت. آنالیز آنزیمی صحت همسانه‌سازی ژن CtxB در وکتور pET۲۸a/CtxB را تأیید کرد. Western blotting واکنش اختصاصی پروتئین نوترکیب با آنتی بادی ضد توکسین کلرا را نشان داد. میزان پروتئین خالص شده برای هر لیتر از محیط، ۹ میلی‌گرم بود.

نتیجه‌گیری: بهینه‌سازی ژن CtxB روش مناسب برای بیان بالای پروتئین نوترکیب می‌باشد. این پروتئین را می‌توان به صورت کپسوله شده به منظور ایمنی‌زایی خوراکی تولید کرد.

واژگان کلیدی: کلرا توکسین، زیر واحد B کلرا توکسین، بهینه‌سازی ژن، پروتئین نوترکیب

ارجاع: نظریان شهرام، عارف‌پور محمدعلی، باقری‌پور محمدجواد، اولاد غلامرضا. مطالعه‌ی بیوانفورماتیکی و بررسی بیان ژن بهینه‌شده‌ی

زیر واحد B کلرا توکسین به عنوان کاندید واکسن. مجله دانشکده پزشکی اصفهان ۱۳۹۳؛ ۳۲ (۲۷۹): ۳۷۸-۳۷۸

۱- مرکز تحقیقات زیست‌شناسی، دانشکده و پژوهشکده‌ی علوم پایه، دانشگاه جامع امام حسین (ع)، تهران، ایران

۲- کارشناس ارشد، مرکز تحقیقات زیست‌شناسی، دانشکده و پژوهشکده‌ی علوم پایه، دانشگاه جامع امام حسین (ع)، تهران، ایران

۳- دانشجوی دکتری، مرکز تحقیقات زیست‌شناسی، دانشکده و پژوهشکده‌ی علوم پایه، دانشگاه جامع امام حسین (ع)، تهران، ایران

۴- پژوهشگر، مرکز تحقیقات بیوتکنولوژی کاربردی، دانشگاه علوم پزشکی بقیه‌اله (عج)، تهران، ایران

مقدمه

گونه‌های ویبریو جزء شایع‌ترین ارگانیزم‌های موجود در آب می‌باشند. در این میان، ویبریو کلرا عامل بیماری مهلک وبا است که اغلب کشورهای جهان سوم را درگیر می‌نماید و با مرگ و میر بالایی نیز همراه است (۱-۲). بیماری وبا توسط سویه‌هایی از ویبریو کلرای تولید کننده‌ی توکسین وبا ایجاد می‌شود. عملکرد توکسین منجر به از دست دادن سریع آب و الکترولیت‌ها و در نتیجه کاهش شدید حجم پلاسمای خون و در نهایت کلاپس عروق و مرگ در عرض چند ساعت خواهد شد (۳-۴). ویبریو کلرا، دارای عوامل بیماری‌زایی متعددی از جمله آنزیم‌ها و سموم مختلف می‌باشد که مهم‌ترین آن‌ها کلرا توکسین است که یک آگزوتوکسین و عامل اصلی بیماری وبا می‌باشد (۵-۶).

کلرا توکسین (Ctx یا Cholera toxin) خواص آنتی ژنیک قابل توجهی از خود نشان می‌دهد؛ به طوری که توجه محققین را برای ایجاد مصونیت در برابر این بیماری به خود معطوف داشته است (۷-۸). این توکسین، پروتئین اولیگومری متشکل از زیر واحدهای هتروداپمر A (CtxA) با وزن مولکولی ۲۷۴۰۰ دالتون و زیر واحدهای هوموپتایمر B (CtxB) با وزن مولکولی حدود ۵۸۰۰۰ دالتون می‌باشد. زیر واحد B شامل ۵ قسمت ۱۰۳ اسید آمینه‌ای است که آرایش حلقه مانند دارد و دارای محل اتصال به GM۱ سلول‌های اپی‌تلیال ژژنوم است (۹). زیر واحد A به صورت پروتئولیتیکی برش خورده و دو زنجیره‌ی پلی پپتیدی به نام‌های A۱ و A۲ ایجاد می‌نماید. به نظر می‌رسد زیر واحد A۱ مسؤوّل کلیه‌ی فعل و انفعالات بیولوژیکی کلرا توکسین باشد (۱۰، ۳).

زیر واحد B خاصیت سمی ندارد و مسؤوّل اتصال سم به گیرنده‌های موجود در غشای سیتوپلاسمی سلول میزبان است. این بخش، زیر واحد A۱ را قادر می‌سازد تا درون سلول نفوذ کند. عملکرد زیر واحد A۱ باعث افزایش آدنیلات سیکلاز و افزایش مداوم آدنوزین مونوفسفات حلقوی (cAMP یا Cyclic adenosine monophosphate) داخل سلولی می‌گردد که در نهایت، ترشح بیش از حد آب و الکترولیت در روده را سبب می‌شود (۹، ۴).

در سال‌های اخیر، خواص ایمونولوژیکی Ctx بسیار مورد توجه بوده است، اما سمیت Ctx موجب محدود شدن استفاده‌ی آن برای واکسیناسیون انسانی شده است. در عوض استفاده از CtxB به علت نداشتن عوارض جانبی، به طور وسیعی به عنوان ایمونوژن مخاطی در انسان مورد بررسی قرار گرفته است (۸، ۱۱-۱۲). از این رو، تولید پروتئین نوترکیب CtxB می‌تواند کاربردهای فراوانی در تهیه‌ی واکسن‌های خوراکی داشته باشد (۱۳-۱۴). روش‌های قدیمی تخلیص CtxB بر پایه‌ی کشت انبوه باکتری ویبریو کلرا و سپس جمع‌آوری محیط کشت حاوی باکتری رشد یافته و در نهایت، استخراج سم از آن بود. در این روش‌ها، علاوه بر این که امکان جداسازی CtxB به صورت خالص وجود نداشت، پروتئین به دست آمده حاوی مقادیری CtxA و سایر پروتئین‌های ناخواسته بود که موجب محدودیت استفاده از آن می‌شد (۱۵).

در روش تولید پروتئین نوترکیب، علاوه بر کاهش خطرات ناشی از کار با عامل بیماری، پروتئین به دست آمده، خالص است و در ضمن، تولید آن مقرون به صرفه می‌باشد؛ به طوری که می‌توان در مدت زمان

نرم‌افزارهای تحت شبکه و نرم‌افزار DNAsis به منظور بررسی محتوای GC این ژن، وجود کدون‌های نادر، پایداری mRNA (Messenger RNA) و نیز شاخص سازگاری کدون (CAI) یا Codon adaptation index (CAI) انجام گرفت. با استفاده از الگوریتم OptimumGene™ و نرم‌افزار OPTIMIZER کلیه پارامترهای ذکر شده به منظور رسیدن به بیان حداکثر در باکتری *E. coli* مطابق با الگوی کدون‌های رایج این باکتری بهینه‌سازی شد (۱۶-۱۷).

پایداری mRNA ژن بهینه‌سازی شده با استفاده از نرم‌افزار Mfold انجام شد (۱۸). توالی مورد نظر، بعد از بررسی شباهت با توالی آمینو اسیدی، توسط نرم‌افزار وب کاتر مورد آنالیز قرار گرفت و از میان آنزیم‌هایی که فاقد جایگاه برش در توالی بهینه‌سازی شده بودند، دو آنزیم *EcoRI* و *HindIII* انتخاب شدند. شباهت توالی بهینه‌سازی شده با توالی اولیه‌ی پروتئین CtxB با نرم‌افزار BLASTx (Basic local alignment search tool) مورد ارزیابی قرار گرفت و در نهایت، برای ساخت به شرکت Shingene چین ارسال شد. سازه‌ی ژنی دارای توالی *EcoRI* در ابتدا و توالی *HindIII* در انتها بر روی وکتور pEt28a سنتز و به صورت لئوفیلز در یافت شد.

پس از دریافت ژن، با استفاده از سلول‌های مستعد *E. coli* LB21 DE3 و روش شوک حرارتی، تراریخت صورت گرفت. از میان کلون‌های به دست‌آمده در محیط LB آگار حاوی ۸۰ µg/ml کانامایسین، ۱۰ کلنی انتخاب و به طور جداگانه در محیط LB مایع حاوی ۸۰ µg/ml کانامایسین به مدت یک شب در شیکر انکوباتور با دمای

و با هزینه‌ی کمتر، میزان پروتئین خالص بیشتری تولید نمود (۱۵). با توجه به خاصیت ادجوانی (adjuvant) زیر واحد اتصالی سم و امکان استفاده از آن به عنوان کاندید واکسن، در این مطالعه، بررسی بیوانفورماتیکی و بهینه‌سازی ژن کد کننده‌ی CtxB جهت بیان پروتئین ناحیه‌ی اتصال دهنده‌ی کلرا توکسین با استفاده از باکتری *E. coli* (*Escherichia coli*) مد نظر قرار گرفت.

روش‌ها

در این مطالعه از باکتری *E. coli* BL21 DE3 استفاده شد. همچنین از محیط‌های کشت لوریا برتونی مایع (LB Broth یا Luria-Bertani) و آگار جهت رشد باکتری *E. coli* استفاده گردید. جهت انتخابی نمودن رشد باکتری نیز از آنتی‌بیوتیک کانامایسین شرکت فرمتاز استفاده شد. به منظور تأیید همسانه‌سازی ژن در وکتور بیانی، از آنزیم‌های محدودالایثر *EcoRI* و *HindIII* ساخت شرکت فرمتاز استفاده گردید.

مواد شیمیایی، کیت و نشانگرهای مولکولی از شرکت‌های مرک، سیناژن، کیاژن و فرمتاز تهیه شد. همچنین برای تخلیص پروتئین نوترکیب از ستون کروماتوگرافی میل ترکیبی نیکل-نیتریلو استیک اسید (Nickel-Nitrilotriacetic acid یا Ni-NTA) از شرکت کیاژن استفاده شد.

برای انجام مطالعه، ابتدا ترادف ژن زیر واحد اتصال دهنده کلراتوکسین از بانک ژن (NCBI یا National center for biotechnology information) استخراج گردید. به منظور بهینه‌سازی کدون‌های ژن CtxB طبیعی و تبدیل آن به کدون‌های رایج *E. coli* آنالیزهای بیوانفورماتیکی لازم با استفاده از

توجه به این که پروتئین نوترکیب به دست آمده به صورت نامحلول و اجسام انکلوژنی بود، از بافرهای حاوی اوره‌ی ۸ مولار برای شستشوی ستون با شرایط دناتوره استفاده شد. پس از تخلیص پروتئین، حذف اوره به روش شیب دیالیز انجام گرفت.

یافته‌ها

توالی ژن CtxB از لحاظ وجود کدون‌های نادر و همچنین میزان نوکلئوتیدهای C و G مورد ارزیابی قرار گرفت. برای افزایش میزان بیان پروتئین نوترکیب، توالی ژن مورد نظر بهینه‌سازی شد. محتوای GC و درصد توزیع کدون‌های ژن CtxB قبل و بعد از فرایند بهینه‌سازی در شکل‌های ۱ و ۲ نشان داده شده است. همان‌طور که مشاهده می‌شود، میزان GC این ژن از ۳۶/۴۰ (در حالت طبیعی) به مقدار ۴۹/۹۰ بعد از بهینه‌سازی افزایش یافته است و در نتیجه‌ی آن، میزان AT از ۶۳/۶۰ در حالت طبیعی به مقدار ۵۰/۱۰ در حالت بهینه‌سازی شده، کاهش یافته است. همچنین شکل ۳، شاخص سازگاری کدون ژن CtxB قبل و بعد از بهینه‌سازی را نشان می‌دهد که از ۰/۶۱ به ۰/۹۲ بعد از بهینه‌سازی رسیده است.

نتایج حاصل از جستجوی توالی نوکلئوتیدی در بانک‌های اطلاعاتی پروتئینی BLASTx نشان داد که این توالی به صورت کامل و ۱۰۰ درصد با توالی پروتئین طبیعی همولوژی دارد.

ساختار ثانویه‌ی mRNA پس از بهینه‌سازی کدون‌ها مورد ارزیابی قرار گرفت (شکل ۴). میزان حداقل انرژی ساختار mRNA نیز ۷۶/۰۶- کیلوکالری بر مول بود. همچنین، ساختارهای نامناسب که بر فرایند ترجمه‌ی پروتئین مؤثر هستند، نیز دیده نشد.

۳۷ درجه‌ی سانتی‌گراد و سرعت ۱۵۰ rpm کشت داده شدند. پس از جمع‌آوری سلول‌ها، با روش لیز قلیایی، پلاسمید استخراج گردید. با استفاده از آنزیم‌های محدودالایتر EcoRI و HindIII بر روی پلاسمیدهای استخراج شده، هضم آنزیمی صورت گرفت و وجود ژن CtxB در کنار نشانگر مولکولی توسط الکتروفورز روی ژل آگاروز ۱ درصد ارزیابی شد.

جهت بیان پروتئین نوترکیب، کلونی‌های تأیید شده در محیط LB مایع حاوی ۸۰ µg/ml کانامایسین تلقیح و به مدت یک شب در شیکر انکوباتور با دمای ۳۷ درجه‌ی سانتی‌گراد و سرعت ۱۵۰ rpm گرماگذاری شدند. پس از کشت مجدد، زمانی که جذب نوری در طول موج ۶۰۰ nm به ۰/۶ رسید، با افزودن ماده‌ی القاکننده‌ی IPTG (Isopropyl β-D-1-thiogalactopyranoside) با غلظت نهایی ۱ میلی‌مولار در شرایط استریل، القا صورت گرفت. محیط‌های پیش‌گفته در Shaker انکوباتور با دمای ۳۷ درجه‌ی سانتی‌گراد و سرعت ۱۵۰ rpm گرماگذاری شدند. پس از گذشت ۵ ساعت، سلول‌های محیط با سانتریفوژ با دور ۵۰۰۰ rpm به مدت ۱۰ دقیقه جمع‌آوری شدند. سلول‌ها با بافر لیزکننده شکسته و به همراه نشانگر پروتئینی، روی ژل ۱۲ درصد SDS-PAGE (Sodium dodecyl sulphate- Polyacrylamide gel) (electrophoresis) الکتروفورز گردیدند. بررسی صحت پروتئین نوترکیب بیان شده با روش ایمونوبلاتینگ و استفاده از آنتی‌بادی ضد کلرا توکسین (Anti-CTX) انجام شد (۱۹).

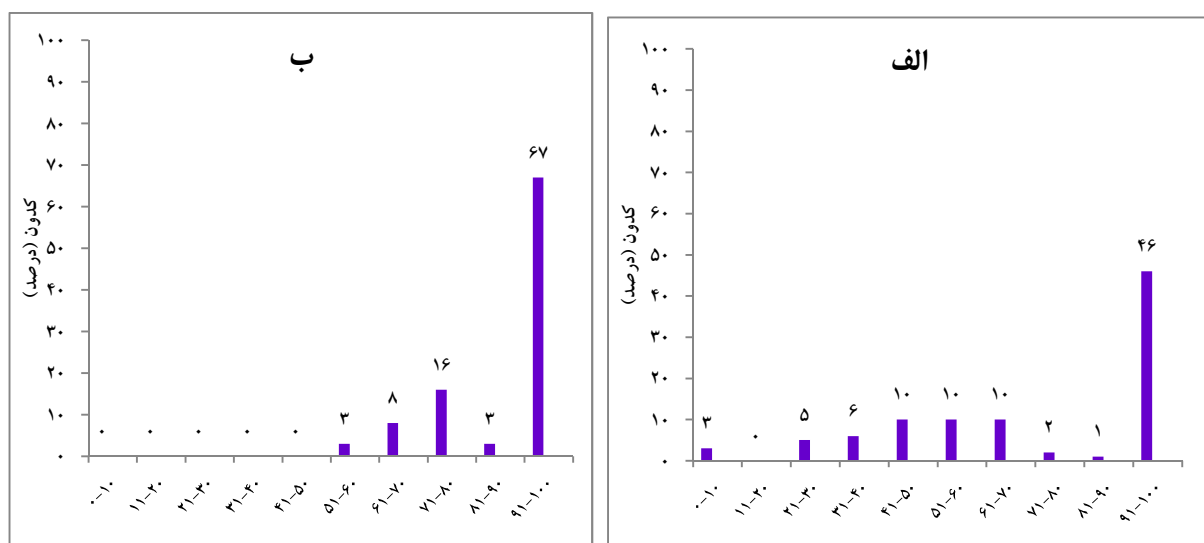
برای تخلیص پروتئین، از ستون نیکل-نیتریلو استیک اسید ساخت شرکت کیاژن استفاده شد. با

پروتئینی سلول‌های بیانی جمع‌آوری شده بر روی ژل ۱۲ درصد SDS-PAGE، مورد تأیید قرار گرفت. در نمونه‌های القا شده، پروتئین با بیان بسیار بالا مشاهده شد؛ در حالی که در نمونه‌های القا نشده، پروتئین CtxB وجود نداشت (شکل ۶).

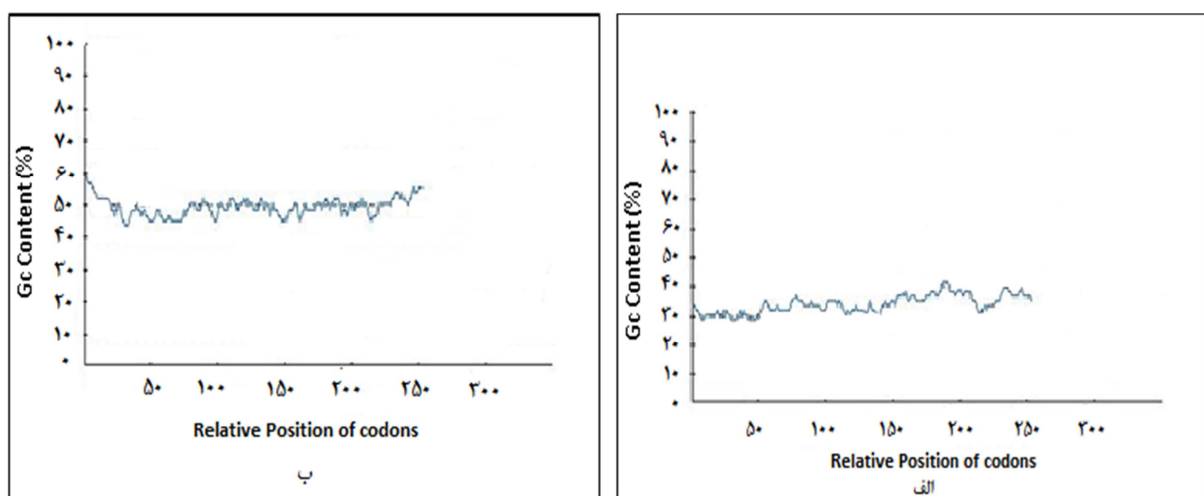
بررسی حلالیت پروتئین نشان داد که پروتئین به صورت اجسام انکلوژنی در سیتوپلاسم تجمع پیدا می‌کند.

استخراج پلاسمید از باکتری *E. coli* با روش لیز قلیایی انجام و روی ژل آگارز ۱ درصد الکتروفورز گردید. بررسی صحت پلاسمید حاوی ژن با روش هضم آنزیمی و با استفاده از آنزیم‌های محدودالتر *HindIII* و *EcoRI* انجام گرفت و صحت سازه‌ی ژنی تأیید شد (شکل ۵).

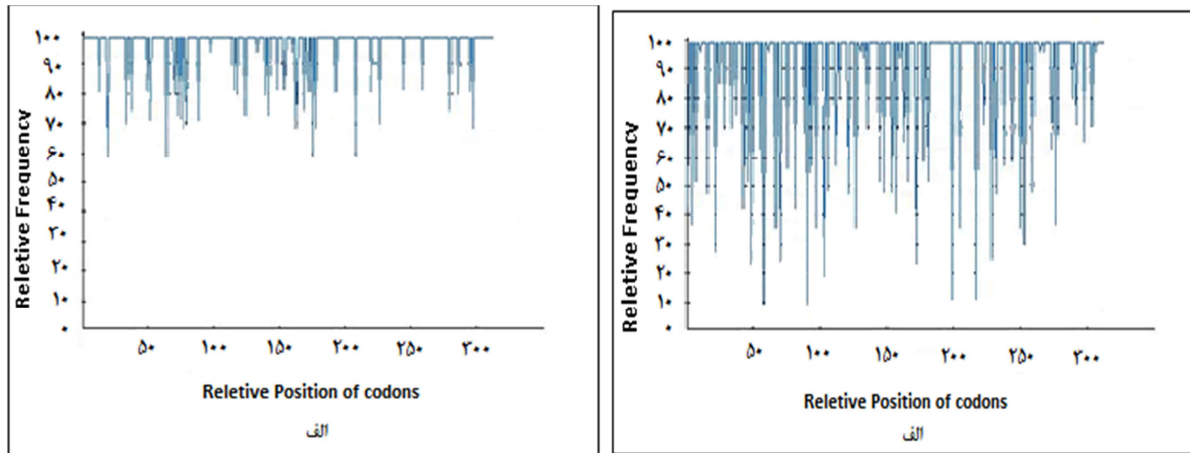
نتایج بررسی بیان ژن مورد مطالعه (pET۲۸a/CtxB) با استفاده از بررسی کل محتوای



شکل ۱. درصد توزیع کدون‌های مربوط به ژن طبیعی CtxB (الف) و ژن بهینه‌سازی شده‌ی CtxB (ب) به کدون‌هایی که بالاترین فراوانی را دارند، ارزش ۱۰۰ داده شده است.

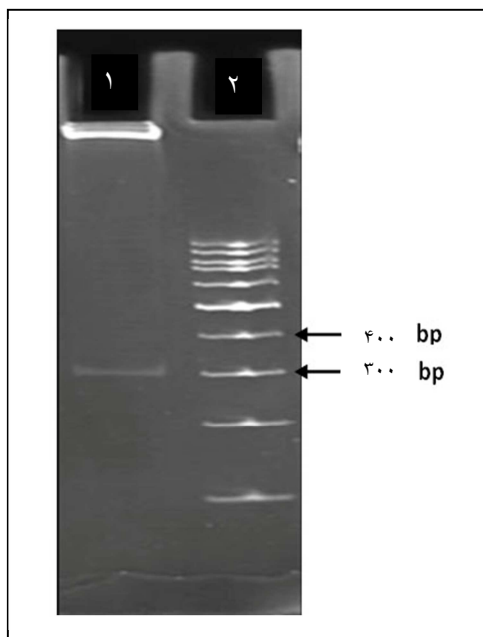


شکل ۲. متوسط درصد بازهای GC مربوط به ژن طبیعی CtxB (الف) و ژن بهینه‌سازی شده‌ی CtxB (ب)

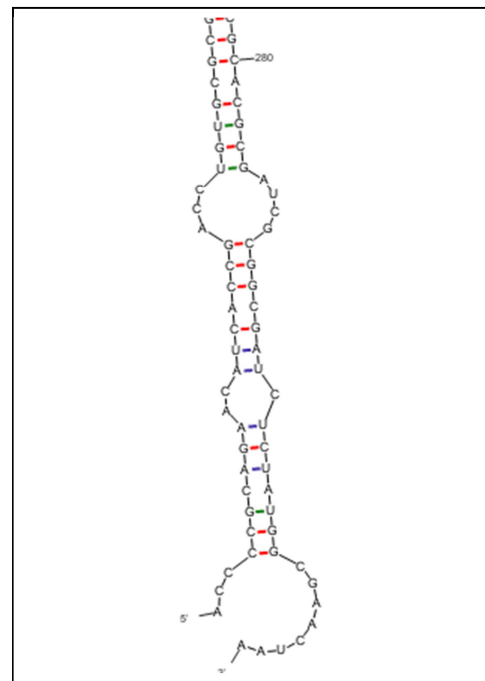


شکل ۳. شاخص سازگاری کدون (CAI یا Codon adaptation index) مربوط به ژن طبیعی CtxB (الف) و ژن بهینه‌سازی شده‌ی CtxB (ب)

استفاده از ستون نیکل - نیتریلو استیک اسید، بیانگر وجود پروتئین نوترکیب در نمونه‌ی جمع‌آوری شده از مرحله‌ی آخر شستشو با درجه‌ی خلوص بالا بود (شکل ۸).

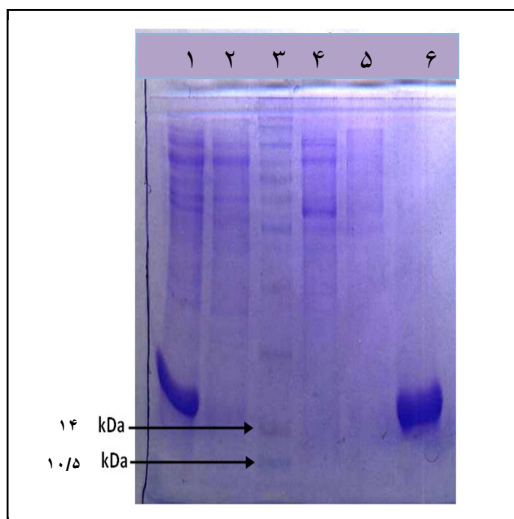


شکل ۵. تأیید همسانه‌سازی ژن CtxB در پلاسمید pET28a به روش هضم آنزیمی (ستون ۱) هضم آنزیمی پلاسمیده‌ی تخلیص شده، ستون ۲) نشانگر اندازه‌ی DNA (DNA Ladder ۱۰۰ bp فرمتاز)



شکل ۴. پیش‌بینی ساختار ثانویه‌ی mRNA پس از بهینه‌سازی کدون‌های ژن CtxB ساختار ناحیه‌ی شروع ۵' mRNA نشان داده شده است.

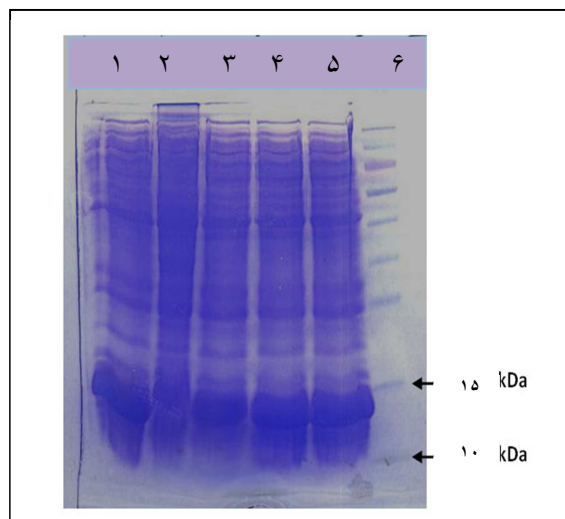
نتایج حاصل از تکنیک ایمونوبلاتینگ با استفاده از آنتی‌بادی Anti-CTX، پروتئین نوترکیب حاصل از بیان ژن CtxB را در مقایسه با شاهد، به خوبی تأیید نمود (شکل ۷). نتایج حاصل از تخلیص پروتئین با



شکل ۸. بررسی تخلیص پروتئین نوترکیب با ستون میل ترکیبی Ni-NTA روی ژل SDS-PAGE ۱۲ درصد
ستون ۱ نمونه‌ی قبل از تخلیص، ستون ۲ نمونه‌ی خروجی قبل از شستشو، ستون ۳ و ۴ نمونه‌ی خروجی پس از شستشو با بافر C و D، ستون ۵ و ۶ پروتئین تخلیصی شده با بافر استخراج E، ستون ۳ نشانگر اندازه‌ی پروتئین (PR۰۶۰۲۰) و یوانتیس).

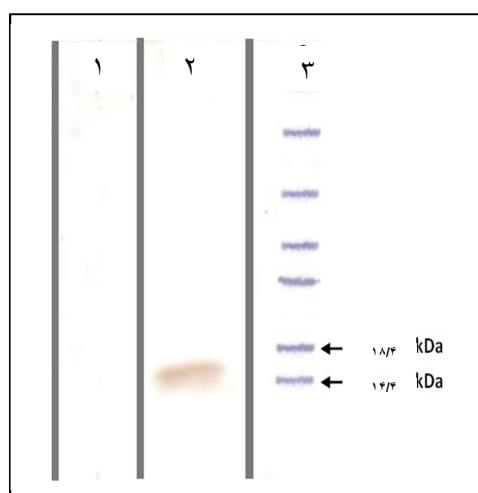
مولکولی بیان شده و واکنش آن با Anti-CTX مؤید بیان زیر واحد B کلرا توکسین است. مطالعات مختلف نشان داده است که بر خلاف کلرا توکسین که دارای سمیت است و استفاده از آن به حیوان محدود شده است، CtxB دارای خاصیت ایمونوژنی و ادجوانی مخاطی می‌باشد (۱۵). Isaka و همکاران نشان دادند که زیر واحد بتای سم کلرا و تجویز آن از طریق بینی به همراه توکسوئید دیفتری عملکرد ادجوانی مناسبی را به همراه دارد (۲۰).

Kundu و همکاران زیر واحد بتا از سم و باکتری ویبریو کلرا O1 را تکثیر و در وکتور pET-۱۴b زیر همسانه‌سازی و بیان کردند. نتایج تحقیقات نشان داده است که استفاده از CtxB علاوه بر عملکرد ادجوانی به تنهایی توانسته است تا ۷۰ درصد از فعالیت سم مانع کند (۲۱). در واقع، CtxB با اتصال به



شکل ۶. بررسی بیان پروتئین CtxB بر روی ژل SDS-PAGE ۱۲ درصد با رنگ‌آمیزی کوماسی بلو

ستون ۱، ۳، ۴، ۵ نمونه‌های بعد از القا، ستون ۲ نمونه‌ی قبل از القا، ستون ۶ نشانگر اندازه‌ی پروتئین (SM۰۶۷۱ فرمتناز)



شکل ۷. تأیید پروتئین نوترکیب به روش Western blotting با استفاده از Anit-CTX

ستون ۱ نمونه‌ی قبل از القا، ستون ۲ نمونه‌ی بعد از القا، ستون ۳ نشانگر اندازه‌ی پروتئین (SM۰۴۳۱ فرمتناز).

بحث

ژن CtxB بعد از طراحی و انجام بررسی‌های بیوانفورماتیکی و سنتز، به باکتری BL۲۱ DE۳ E.coli منتقل شد. تمامی نتایج از جمله تعیین وزن

Kundu و همکاران نیز این زیر واحد را در وکتور pET-۱۴b زیر همسانه‌سازی و بیان کرد؛ اما در مقاله‌ی آن‌ها اشاره‌ای به میزان تولید پروتئین در هر لیتر از محیط کشت نشده است (۲۱).

یکی از ویژگی‌های مهم زیر واحد بتای سم کلرا، تشابه بسیار زیاد آن با زیر واحد بتای سم حساس به حرارت اشرشیاکلی انروتوکسیژنیک می‌باشد. از آن جا که این دو پروتئین دارای اپی‌توپهای مشترک می‌باشند (۲۳)، می‌توان در تحقیقات مربوط به ایمنی‌زایی علیه اشرشیاکلی انروتوکسیژنیک از آنتی‌بادی تولید شده علیه CtxB نیز استفاده کرد.

با توجه به خواص ادجوانی و همچنین اهمیت این پروتئین در واکسن‌سازی، به نظر می‌رسد بیان این پروتئین به صورت نوترکیب، روش مناسب، کارا و مقرون به صرفه‌ای برای تولید این پروتئین و انجام مطالعات بعدی مانند اثرات ایمنی‌زایی آن به تنهایی یا همراه با سایر عوامل ایمونوژن و همچنین به صورت‌های مختلف مانند خوراکی باشد.

تشکر و قدردانی

از حمایت مالی گروه و مرکز تحقیقات زیست‌شناسی دانشگاه جامع امام حسین (ع) در انجام این تحقیق، قدردانی می‌شود.

آنتی‌ژن‌ها، موجب تحریک پاسخ ایمنی به واسطه‌ی برهمکنش آنتی‌ژن با سلول‌های عرضه‌کننده‌ی آنتی‌ژن (APC یا Antigen-presenting cell) موجود در مخاط گوارش و تنفس می‌شود. CtxB به صورت کوالان به آنتی‌ژن‌ها متصل می‌شود و آن‌ها را از طریق گانگلیوزید GM۱ به سلول‌های مخاطی حمل می‌کند و بدین ترتیب، خاصیت ادجوانی CtxB زمانی که به صورت کونژوگه همراه با سایر پروتئین‌ها باشد، تأیید شده است (۲۰، ۱۵).

از آن جا که تولید بالای پروتئین نوترکیب، یکی از نکات مهم در تهیه‌ی کاندیداهای واکسن می‌باشد، نتایج این تحقیق نشان داد که بهینه‌سازی ژن به منظور بالا بردن تولید پروتئین، راهکاری مناسب است. ضیغمی و همکاران در تحقیقی زیر واحد بتای سم کلرا را از طریق (Polymerase chain reaction) PCR تکثیر و پس از همسانه‌سازی در وکتور بیانی، به صورت نوترکیب تولید کردند (۲۲). میزان تخلیص پروتئین نوترکیب مورد نظر ۴۸۰ میکروگرم در لیتر گزارش شد که در مقایسه با میزان تخلیص پروتئین تولید شده در تحقیق حاضر (۹ میلی‌گرم در لیتر) بسیار کمتر می‌باشد. همچنین در تحقیق حاضر، بر خلاف روش ضیغمی و همکاران، از آنتی پروتئین نیز استفاده نشده است.

References

1. Mousavi SL, Nazarian S, Amani J, Rahgerdi AK. Rapid screening of toxigenic vibrio cholerae O1 strains from south Iran by PCR-ELISA. *Iran Biomed J* 2008; 12(1): 15-21.
2. Mandal S, Mandal MD, Pal NK. Cholera: a great global concern. *Asian Pac J Trop Med* 2011; 4(7): 573-80.
3. Vanden Broeck D, Horvath C, De Wolf MJ. Vibrio cholerae: cholera toxin. *Int J Biochem Cell Biol* 2007; 39(10): 1771-5.
4. Hill DR, Ford L, Lalloo DG. Oral cholera vaccines: use in clinical practice. *Lancet Infect Dis* 2006; 6(6): 361-73.
5. Mousavi SL, Rasouli I, Nazarian SH, Amani J. Simultaneous detection of escherichia coli o157:h7, toxigenic vibrio cholerae, and salmonella typhimurium by multiplex pcr. *Iran J Clin Infect Dis* 2009; 4(2): 97-103. [In Persian].

6. Bharati K, Ganguly NK. Cholera toxin: a paradigm of a multifunctional protein. *Indian J Med Res* 2011; 133: 179-87.
7. Banerjee R, Das B, Balakrish NG, Basak S. Dynamics in genome evolution of *Vibrio cholerae*. *Infect Genet Evol* 2014; 23: 32-41.
8. Sanchez J, Holmgren J. Cholera toxin structure, gene regulation and pathophysiological and immunological aspects. *Cell Mol Life Sci* 2008; 65(9): 1347-60.
9. Ahmadi S, Mousavi ML, Sorouri R, Salimian J, Karimi A, Nazarian SH, et al. Rapid detection of toxigenic vibrio cholera o1 using PCR-enzyme-linked immunosorbent assay (PCR-ELISA). *Kowsar Medical Journal* 2006; 11(1): 41-50. [In Persian].
10. De Haan L, Hirst TR. Cholera toxin: a paradigm for multi-functional engagement of cellular mechanisms (Review). *Mol Membr Biol* 2004; 21(2): 77-92.
11. Fan JL, Peterson JW, Prabhakar BS. Adjuvant effects of cholera toxin b subunit on immune response to recombinant thyrotropin receptor in mice. *J Autoimmun* 2000; 14(1): 43-52.
12. Sun JB, Eriksson K, Li BL, Lindblad M, Azem J, Holmgren J. Vaccination with dendritic cells pulsed in vitro with tumor antigen conjugated to cholera toxin efficiently induces specific tumoricidal CD8+ cytotoxic lymphocytes dependent on cyclic AMP activation of dendritic cells. *Clin Immunol* 2004; 112(1): 35-44.
13. Tochikubo K, Isaka M, Yasuda Y, Kozuka S, Matano K, Miura Y, et al. Recombinant cholera toxin B subunit acts as an adjuvant for the mucosal and systemic responses of mice to mucosally co-administered bovine serum albumin. *Vaccine* 1998; 16(2-3): 150-5.
14. Kim HJ, Kim JK, Seo SB, Lee HJ, Kim HJ. Intranasal vaccination with peptides and cholera toxin subunit B as adjuvant to enhance mucosal and systemic immunity to respiratory syncytial virus. *Arch Pharm Res* 2007; 30(3): 366-71.
15. de Geus B, Dol-Bosman M, Scholten JW, Stok W, Bianchi A. A comparison of natural and recombinant cholera toxin B subunit as stimulatory factors in intranasal immunization. *Vaccine* 1997; 15(10): 1110-3.
16. Puigbo P, Guzman E, Romeu A, Garcia-Vallve S. OPTIMIZER: a web server for optimizing the codon usage of DNA sequences. *Nucleic Acids Res* 2007; 35(Web Server issue): W126-W131.
17. Nazarian S, Mousavi Gargari SL, Rasooli I, Amani J, Bagheri S, Alerasool M. An in silico chimeric multi subunit vaccine targeting virulence factors of enterotoxigenic *Escherichia coli* (ETEC) with its bacterial inbuilt adjuvant. *J Microbiol Methods* 2012; 90(1): 36-45.
18. Zuker M. Mfold web server for nucleic acid folding and hybridization prediction. *Nucleic Acids Res* 2003; 31(13): 3406-15.
19. Nazarian S, Gargari SL, Rasooli I, Hasannia S, Pirooznia N. A PLGA-encapsulated chimeric protein protects against adherence and toxicity of enterotoxigenic *Escherichia coli*. *Microbiol Res* 2014; 169(2-3): 205-12.
20. Isaka M, Yasuda Y, Kozuka S, Taniguchi T, Matano K, Maeyama J, et al. Induction of systemic and mucosal antibody responses in mice immunized intranasally with aluminium-non-adsorbed diphtheria toxoid together with recombinant cholera toxin B subunit as an adjuvant. *Vaccine* 1999; 18(7-8): 743-51.
21. Kundu J, Mazumder R, Srivastava R, Srivastava BS. Intranasal immunization with recombinant toxin-coregulated pilus and cholera toxin B subunit protects rabbits against *Vibrio cholerae* O1 challenge. *FEMS Immunol Med Microbiol* 2009; 56(2): 179-84.
22. Zeighami H, Sattari M, Rezayat M. Purification of the recombinant beta subunit of *Vibrio cholerae* enterotoxin. *J Arak Univ Med Sci* 2011; 14(3): 27-35. [In Persian].
23. Lebens M, Shahabi V, Backstrom M, Houze T, Lindblad N, Holmgren J. Synthesis of hybrid molecules between heat-labile enterotoxin and cholera toxin B subunits: potential for use in a broad-spectrum vaccine. *Infect Immun* 1996; 64(6): 2144-50.

Bioinformatical Study and Evaluation of Expression of Cholera Toxin Subunit B Optimized Gene as a Vaccine Candidate

Shahram Nazarian PhD¹, Mohhammad Ali Arefpour MSc¹, Mohhammad Javad Bagheripour²,
Golamreza Olad PhD³

Original Article

Abstract

Background: Cholera is a lethal diarrheal disease caused by *Vibrio cholerae*. Cholera toxin is the major virulence factor in pathogenesis of *Vibrio cholerae*. The B subunit of the enterotoxin, which is responsible for toxin binding to eukaryotic cells, has immunogenic properties. The aim of this study was bioinformatic investigation and production of recombinant cholera toxin subunit B (CtxB).

Methods: CtxB gene was analysed for rare codons and gene optimization was performed using optimization software. Recombinant pET28a/ctxb plasmid was transformed to *E. coli* BL21 DE3 and expression was induced with Isopropyl β -D-1-thiogalactopyranoside (IPTG). The protein expression was evaluated using Sodium dodecyl sulphate- Polyacrylamide gel electrophoresis (SDS-PAGE) and Western Blotting analysis. The recombinant protein was purified using Nickel-Nitrilotriacetic acid (Ni-NTA) affinity chromatography.

Findings: Codon adaptation index (CAI) on the native gene was 0.61, while the optimized sequence had a CAI of 0.92. Percentage of codon having high-frequency distribution was improved to 67%. Restriction analysis confirmed cloning of the CtxB gene into pET28a vector. Western blotting showed specific reactivity of recombinant protein with anti-CTX antibody. The total yield of purified protein was 9 mg/l.

Conclusion: The results indicated that CtxB gene optimization is a useful approach to high-level expression of recombinant protein. The protein could be produced in capsulated form for oral immunization purpose.

Keywords: Cholera toxin, Cholera enterotoxin subunit B (CtxB), Gene optimization, Recombinant protein

Citation: Nazarian Sh, Arefpour MA, Bagheripour MJ, Olad G. **Bioinformatical Study and Evaluation of Expression of Cholera Toxin Subunit B Optimized Gene as a Vaccine Candidate.** J Isfahan Med Sch 2014; 32(279): 378-87

1- Biology Research Centre, School of Basic Science, Imam Hossein University, Tehran, Iran

2- PhD Student in Nanobiotechnology, Biology Research Centre, School of Basic Science, Imam Hossein University, Tehran, Iran

3- Applied Biotechnology Research Centre, Baqitollah University of Medical Sciences, Tehran, Iran

Corresponding Author: Shahram Nazarian, Email: nazarian56@gmail.com

تأثیر ۸ ماه تمرین مقاومتی بر سطوح GH (Growth hormone)، IGFBP^۳ (Insulin-like growth factor binding protein^۳) و IGF^۱ (Insulin-like growth factor) پلاسمای دو بیمار مبتلا به سوختگی شدید

نسیم بهزادنژاد^۱، سید محمد مرنندی^۲، دکتر فهیمه اسفرجانی^۳، دکتر احمد عابدی^۴، فرشته بردیا^۱

مقاله پژوهشی

چکیده

مقدمه: افراد مبتلا به جراحات‌های حرارتی، افزایش کاتابولیسم پروتئین، تأخیر بهبود زخم، پاسخ ایمنی ضعیف و شیوع عفونت دارند. هدف از پژوهش حاضر بررسی اثر ۸ ماه تمرین مقاومتی بر سطوح GH (Growth hormone)، IGFBP^۳ (Insulin-like growth factor binding protein^۳) و IGF^۱ (Insulin-like growth factor) پلاسمای افراد مبتلا به سوختگی شدید بود.

روش‌ها: روش پژوهشی از نوع مورد منفرد با طرح خط پایه‌ی چندگانه‌ی شرکت کنندگان بود. آزمودنی‌های این پژوهش دو زن با سوختگی شدید (درجه‌ی ۳) در دامنه‌ی سنی ۳۰-۲۰ سال در بیمارستان سوانح سوختگی مرکزی شهر بودند، که پس از تعیین موقعیت خط پایه، به صورت پلکانی وارد طرح پژوهشی شدند. بیماران طی ۸ ماه مداخله‌ی انفرادی، تمرین‌های مقاومتی انجام دادند و یک ماه پس از پایان مداخله، به مدت ۲ ماه پی در پی تحت آزمون پیگیری قرار گرفتند. ابزار سنجش پژوهش حاضر نمونه‌گیری خونی، به منظور اندازه‌گیری GH، IGF^۱ و IGFBP^۳ بود. نمونه‌های خونی به صورت ناشتا و ۲۴ ساعت پس از تمرین‌ها در پایان هر ماه گرفته شد.

یافته‌ها: بر اساس شاخص‌های آمار توصیفی و تحلیل دیداری، تمرین‌های مقاومتی در هر دو آزمودنی موجب تغییر در سطوح IGF^۱، GH و IGFBP^۳ شد. PND (Percentage of non-overlapping data) در GH ۷۵ درصد برای آزمودنی اول و ۸۷/۵ درصد برای آزمودنی دوم و PND در IGF^۱ و IGFBP^۳ ۱۰۰ درصد برای هر دو آزمودنی به دست آمد.

نتیجه‌گیری: به نظر می‌رسد تمرین مقاومتی طولانی مدت بتواند باعث افزایش عوامل رشدی در افراد مبتلا به سوختگی شدید شود و یک محرک قوی برای سنتز پروتئین در این افراد باشد، یا از اثرات کاتابولیسی که وجود آمده پس از سوختگی و یا روند معکوس و کاهش بیش از حد این عوامل رشدی، پس از سوختگی جلوگیری کند و در نتیجه، باعث تسریع در بهبود جراحات‌ها شود.

واژگان کلیدی: سوختگی، Growth hormone، IGF^۱، Insulin-like growth factor^۳، Insulin-like growth factor binding protein^۳، تمرین مقاومتی، پژوهش مورد منفرد

ارجاع: بهزادنژاد نسیم، مرنندی سید محمد، اسفرجانی فهیمه، عابدی احمد، بردیا فرشته. تأثیر ۸ ماه تمرین مقاومتی بر سطوح GH (Growth hormone)، IGFBP^۳ (Insulin-like growth factor binding protein^۳) و IGF^۱ (Insulin-like growth factor) پلاسمای دو بیمار مبتلا به سوختگی شدید. مجله دانشکده پزشکی اصفهان ۱۳۹۳؛ ۳۲ (۲۷۹): ۳۸۸-۴۰۷

۳۸۸-۴۰۷

۱- کارشناس ارشد، گروه فیزیولوژی ورزش، دانشکده‌ی تربیت بدنی و علوم ورزشی، دانشگاه اصفهان، اصفهان، ایران

۲- دانشیار، گروه فیزیولوژی ورزش، دانشکده‌ی تربیت بدنی و علوم ورزشی، دانشگاه اصفهان، اصفهان، ایران

۳- استادیار، گروه فیزیولوژی ورزش، دانشکده‌ی تربیت بدنی و علوم تربیتی، دانشگاه اصفهان، اصفهان، ایران

۴- استادیار، گروه روان‌شناسی کودکان با نیازهای خاص، دانشکده‌ی علوم تربیتی و روان‌شناسی، دانشگاه اصفهان، اصفهان، ایران

مقدمه

یکی از حوادثی که جامعه ی بشری را تهدید می کند و می تواند صدمات جبران ناپذیری به زندگی بشر وارد کند، آتش سوزی و به دنبال آن سوختگی افراد می باشد. حادثه های شدید و مهلک مثل سوختگی برقی، شیمیایی، رادیو اکتیو و حرارتی یکی از ویران کننده ترین حادثه های است که خیلی سخت می شود از آن ها جان سالم به در برد و این به دلیل دردهای غیر قابل تحملی است که در مراحل اولیه بعد از حادثه برای فرد پیش می آید (۱).

سوختگی شدید با هایپرمتابولیسم و کاتابولیسم عضلانی (۲-۴)، همچنین از دست رفتن عضلات و کاهش ذخایر پروتئین عضلات همراه است (۵-۴، ۲). پاسخ هایپرمتابولیک ۵ روز پس از سوختگی شروع می شود و بیشتر از ۲۴ ماه ادامه می یابد (۳) و باعث از دست رفتن بافت بدون چربی و تراکم استخوانی و تأخیر در بهبود زخم می شود (۶).

کاهش شدید وزن بدن اغلب پس از سوختگی شدید اتفاق می افتد که ناشی از افزایش سوخت و ساز بدن و ناکافی بودن جذب کالری برای افراد حادثه دیده است. مصرف انرژی در سه هفته ی اول بعد از سوختگی شدید نسبت به مواقع معمولی دو برابر است و در ۵ تا ۶ هفته ی اول توازن نیتروژن، منفی خواهد شد (۷). کاتابولیسم توده ی بدون چربی بدن برای ۹ ماه بعد از سوختگی شدید مشاهده شده است و این کاهش توده ی بدون چربی با افزایش مصرف غذا هم ادامه می یابد (۸). این حالت به وسیله ی یک دوره ی بی فعالیتی که به دنبال سوختگی به وجود می آید، شدیدتر می شود (۹). همچنین آسیب سوختگی بیشتر با متابولیسم غیر طبیعی چربی ها

همراه است و شامل کاهش حساسیت گیرنده های لیپولیتیک به کاتکولامین ها و کاهش در اندازه ی بافت چربی می باشد (۱۰).

بسیاری از تحقیقات اخیر که روزانه هورمون رشد را اندازه گیری کردند، کاهش معنی داری در GH (Growth hormone) یک ماه پس از سوختگی نشان داده اند و در طول ۴ هفته پس از سوختگی، بیماران سطح بالایی از استرس را نشان می دهند که ممکن است با کاهش مشاهده شده در سطوح GH مرتبط باشد (۱۱). اگر چه این کاهش بلافاصله پس از سوختگی مشاهده شد، اما ۸-۱۰ روز پس از سوختگی، شروع به کاهش کرده و کاهش یکنواختی را نشان داده است (۳). اختلال در رشد بدن نیز به ویژه در کودکان با سوختگی بیشتر از ۴۰ درصد نشان داده شده است (۱۲-۱۱، ۵، ۲) که حداقل ۹ ماه با کاتابولیسم عضلانی و حداقل ۲ سال تأخیر در رشد پس از سوختگی همراه است (۷).

بعضی از مطالعات تأخیر بیشتر از ۳ سال در رشد کودکان را پس از سوختگی گزارش داده اند (۱۲). دلایل تأخیر در رشد به طور کامل مشخص نیست؛ اما گزارش شده است که سطوح GH پلاسما در بزرگسالان پس از سوختگی کاهش می یابد (۱۳). همچنین کاهش غلظت IGF1 (Insulin like growth factor) و IGFBP3 (Insulin like growth factor binding protein) پلاسما نیز بلافاصله پس از سوختگی شروع می شود و به طور معنی داری به کاهش خود ادامه می دهد (۱۴، ۳).

هورمون ها یک نقش مرکزی در کنترل بازگشت پروتئین ایفا می کنند. سنتز پروتئین به وسیله ی

هورمون‌های آنابولیک مانند تستوسترون، GH، انسولین و IGF1 تنظیم می‌شود؛ در حالی که تجزیه ی پروتئین به وسیله ی هورمون‌های کاتابولیک به ویژه کورتیزول انجام می‌شود (۱۵). GH یک هورمون پپتیدی است که به وسیله ی سلول‌های سوماتوتروف هیپوفیز قدامی تولید و توسط هورمون‌های هیپوتالاموسی تنظیم می‌شود. ترشح GH یک الگوی متناوب دارد و محرک های گوناگون بر مقدار و تکرار ترشح آن مؤثر است، GH بر متابولیسم پروتئین، کربوهیدرات و چربی اثر می‌گذارد، همچنین گیرنده‌های این هورمون در همه ی سلول‌ها وجود دارد و اثر مستقیم بر بسیاری از بافت‌ها مانند عضلات اسکلتی دارد. ترشح GH به وسیله ی یک سیستم بازخورد منفی تنظیم می‌شود؛ به طوری که افزایش IGF1 سرم موجب توقف ترشح GH می‌شود (۱۶). هورمون رشد تنظیم کننده ی اصلی سنتز IGF1 کبدی و IGFBP3 است و کبد اندام اصلی مسؤول در تولید IGF1 سرم می‌باشد (۱۶).

بسیاری از اثرات متابولیکی GH به وسیله ی هورمون پپتیدی IGF1 واسطه‌گری می‌شود (۱۷). IGF1 هورمون پلی پپتیدی کوچک با ساختاری شبیه انسولین است و سطوح آن با عوامل فیزیولوژیک مانند خواب، هورمون‌ها، ورزش و عوامل پاتولوژیک مانند بیماری، استرس و غیره تعدیل می‌شود (۱۸). دو ایزوform از IGF وجود دارد که یکی به وسیله ی کبد تولید می‌شود و عملکرد اندوکراین دارد و در هر دو حالت استراحت و کار عضلانی بیان می‌شود. نوع دیگر، MGF (Mechano growth factor) است که نیمه ی عمر کوتاه‌تری دارد و بیشتر در عضلات و در زمان کار عضلانی بیان می‌شود. احتمال می‌رود که

MGF عملکرد اتوکراین/پاراکراین داشته باشد (۱۹). IGF1 نقش مستقیمی در هموستاز گلوکز بدن به وسیله ی تحریک برداشت گلوکز توسط عضله ی اسکلتی بازی می‌کند (۲۰). بر خلاف GH، سطوح IGF1 سرم در انسان های سالم، ثابت است و تغییرات فردی کمی را نشان می‌دهد. اگر چه سطوح بالاتر یا پایین‌تر از حد طبیعی IGF1 سرم، مطابق با سن نشانه ی خوبی برای عدم عملکرد GH است؛ اما با توجه به این که عوامل دیگری مانند وعده ی غذایی و مشکلات کبدی بر سطوح IGF1 سرم مؤثر است، باید با دقت بیشتری بررسی گردد (۱۶).

۶ نوع IGF متصل به پروتئین وجود دارد. IGFBP3 ابتدا از سرم جدا می‌شوند و پروتئین‌هایی حدود ۳۰ KDa هستند که می‌توانند به IGF1 و IGF2 متصل شوند. بیشتر IGF1 سرم به صورت کمپلکس ۳ قسمتی IGFBP3 یا زیر واحد اسید لاییل یافت می‌شود، که در سرم نیمه ی عمر و رهایی IGF1 را به بافت افزایش می‌دهد و در بافت‌ها نیز، فعالیت IGF1 را تعدیل می‌کند، چون IGFBP3 میل بیشتری به IGFs در مقایسه با گیرنده‌ها دارد (۱۶).

از آن جایی که GH به عنوان یک عامل آنابولیکی قوی و تعدیل کننده ی سلامت، از پاسخ‌های متابولیکی پس از آسیب جلوگیری می‌کند (۱۷)، تجویز دوزی از GH در فاز حاد پس از سوختگی (۲) می‌تواند منجر به کاهش کاتابولیسم، حفظ تراکم سلولی بدن، بهبود سنتز پروتئین، افزایش سرعت بهبود زخم و کاهش تأخیر در رشد شود (۱۲، ۵-۴). کاهش معنی داری در زمان بهبود زخم در بیماران سوخته با استفاده از ۰/۲ mg/kg/day هورمون رشد در روز مشاهده شده است (۲۱).

وجود دارد. تمرین مقاومتی نسبت به تحریک الکتریکی عضله در بازگشت ذخایر عضلانی و تراکم آن مؤثرتر است. انواع تمرین مقاومتی به عنوان یک روش مؤثر منجر به هایپرتروفی عضلانی می‌شود و قدرت عضلانی و عملکرد اجرایی در افراد بزرگسال را افزایش می‌دهد (۱۹).

IGFs سنتز پروتئین طی تمرین مقاومتی را افزایش می‌دهد و باعث افزایش هایپرتروفی می‌شود (۲۴). در سطوح استراحتی IGF۱ مردانی که تمرین مقاومتی انجام دادند نسبت به گروه فاقد تمرین، افزایش مشاهده شد. همچنین افزایش در سطوح استراحتی IGF۱ به خصوص در تمرین های دارای حجم بالا در زنان مشاهده شده است (۲۴). اگر چه افزایش IGFBP۳ یک ساعت پس از تمرین مقاومتی گزارش شده است، با این حال در مطالعه ی دیگر کاهش معنی‌داری در IGFBP۳ در هفته‌های ۲۵-۱۳ در برنامه‌ی تمرین مقاومتی دیده شده است (۲۴).

در مطالعه‌ای پس از ۸ هفته تمرین در مردان جوان غیر ورزشکار، تغییر معنی‌داری در سطوح IGF۱ و IGFBP۳ مشاهده نشد (۲۶)، در حالی که در پژوهش دیگر کاهش معنی‌داری در سطوح IGF۱ و IGFBP۳ در برنامه ی ۲ ماهه در کودکان چاق مشاهده شد (۲۷). همچنین افزایش معنی‌داری در GH پس از تمرین مقاومتی مشاهده شد، اما در سطوح IGF۱ پس از تمرین این گونه نبود. هر چند ۱ ساعت پس از تمرین افزایش یافت که متأثر از استراحت بین ست‌ها بوده است (۲۸). کاهش غیر معنی‌داری نیز با یک جلسه تمرین در سطوح IGF۱ مشاهده شد که این پاسخ پس از ۶ هفته بدون تغییر بود (۲۹). سطوح GH و IGF۱ در دانشجویان غیر ورزشکار پس از

IGF۱ باعث افزایش رشد بافتی و تداوم اثرات آنابولیک در بزرگسالان می‌شود (۱۸) و به عنوان محرک سنتز پروتئین و مانع تجزیه ی آن در عضله ی اسکلتی پس از سوختگی شناخته شده است. همچنین تزریق IGF۱ همراه با GH یا IGFBP۳ برای کاهش کاتابولیسم عضلانی بدون هیچ اثر جانبی مناسب بوده است. مطالعات متعددی نقش IGF۱ را در محدود کردن متابولیسم تأیید کرده است. همچنین با تزریق IGF۱ از واکنش‌های کاتابولیک در موش‌های سوخته جلوگیری شده است (۲۳-۲۲).

شواهد متعددی در مورد اثر IGF۱ در سازگاری‌های هایپرتروفی عضلانی در تمرین‌های مقاومتی به ویژه در بهبود عضلات حیوانات وجود دارد (۲).

ورزش یک عامل مهم و مؤثر بر کاهش کاتابولیسم عضله پس از سوختگی شدید می‌باشد (۱۱) و به عنوان یک محرک قوی برای آزادسازی هورمون رشد، پرولاکتین و کورتیزول شناخته شده است (۱۳). به ویژه تمرین مقاومتی، که مقادیر GH را افزایش می‌دهد (۲۴). مقدار پاسخ به ورزش بسته به نوع، شدت، مدت، فراخوانی عضله، زمان استراحت، جنس، سن، ترکیب بدن و وضعیت سلامتی و تمرینی افراد متفاوت است (۲۴-۲۵). غلظت GH، ۳۰ دقیقه پس از تمرین مقاومتی در مردان و زنان افزایش مشابهی را نشان می‌دهد. اگر چه سطوح استراحتی GH در زنان به طور معنی‌داری بالاتر از مردان است (۲۴)، با این حال مکانیزم تنظیم GH در پاسخ به تمرین به طور کامل مشخص نشده است (۲۵). بعد از یک دوره ی طولانی تمرین مقاومتی، افزایش در سطوح هر دو نوع ایزوform IGF۱ و سطوح پروتئین

آنابولیک و عوامل شبه رشدی را افزایش دهد، بعضی هورمون‌های استرس پس از سوختگی را کاهش دهد و بیمار را از انجام عمل‌های جراحی متناوب به منظور جلوگیری از تغییر شکل مفاصل، بازگرداندن عضلات از دست رفته و کاهش سریع دردهای ناشی از زخم بی‌نیاز سازد؟».

روش‌ها

الف) طرح پژوهشی

این پژوهش از نوع پژوهش‌های مورد منفرد (Single subject research) است و در آن از طرح خط پایه‌ی چندگانه در میان آزمودنی‌ها (Multiple baseline across participants) استفاده شده است. طرح خط پایه‌ی چندگانه، شامل کاربرد یک موقعیت مداخله در دو یا چند خط پایه‌ی مختلف در یک مدل زمانی پلکانی (Time-staggered fashion) است. در واقع، در این طرح ابتدا داده‌های خط پایه برای هر تعداد آزمودنی پژوهش گردآوری می‌شود و سپس مداخله برای آزمودنی اول آغاز می‌شود؛ در صورتی که آزمودنی‌های دیگر همچنان در موقعیت خط پایه قرار دارند. سپس در مرحله‌ی بعد، آزمودنی دوم نیز علاوه بر آزمودنی اول مداخله دریافت می‌کند (مدل زمانی پلکانی برای ارابه‌ی مداخله) (۳۳).

منطق زیربنایی طرح‌های آزمایشی مورد منفرد همانند طرح‌های گروهی است و تأثیر مداخله با مقایسه‌ی شرایط متفاوتی که به آزمودنی ارابه می‌گردد، بررسی می‌شود. عملکرد آزمودنی در مرحله‌ی پیش از مداخله یعنی مرحله‌ی خط پایه، برای پیش‌بینی رفتار آزمودنی در آینده به کار برده

یک جلسه تمرین افزایش یافت (۳۰). راه‌ها و تدبیرهایی برای درمان سوختگی و برگرداندن افراد سانحه دیده به زندگی عادی وجود دارد که در طی دو دهه‌ی گذشته رایج‌ترین روش درمان بیماران با سوختگی شدید، برداشتن قسمت‌های سوخته شده و باندپیچی آن‌ها می‌باشد. این روش‌های جراحی در بعضی مواقع می‌تواند موجب مرگ فرد شود یا او را نجات بخشد (۳۱).

همان‌طور که در تحقیقات نشان داده شده است، افراد مبتلا به سوختگی شدید حتی تا ۲۴ ماه آثار مضر کاتابولیکی و التهابی را در بدن خود دارند. از طرفی، تحقیقات نشان می‌دهد ورزش و فعالیت بدنی منظم سبب افزایش هورمون‌ها و عواملی رشدی آنابولیک می‌شود و از آن جایی که شرکت بزرگسالان در ورزش‌های مقاومتی باعث افزایش نیروی عضله و هیپرتروفی می‌شود و با توجه به این که فعالیت‌های روزمره، وظایفی جامع هستند که مستلزم نیروی عضله و تحملند، یک برنامه‌ی مقاومتی مؤثر ممکن است در توانبخشی افراد با سوختگی شدید، با افزایش نیروی عضلانی و ظرفیت انجام کار و کاهش کاتابولیک عضله و التهاب درونی آن‌ها اثرگذار باشد (۳۲).

طراحی تمرین‌های مقاومتی با استفاده از انقباض‌های درون‌گرا، با تکرار زیاد و با مقاومت و بار کم، قدرت عضلانی افراد را بدون عوارض جانبی بر استخوان، عضله یا بافت پیوندی افزایش می‌دهد (۶)؛ به طوری که تمرین‌های مقاومتی باعث افزایش ۵۰-۳۰ درصد در قدرت عضله‌ی کودکان پس از ۱۲-۸ هفته می‌شود (۲۳). با استناد به تحقیقات و نظریه‌های موجود محقق قصد دارد، بررسی کند که «آیا انجام ورزش‌های مقاومتی، می‌تواند هورمون‌های

ج) ابزار اندازه‌گیری

از نمونه‌گیری خونی برای اندازه‌گیری IGF1، GH و IGFBP3 پلازما استفاده شد. همه‌ی نمونه‌ها در ساعت ۸:۳۰ صبح در پایان هر ماه ۲۴ ساعت پس از آخرین وهله‌ی تمرینی گرفته شد. در موقعیت مداخله و پیگیری بدون انجام تمرینات پس از پایان هر ماه، نمونه‌ها جمع‌آوری می‌شد.

د) جلسات تمرین

تمرین مقاومتی برای دو آزمودنی، ۴ ماه پس از سوختگی آغاز شد و برای ۸ ماه سه روز در هفته ادامه یافت. در ابتدای همه‌ی جلسات به مدت ۱۰ دقیقه گرم کردن با دوچرخه‌ی ثابت و بعد از آن تمرین‌های مربوط به هر جلسه انجام می‌شد. تمرین‌های اندام فوقانی شامل فلکشن آرنج برای تقویت عضله‌ی دو سر بازو، فلکشن-اکستنشن آرنج در بالای سر برای تقویت عضله‌ی سه سر بازو، ابداکشن بازو برای دو دست به طور همزمان، فلکشن بازو و حرکت پروانه بود و برای اندام تحتانی از فنرهای آویزان که به وسیله‌ی قلاب به پا متصل می‌شد، استفاده گردید و تمرین‌ها شامل فلکشن-اکستنشن مفصل ران در حالت خوابیده به طوری که فتر به عنوان مقاومت به پا وصل شده و پا را بالا و پایین می‌آورد، اجرا شد. سپس فرد به سمت راست می‌چرخید و با پای چپ ابداکشن-اداکشن را انجام می‌داد و بعد همین حرکت روی سمت مخالف انجام می‌شد. همچنین فرد به شکم خوابیده و فتر را با فلکشن-اکستنشن زانو برای تقویت عضلات همسترینگ حرکت می‌داد. در حالت نشسته فتر موازی با زمین به میله‌ها وصل و حرکت جلوی ران با فلکشن-اکستنشن مفصل زانو انجام می‌شد و در آخر، با سرد کردن عضلات، جلسه‌ی

می‌شود. طرح‌های خط پایه‌ی چندگانه، قابلیت اثبات روابط علت و معلولی را در شرایط آزمایشی دارند. این طرح‌ها با ورود پلکانی آزمودنی‌ها، پژوهشگر را قادر می‌سازد که اثر متغیرهای مزاحم را حذف کند و تغییر متغیر وابسته را فقط بر اساس متغیر مستقل تبیین نماید (۳۳).

در پژوهش حاضر، پس از ۳ جلسه اندازه‌گیری در خط پایه برای آزمودنی اول، تمرین مقاومتی برای او به صورت انفرادی آغاز گردید و آزمودنی دیگر در موقعیت خط پایه باقی ماند. همزمان با جلسه‌ی سوم مداخله‌ی آزمودنی اول، مداخله‌ی آزمودنی دوم که ۵ نقطه‌ی خط پایه داشت، آغاز گردید.

ب) آزمودنی‌ها

دو زن مبتلا به سوختگی شدید در بیمارستان سوانح و سوختگی مرکزی در این تحقیق شرکت کردند. معیار ورود به تحقیق سوختگی درجه‌ی ۳ و دامنه‌ی سنی ۲۰-۳۰ سال و جنسیت زن بود.

ویژگی‌های آزمودنی‌ها به شرح زیر بود:

ش- ۲۵ ساله که در مغازه‌ی مواد پزشکی همسرش بر اثر تماس استون صنعتی با هیتر برقی مبتلا به سوختگی شدید در ناحیه‌ی ران و ساق پای چپ و ران پای راست، ناحیه‌ی شکمی و باسن و اندکی در دست‌ها شده بود. پس از بستری در بیمارستان، ۲ ماه در ICU (Intensive care unit) به سر برده و امیدوی به ادامه‌ی زندگیش نبوده است، اما پس از آن کمی بهبود یافت و در بخش عادی بستری شد.

ف- ۲۷ ساله که در راه مسافرت با ماشین شخصی و همراه خانواده در اثر سانحه‌ی تصادف دچار آتش‌سوزی شده بود. سوختگی در تمام ناحیه‌ی صورت، دست‌ها و پاها بود.

تحلیل دیداری (Visual analysis) نمودارها و شاخص روند (Trending)، ثبات (Stability)، درصد داده‌های غیبر همپوش PND (Percentage of non-overlapping data) و درصد داده‌های همپوش POD (Percentage of overlapping data) استفاده شد.

یافته‌ها

نتایج نمونه‌گیری در سطوح GH، IGF¹ و IGFBP³ در دو آزمودنی در مراحل خط پایه، مداخله و پیگیری در جداول ۱ و ۲ آمده است. یافته‌های جداول ۱ و ۲ به صورت نمودار داده‌ها در شکل‌های ۱ و ۲ آمده است.

تمرین به پایان می‌رسید. به دلیل محدودیت‌های حرکتی آزمودنی‌ها از کمترین وزنه‌ای که فرد می‌توانست به اندازه‌ی ۵ تکرار در سه وهله اجرا کند، استفاده شد. پس از سازگاری عضلات با برنامه، تعداد تکرار به ۸ و در ادامه‌ی تمرین‌ها به ۱۲ تکرار رسید. پس از این مرحله، وزنه‌ی مورد استفاده کمی سنگین‌تر می‌شد. در استفاده از فنر نیز بعد از رسیدن به ۱۲ تکرار، فرد با ۲ فنر و در ادامه، اضافه بار تمرین با افزایش فنرها انجام می‌گرفت.

آزمودنی‌ها قبل از انجام طرح و در طول درمان در هیچ گونه فعالیت بدنی یا فیزیوتراپی شرکت نداشتند.

روش تجزیه و تحلیل داده‌ها

در این پژوهش، برای تجزیه و تحلیل داده‌ها از

جدول ۱. داده‌های GH، IGF¹ و IGFBP³ در موقعیت خط پایه برای دو آزمودنی

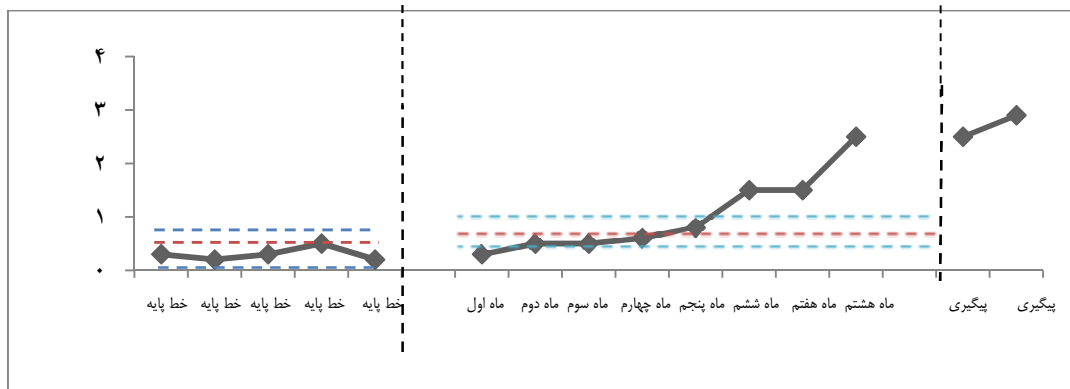
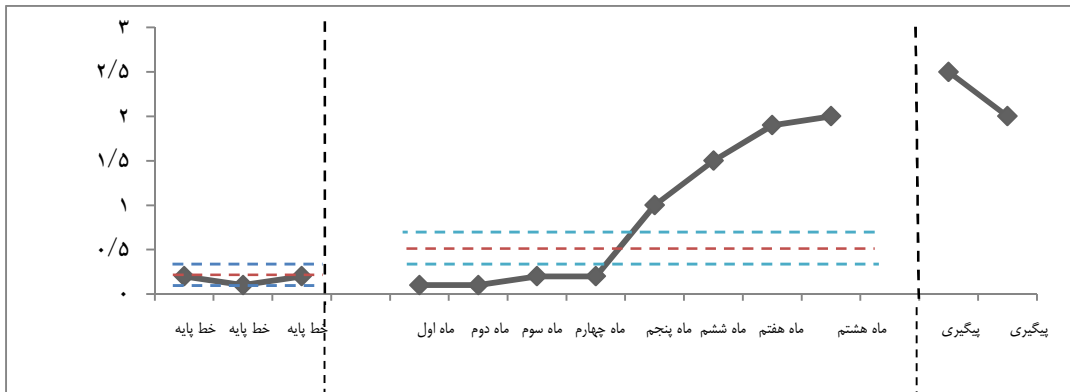
| جلسه‌ی اول | جلسات | | | | | | آزمودنی | |
|------------|------------|------------|--------------|-------------|------------|-------------|---------|--------------------|
| | جلسه‌ی دوم | جلسه‌ی سوم | جلسه‌ی چهارم | جلسه‌ی پنجم | جلسه‌ی ششم | جلسه‌ی هفتم | | |
| ۰/۲ | ۰/۱ | ۰/۲ | | | | | Sh | GH |
| ۰/۳ | ۰/۲ | ۰/۳ | ۰/۵ | ۰/۲ | | | F | |
| ۳۸۲/۲ | ۳۷۰ | ۳۵۰ | | | | | Sh | IGF ¹ |
| ۳۷۰ | ۳۶۹ | ۳۶۵ | ۳۶۳ | ۳۶۰ | | | F | |
| ۳۷۶۰ | ۳۵۹۹ | ۳۵۴۶ | | | | | Sh | IGFBP ³ |
| ۳۶۵۰ | ۳۴۰۵ | ۳۳۲۵ | ۳۱۴۵ | ۳۰۲۳ | | | F | |

GH: Growth hormone; IGF¹: Insulin-like growth factor¹; IGFBP³: Insulin-like growth factor binding protein³

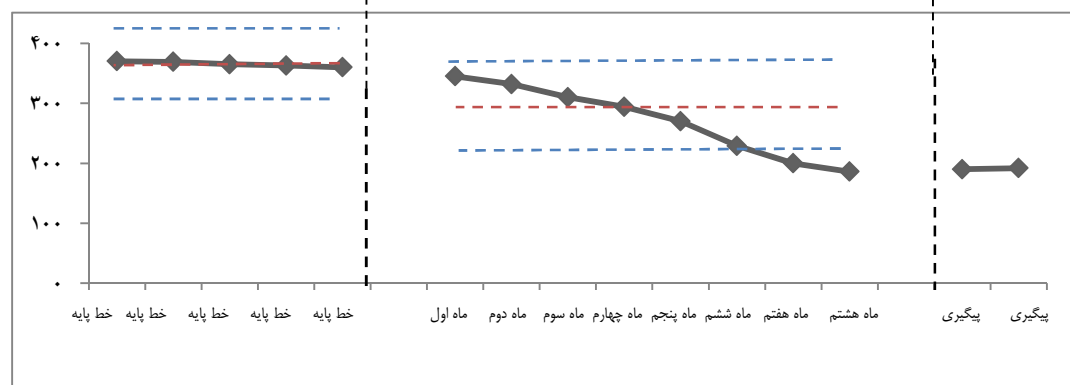
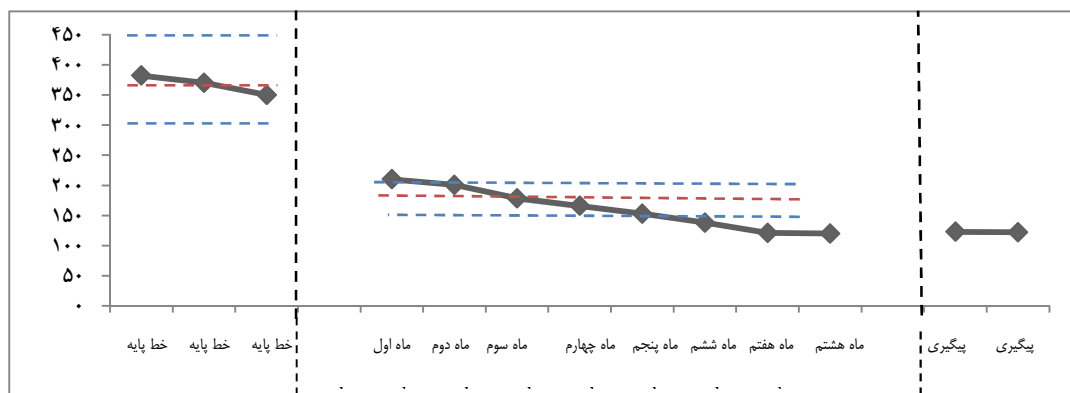
جدول ۲. داده‌های GH، IGF¹ و IGFBP³ در موقعیت مداخله و پیگیری برای دو آزمودنی

| ماه اول | جلسات | | | | | | | | | آزمودنی | |
|---------|---------|---------|-----------|----------|---------|----------|----------|--------|--------|---------|--------------------|
| | ماه دوم | ماه سوم | ماه چهارم | ماه پنجم | ماه ششم | ماه هفتم | ماه هشتم | پیگیری | پیگیری | | |
| ۰/۱ | ۰/۱ | ۰/۲ | ۰/۲ | ۱/۰ | ۱/۵ | ۱/۹ | ۲۲/۰ | ۲/۵ | ۲/۰ | Sh | GH |
| ۰/۳ | ۰/۵ | ۰/۶ | ۰/۸ | ۱/۵ | ۱/۵ | ۱/۵ | ۲/۵ | ۲/۵ | ۲/۹ | F | |
| ۲۱۰ | ۲۰۰ | ۱۷۸ | ۱۶۶ | ۱۵۳ | ۱۳۸ | ۱۲۱ | ۱۲۰ | ۱۲۳ | ۱۲۲ | Sh | IGF ¹ |
| ۳۴۵ | ۳۳۲ | ۳۱۰ | ۲۹۴ | ۲۷۰ | ۲۲۹ | ۲۰۰ | ۱۸۶ | ۱۹۰ | ۱۹۲ | F | |
| ۳۰۳۵ | ۲۹۶۰ | ۲۸۸۹ | ۲۷۹۷ | ۲۷۶۴ | ۲۷۶۰ | ۲۷۶۵ | ۲۷۴۰ | ۲۷۳۲ | ۲۷۲۲ | Sh | IGFBP ³ |
| ۲۷۵۶ | ۲۶۳۹ | ۲۶۰۳ | ۲۵۹۰ | ۲۵۹۳ | ۲۵۷۴ | ۲۵۶۷ | ۲۵۵۸ | ۲۶۳۹ | ۲۶۵۱ | F | |

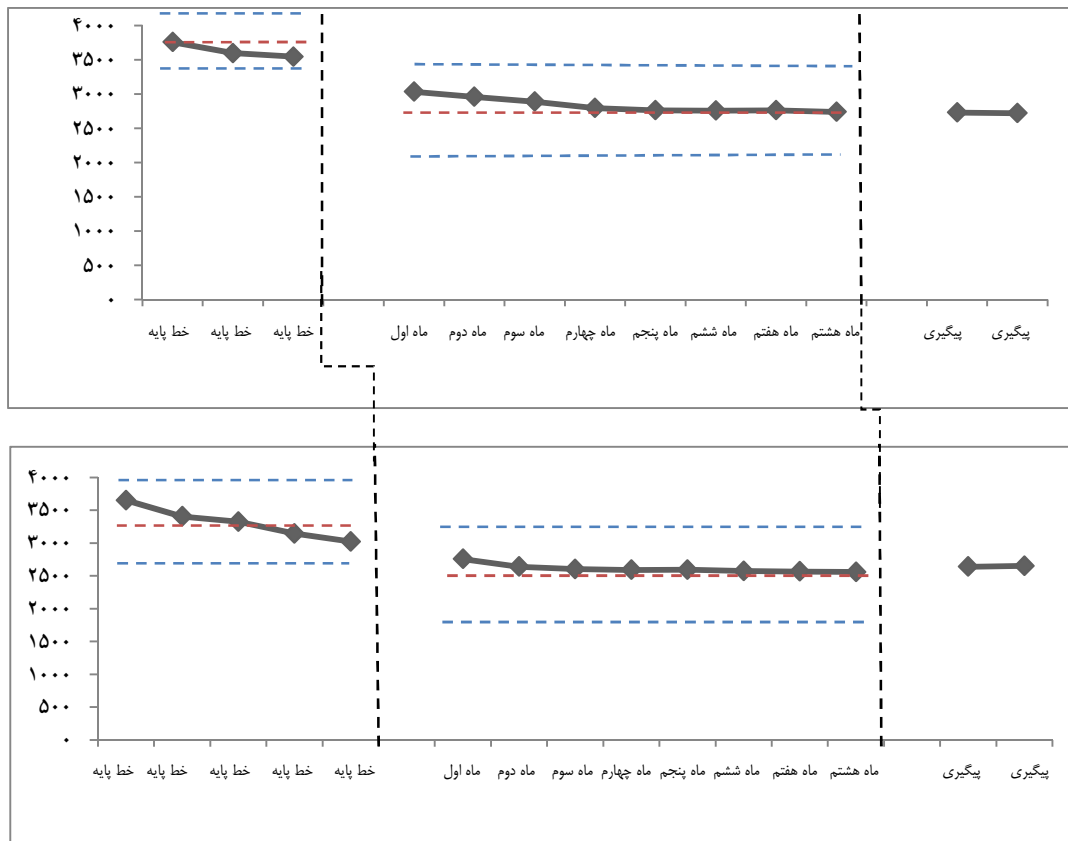
GH: Growth hormone; IGF¹: Insulin-like growth factor¹; IGFBP³: Insulin-like growth factor binding protein³



شکل ۱. مقادیر GH (Growth hormone) پلاسمای دو آزمودنی در موقعیت‌های خط پایه، مداخله و پیگیری



شکل ۲. مقادیر IGF1 (Insulin-like growth factor) پلاسمای دو آزمودنی در موقعیت‌های خط پایه، مداخله و پیگیری



شکل ۳. مقادیر IGFBP₃ (Insulin-like growth factor binding protein³) پلاسمای دو آزمودنی در موقعیت‌های خط پایه، مداخله و پیگیری

کردن (Split-midd) استفاده شد و محفظه‌ی ثبات خط روند بر اساس معیار ۸۰-۲۰ درصدی رسم شد. پس از رسم خط میانه و خط روند و محفظه‌ی ثبات آن‌ها، شاخص‌های آمار توصیفی مانند میانه و میانگین و شاخص‌های تحلیل دیداری درون موقعیتی و بین موقعیتی مانند تغییر سطح و روند و PND محاسبه شد. PND نشان دهنده‌ی درصد غیر همپوشی نقاط دو موقعیت آزمایشی (خط پایه و مداخله) است. میزان کنترل آزمایشی در پژوهش مورد منفرد، به تغییر سطح از یک موقعیت به موقعیت دیگر و درصد داده‌های غیر همپوش (PND) بستگی دارد؛ به این معنی که تغییرات اندک در مقادیر متغیر وابسته در طی مداخله‌ای که بعد از یک مسیر داده‌ی

برای تحلیل دیداری نمودار داده‌ها، پس از رسم نمودار برای هر آزمودنی، در مرحله‌ی اول با استفاده از میانه‌ی داده‌های موقعیت خط پایه و مداخله، خط میانه‌ی داده‌ها موازی با محور X کشیده شد و یک محفظه‌ی ثبات (Stability envelope) روی خط میانه قرار گرفت. محفظه‌ی ثبات یعنی دو خط موازی که یکی پایین و دیگری بالای خط میانه رسم شود. فاصله و دامنه‌ی بین دو خط، میزان بیرون افتادگی یا تغییر پذیری سری داده‌ها را نشان می‌دهد. با استفاده از معیار ۸۰-۲۰ درصدی، اگر ۸۰ درصد نقاط داده‌ها زیر یا درون ۲۰ درصد مقدار میانه (محفظه‌ی ثبات) قرار گیرند، گفته می‌شود داده‌ها ثبات دارد (۱). پس از آن، برای بررسی روند داده‌ها، از روش دو نیم

سطوح GH در جدول ۳ ذکر شده است. خط میانه، خط روند و محفظه‌ی ثبات آن‌ها برای دو آزمودنی در IGF1 پلاسما طبق شکل‌های ۶ و ۷ می‌باشد.

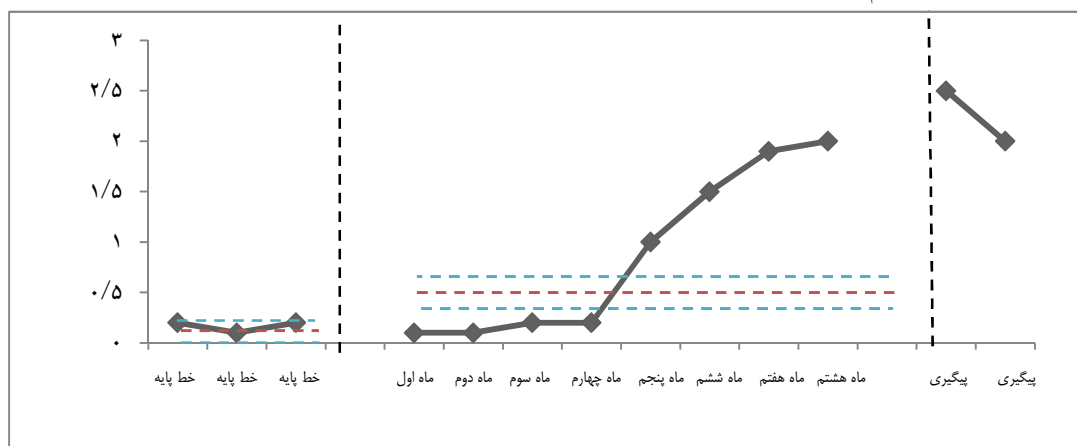
خلاصه‌ی نتایج تحلیل دیداری در دو آزمودنی در سطوح IGF1 در جدول ۴ ذکر شده است. خط میانه، خط روند و محفظه‌ی ثبات آن‌ها برای دو آزمودنی در IGF1 پلاسما طبق شکل‌های ۸ و ۹ می‌باشد.

خلاصه‌ی نتایج تحلیل دیداری در دو آزمودنی در سطوح IGF1 پلاسما در جدول ۵ آمده است.

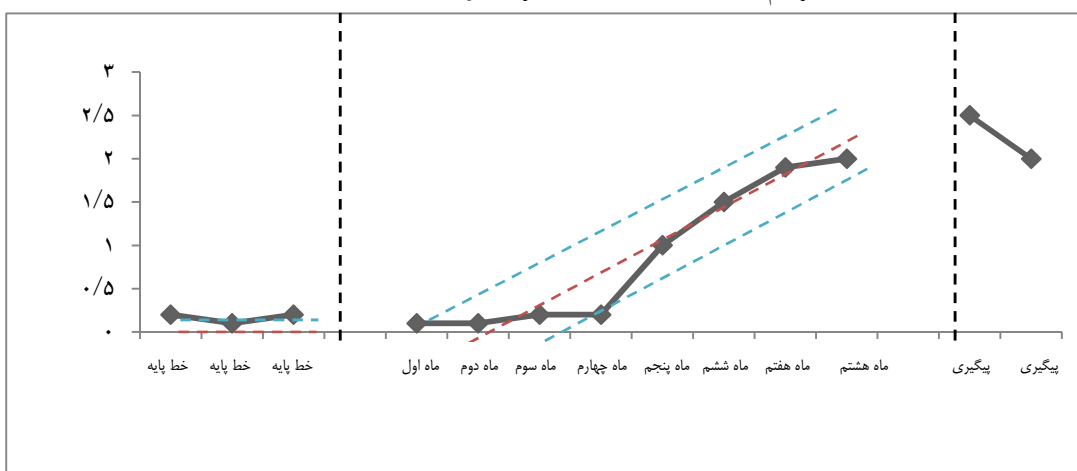
متغیر در موقعیت خط پایه قرار دارد، نسبت به تغییرات اندک در مداخله‌ای که ثبات در مسیر داده‌های خط پایه‌ی وجود داشته است، کنترل آزمایشی کمتری دارد. همچنین، هر چه PND بین دو موقعیت مجاور بالاتر (یا پایین‌تر) باشد، با اطمینان بیشتری می‌توان مداخله را اثربخش دانست. بر اساس تحلیل دیداری نمودار داده‌های دو آزمودنی در خط میانه، خط روند و محفظه‌ی ثبات آن‌ها در GH پلاسما به قرار زیر به دست آمد (شکل‌های ۴ و ۵).

خلاصه‌ی نتایج تحلیل دیداری در دو آزمودنی در

ترسیم خط میانه و محفظه‌ی ثبات برای نمودار داده‌های (Growth hormone) GH/SH

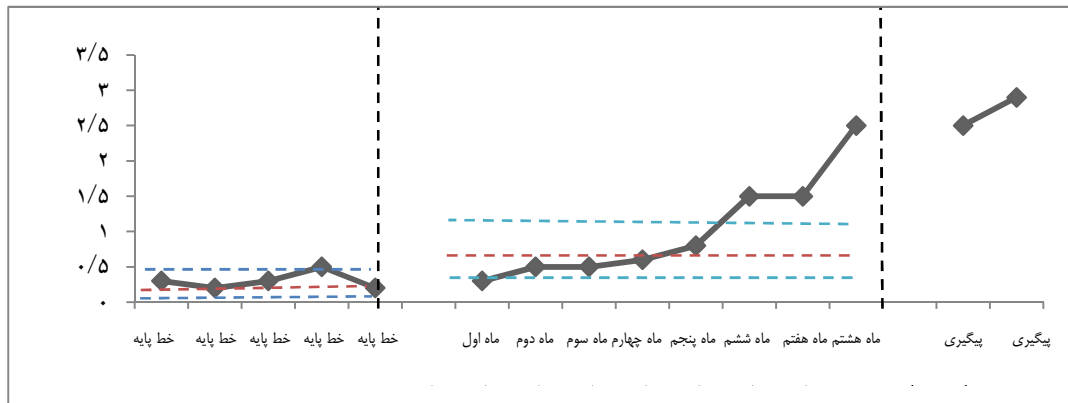


ترسیم خط روند و محفظه‌ی ثبات برای نمودار داده‌های GH/SH

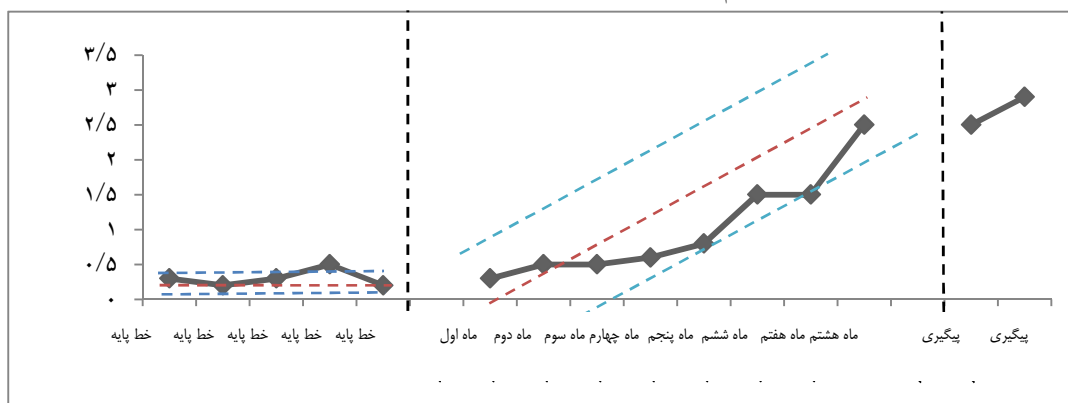


شکل ۴. خط میانه، خط روند و محفظه‌ی ثبات آزمودنی اول (ش-ص)

ترسیم خط میانه و محفظه‌ی ثابت برای داده‌های (Growth hormone) GH/F



ترسیم خط روند و محفظه‌ی ثابت برای داده‌های GH/F



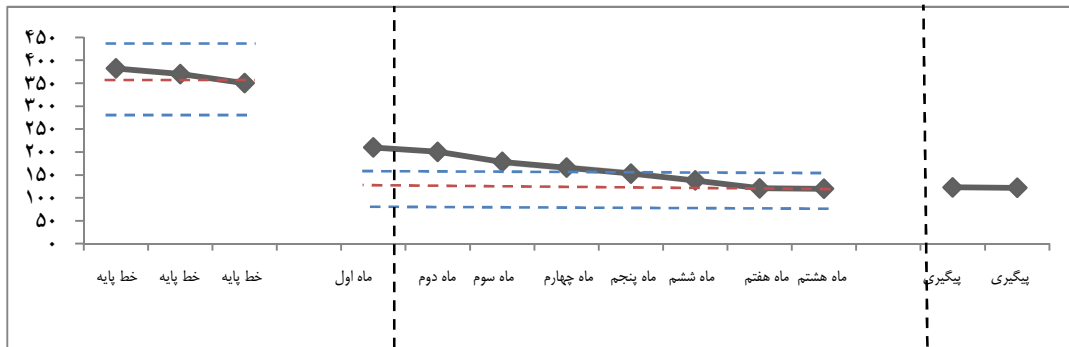
شکل ۵. خط میانه، خط روند و محفظه‌ی ثابت آزمودنی دوم (ف-ط)

جدول ۳. متغیرهای تحلیل دیداری درون موقعیتی و بین موقعیتی برای دو آزمودنی در (Growth hormone) GH پلاسما

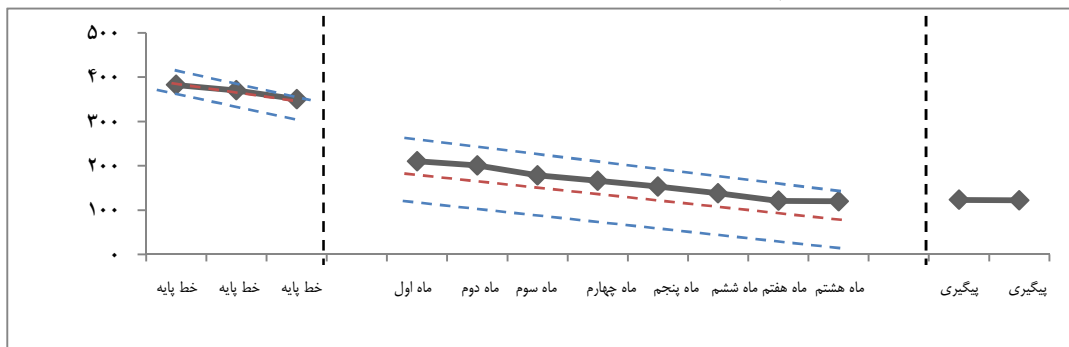
| بین موقعیت‌ها | | درون موقعیتی | | | | | |
|--------------------|--------------------|-------------------|---------|-----------|---------|---------------|------------------------------|
| مقایسه‌ی موقعیت | | B | | A | | توالی موقعیت | |
| B | A | دوم | اول | دوم | اول | آزمودنی‌ها | |
| دوم | اول | ۸ | ۸ | ۵ | ۳ | طول موقعیت‌ها | |
| تغییرات روند | تغییر جهت | | | | | سطح | |
| مثبت | مثبت | اثر وابسته به هدف | ۰/۷ | ۰/۶ | ۰/۳ | ۰/۲ | میانه |
| بائثبات به بااثبات | بائثبات به بااثبات | تغییر ثابت | ۱/۰۲ | ۰/۸۷ | ۰/۳ | ۰/۱۶ | میانگین |
| | تغییر در سطح | | ۰/۳-۲/۵ | ۰/۱-۲/۰ | ۰/۲-۰/۵ | ۰/۱-۰/۲ | دامنه‌ی تغییرات |
| ۰/۴ به ۰/۵ | ۰/۲ به ۰/۱۵ | تغییر نسبی | بی ثابت | بی ثابت | بائثبات | بائثبات | دامنه‌ی تغییرات محفظه‌ی ثابت |
| ۰/۳ به ۰/۵ | ۰/۲ به ۲/۰ | تغییر مطلق | | تغییر سطح | | | تغییر نسبی |
| ۰/۳ به ۰/۷ | ۰/۲ به ۰/۶ | تغییر میانه | ۰/۵-۱/۵ | ۰/۱-۱/۷ | ۰/۲-۰/۴ | ۰/۱-۰/۲ | تغییر مطلق |
| ۰/۳۰ به ۱/۰۲ | ۰/۱۶ به ۰/۸۷ | تغییر میانگین | ۰/۳-۲/۵ | ۰/۱-۲/۰ | ۰/۲-۰/۳ | ۰/۲-۰/۲ | روند |
| | همپوشی‌ها | | | | | | جهت |
| ٪۸۷ | ٪۷۵ | PND | صعودی | صعودی | هم سطح | هم سطح | ثبات |
| ٪۱۳ | ٪۲۵ | POD | بائثبات | بائثبات | بائثبات | بائثبات | مسیرهای چندگانه |
| | | | خیر | خیر | خیر | خیر | |

POD: Percentage of overlapping data; PND: Percentage of non-overlapping data

ترسیم خط میانه و محفظه ی ثابت برای نمودار داده های IGF1/SH (Insulin-like growth factor)

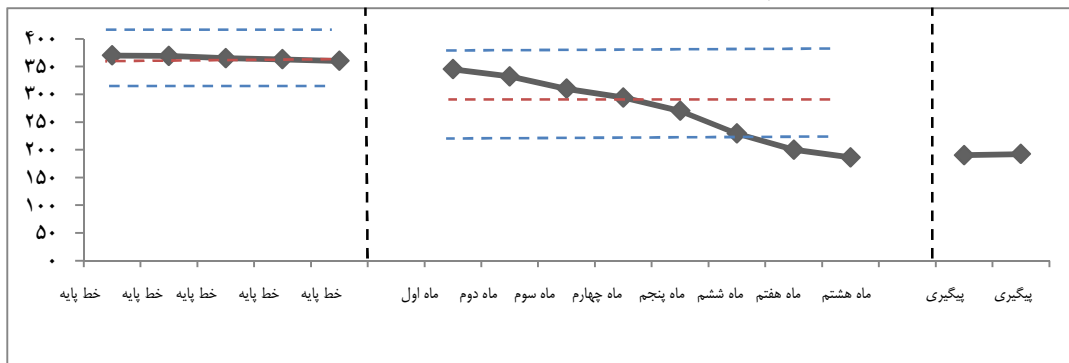


ترسیم خط روند و محفظه ی ثابت برای نمودار داده های IGF1/SH

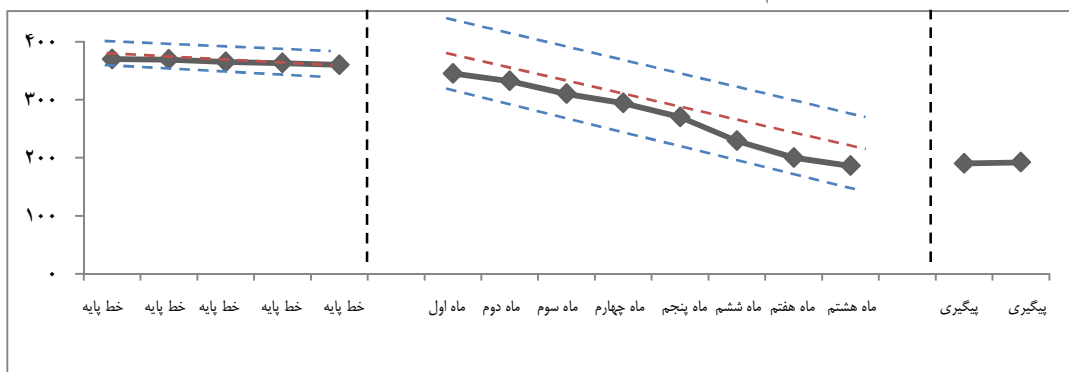


شکل ۶. خط میانه، خط روند و محفظه ی ثابت آزمودنی اول (ش-ص)

ترسیم خط میانه و محفظه ی ثابت برای نمودار داده های IGF1/F



ترسیم خط روند و محفظه ی ثابت برای نمودار داده های IGF1/F

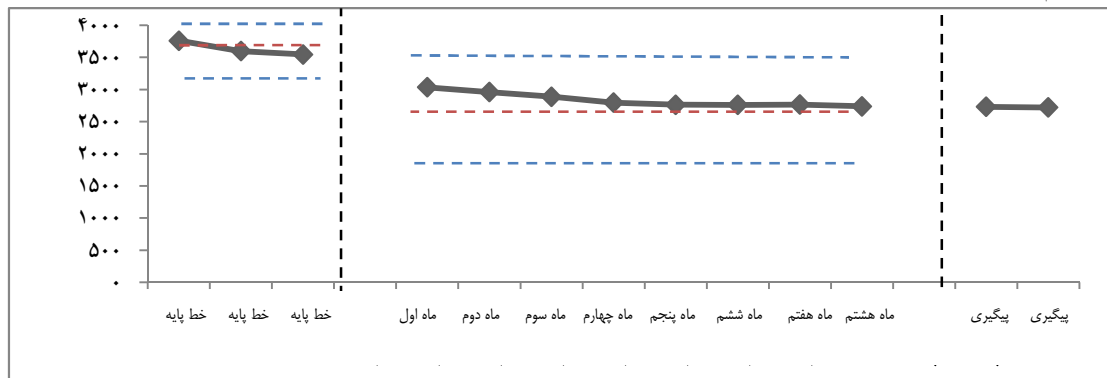


شکل ۷. خط میانه، خط روند و محفظه ی ثابت آزمودنی دوم (ف-ط)

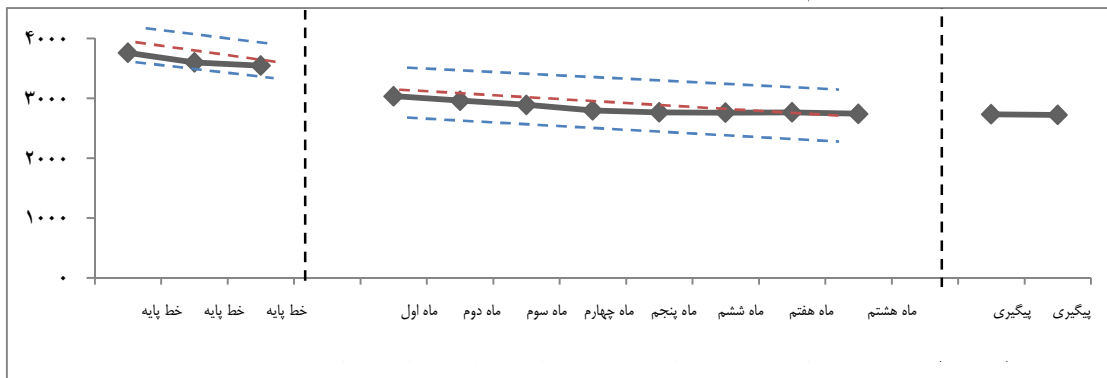
جدول ۴. متغیرهای تحلیل دیداری درون موقعیتی و بین موقعیتی برای دو آزمودنی در (IGF^۱ Insulin-like growth factor) پلازما

| بین موقعیت‌ها | | | درون موقعیتی | | | | |
|--------------------|--------------------|-------------------|--------------|-------------|------------|------------------------------------|----------------------------|
| مقایسه‌ی موقعیت | | آزمودنی | B | | A | | توالی موقعیت |
| B A | اول دوم | | اول دوم | اول دوم | اول دوم | آزمودنی‌ها طول موقعیت‌ها سطح | |
| تغییرات روند | تغییر جهت | | ۸ | ۸ | ۵ | ۳ | |
| منفی | منفی | اثر وابسته به هدف | ۲۸۲ | ۱۵۹ | ۳۶۵ | ۳۷۰ | میانه |
| بائثبات به بائثبات | بائثبات به بائثبات | تغییر ثبات | ۲۷۱ | ۱۶۰ | ۳۶۵.۴ | ۳۶۷.۴ | میانگین |
| تغییر در سطح | | تغییر نسبی | ۱۸۶-۳۴۵ | ۱۲۰-۲۱۰ | ۳۶۰-۳۷۰ | ۳۵۰-۳۸۲ | دامنه‌ی تغییرات |
| ۳۲۱ به ۳۸۲ | ۱۲۹ به ۳۸۲ | تغییر مطلق | بی ثبات | بی ثبات | بائثبات | بائثبات | دامنه‌ی تغییرات محفظه ثبات |
| ۳۴۵ به ۳۷۰ | ۲۱۰ به ۳۸۲ | تغییر میانه | ۲۱۴-۳۲۱ | ۱۲۹۰۵-۱۸۹۰۵ | ۳۶۲-۳۶۹۰۵ | ۳۶۰-۳۸۲۰۲ | تغییر سطح |
| ۲۸۲ به ۳۶۵ | ۱۵۹ به ۳۷۰ | تغییر میانگین | ۱۸۶-۳۴۵ | ۱۲۰-۲۱۰ | ۳۶۰-۳۷۰ | ۳۵۰-۳۸۲ | تغییر نسبی |
| ۲۷۱ به ۳۶۵ | ۱۶۱ به ۳۶۷ | همپوشی‌ها | | | | | تغییر مطلق |
| ٪۱۰۰ | ٪۱۰۰ | PND | نزولی | نزولی | نزولی | نزولی | روند |
| ٪۰ | ٪۰ | POD | بائثبات | بائثبات | بائثبات | بائثبات | جهت |
| | | | خیر | خیر | خیر | خیر | ثبات |
| | | | | | | | مسیرهای چندگانه |

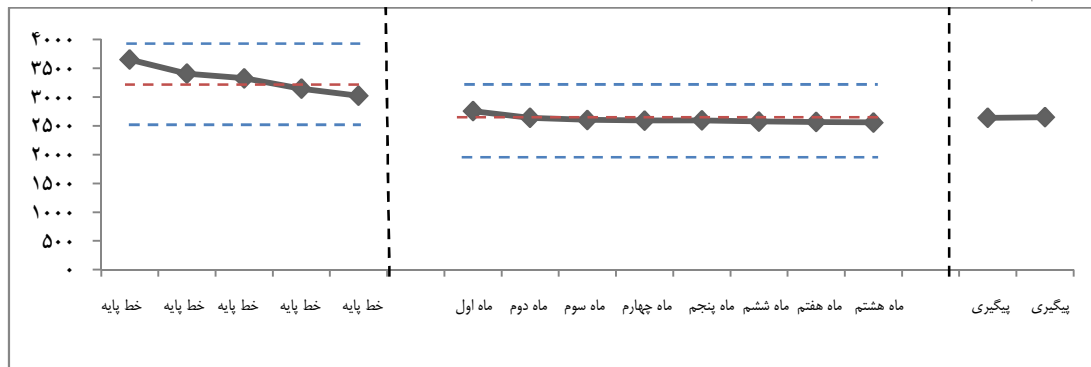
POD: Percentage of overlapping data; PND: Percentage of non-overlapping data

ترسیم خط میانه و محفظه‌ی ثبات برای نمودار داده‌های IGFBP3/SH (Insulin-like growth factor binding protein^۳)

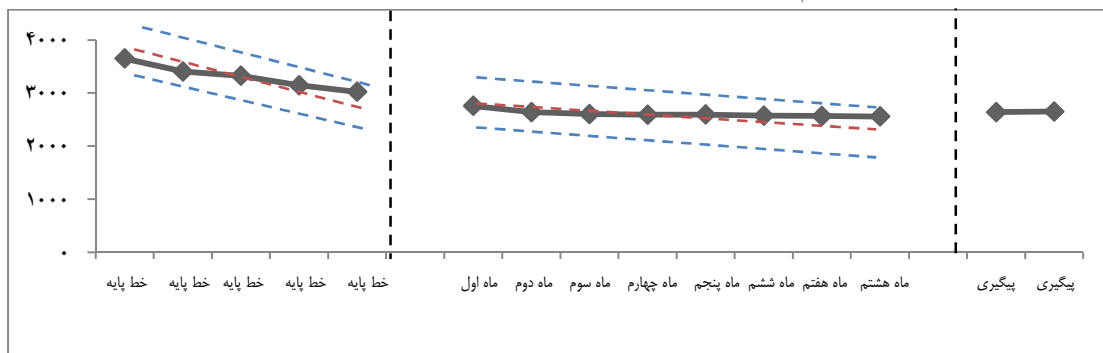
ترسیم خط روند و محفظه‌ی ثبات برای نمودار داده‌های IGFBP3/SH



شکل ۸. خط میانه، خط روند و محفظه‌ی ثبات آزمودنی اول (ش-ص)

ترسیم خط میانه و محافظه‌ی ثابت برای نمودار داده‌های IGFBP3/F (Insulin-like growth factor binding protein³)

ترسیم خط روند و محافظه‌ی ثابت برای نمودار داده‌های IGFBP3/F



شکل ۹. خط میانه، خط روند و محافظه‌ی ثابت آزمودنی دوم (ف-ط)

جدول ۵. متغیرهای تحلیل دیداری درون موقعیتی و بین موقعیتی برای دو آزمودنی در ۳ Insulin-like growth factor binding protein (IGFBP³)(IGFBP³)

| بین موقعیت‌ها | | | درون موقعیتی | | | | |
|------------------|------------------|-------------------|--------------|-----------|-----------|-----------|-------------------------------|
| B | A | مقایسه‌ی موقعیت | B | | A | | توالی موقعیتی |
| دوم | اول | آزمودنی | دوم | اول | دوم | اول | آزمودنی‌ها |
| | تغییرات روند | تغییر جهت | ۸ | ۸ | ۵ | ۳ | طول موقعیت‌ها |
| | | اثر وابسته به هدف | ۲۵۹۱ | ۲۷۸۱ | ۳۳۲۵ | ۳۵۹۹ | سطح |
| منفی | منفی | تغییر ثابت | ۲۶۱۰ | ۲۸۳۸ | ۳۳۰۹ | ۳۶۳۵ | میانه |
| باثبات به باثبات | باثبات به باثبات | تغییر مطلق | ۲۵۵۸-۲۷۵۶ | ۲۷۴۰-۳۰۳۵ | ۳۰۲۳-۳۶۵۰ | ۳۵۴۶-۳۷۶۰ | میانگین |
| تغییر در سطح | تغییر در سطح | تغییر نسبی | باثبات | باثبات | باثبات | باثبات | دامنه‌ی تغییرات |
| ۳۱۴۵ به ۲۶۲۱ | ۳۵۴۶ به ۲۶۲۴ | تغییر مطلق | ۲۴۱۰-۲۶۲۱ | ۲۶۴۲-۲۹۲۴ | ۳۱۴۵-۳۵۲۷ | ۳۵۴۶-۳۷۶۰ | دامنه‌ی تغییرات محافظه‌ی ثابت |
| ۳۶۵۰ به ۲۷۵۶ | ۳۷۶۰ به ۳۰۳۵ | تغییر میانگین | ۲۵۵۸-۲۷۵۶ | ۲۷۴۰-۳۰۳۵ | ۳۰۲۳-۳۶۵۰ | ۳۵۴۶-۳۷۶۰ | تغییر سطح |
| ۳۳۲۵ به ۲۵۹۱ | ۳۵۹۹ به ۲۷۸۱ | تغییر میانگین | ۲۵۵۸-۲۷۵۶ | ۲۷۴۰-۳۰۳۵ | ۳۰۲۳-۳۶۵۰ | ۳۵۴۶-۳۷۶۰ | تغییر نسبی |
| ۳۳۰۹ به ۲۶۱۰ | ۳۶۳۵ به ۲۸۳۸ | تغییر میانگین | ۲۵۵۸-۲۷۵۶ | ۲۷۴۰-۳۰۳۵ | ۳۰۲۳-۳۶۵۰ | ۳۵۴۶-۳۷۶۰ | تغییر مطلق |
| | همپوشی‌ها | | | | | | روند |
| ٪۱۰۰ | ٪۱۰۰ | PND | هم سطح | هم سطح | نزولی | نزولی | جهت |
| ٪۰ | ٪۰ | POD | باثبات | باثبات | باثبات | باثبات | ثبات |
| | | | خیر | خیر | خیر | خیر | مسیرهای چندگانه |

POD: Percentage of overlapping data; PND: Percentage of non-overlapping data

بحث

افزایش عوامل رشدی و آنابولیک برای کاهش هایپرمتابولیسم و کاتابولیسم عضلانی به منظور تسریع در ترمیم عضلات از دست رفته، بهبود سریع جراحات‌ها و کاهش ناراحتی‌ها و دردهای پس از سوختگی شدید، بدون استفاده از عمل‌های جراحی پرهزینه و متعدد از اهداف روش‌های درمانی سوختگی است.

جداول ۱ و ۲ داده‌های آزمودنی‌ها را قبل و پس اجرای مداخله نشان می‌دهد و در شکل‌های ۱، ۲ و ۳ نیز این داده‌ها به صورت مصور قابل مشاهده است. نتایج پژوهش حاضر نشان داد که ۸ ماه تمرین مقاومتی باعث افزایش سطوح در گردش GH در افراد مبتلا به سوختگی شدید شده است، اما افزایشی در سطوح IGF1 و IGFBP3 مشاهده نشد.

طبق شکل‌های ۴ و ۵ نقاط خط پایه، روندی نزولی و ثابت در GH پلاسمای دو آزمودنی نشان داده است. با شروع تمرین‌ها، تغییر زیادی در ۴ ماه اول در سطح و روند (طبق شاخص تغییر سطح و تغییر روند) نمرات ایجاد نشد؛ اما پس از آن روند، صعودی شد. روند نمرات از نزولی به صعودی تغییر یافت که این نشان دهنده‌ی اثربخشی تمرین بر GH پلاسمای این افراد بوده است.

همان‌گونه که در جدول ۳ آمده است، میانگین نمرات GH از ۰/۱۶ در خط پایه به ۰/۸۷ در مداخله در آزمودنی اول و از ۰/۳ به ۱/۰۲ در مداخله رسیده است که نشان دهنده‌ی افزایش سطوح GH در این دو آزمودنی شده است. همچنین شاخص PND نشان می‌دهد که همپوشی بین نقاط خط پایه و مداخله در آزمودنی اول ۰/۲۵ و در آزمودنی دوم ۰/۱۳ بوده

است و مداخله در اولین آزمودنی ۰/۷۵ و در دومین آزمودنی ۰/۸۷ مؤثر بوده است.

مطابق نتایج مطالعه‌ی Aili Low و همکاران (۱۱)، کاهش GH در گردش پس از سوختگی ادامه می‌یابد که با یافته‌های تحقیق حاضر در خط پایه‌ی آزمودنی‌ها همخوانی دارد و این کاهش، حتی در موقعیت مداخله با انجام تمرین‌ها در ماه‌های اول به چشم می‌خورد. طبق نتایج مطالعه‌ی Kraemer و Ratamess تمرین مقاومتی باعث افزایش GH در افراد سالم می‌شود (۲۴) که با نتایج پژوهش حاضر در افراد سوخته همخوانی دارد و افزایش GH در گردش ۴ ماه پس از انجام تمرین‌ها شروع شده است؛ احتمال می‌رود در ۴ ماه ابتدایی مداخله، شرکت در تمرین‌های مقاومتی از کاهش بیشتر و مداوم GH پس از سوختگی جلوگیری کرده است.

تزریق GH به تنهایی موجب افزایش ۲۰ برابری در تولید IGF1 mRNA در عضله‌ی اسکلتی نسبت به تزریق IGF1 به تنهایی (افزایش ۲/۵ برابری) می‌شود که ممکن است مربوط به مکانیزم تنظیم تراکم عضله‌ی اسکلتی باشد؛ زیرا افزایش سطوح اتوکرین/ پاراکرین IGF1 نشان می‌دهد که مهم‌تر از سیستم IGF1 در گردش است (۸). بنابراین، در مطالعه‌ی حاضر نیز افزایش GH ممکن است موجب افزایش IGF1 درون عضلانی و در نتیجه، افزایش سنتز پروتئین در عضلاتی که مورد تمرین قرار گرفته‌اند شود. اما از محدودیت‌های این تحقیق این است که تغییرات IGF1 عضلانی بررسی نشد.

پرداختن به فعالیت بدنی باعث ترشح GH می‌شود که از طریق خون به کبد و سایر بافت‌ها می‌رود و تولید IGF1 را امکان‌پذیر می‌سازد. IGF1

آزمودنی ۱۰۰ درصد بوده، اما اثر مداخله در دو آزمودنی در جهت هدف نبوده است.

طبق شکل های ۸ و ۹ نقاط خط پایه ی IGFBP۳ پلاسما، روندی نزولی برای دو آزمودنی داشته است؛ با شروع تمرین در ابتدا روند نزولی برای دو آزمودنی مشاهده می شود (طبق شاخص تغییر سطح و تغییر روند)؛ اما پس از آن روند به صورت ثابت ادامه یافته است. روند نمرات از نزولی به هم سطح بوده است؛ که این نشان دهنده ی اثربخشی تمرین بر سطح IGFBP۳ پلاسما ی این افراد بوده است. شاید تمرین ها از روند نزولی IGFBP۳ و کاهش بیش از حد آن جلوگیری کرده است.

همان گونه که در جدول ۵ آمده است، میانگین نمرات IGFBP۳ از ۳۶۳۵ در خط پایه به ۲۸۳۸/۷ در مداخله ی آزمودنی اول و از ۳۳۰۹/۶ به ۲۶۱۰ در مداخله ی آزمودنی دوم رسیده است، که نشان دهنده ی کاهش سطح IGFBP۳ در این دو آزمودنی شده است. همچنین شاخص PND نشان می دهد که عدم همپوشی بین نقاط خط پایه و مداخله در هر دو آزمودنی ۱۰۰ درصد بوده است؛ اما مداخله در دو آزمودنی در خلاف جهت درمان پیش رفته است. احتمال می رود چون IGFBP۳ یک واسطه برای اعمال IGF۱ می باشد، سطوح در گردش IGF۱ با تبدیل بیشتر به IGFBP۳ برای ایجاد آثار آنابولیک عضلانی کاهش یافته است و تمرین ها اگر چه باعث افزایش معنی دار در سطح IGFBP۳ در گردش نشده است؛ اما ممکن است از روند نزولی آن نسبت به خط پایه جلوگیری کرده باشد.

کاهش مقدار IGF۱ و IGFBP۳ پلاسما نیز طبق گزارش های مختلف (۱۴، ۳)، پس از سوختگی در

نیز اثر آنابولیکی خود را به طور مستقیم روی بافت های گوناگون اعمال می کند (۳۰).

GH به عنوان یک میتوزن برای فیبروبلاست شناخته شده است. افزایش تحریک فیبروبلاست می تواند به طور بالقوه باعث شکل گرفتن بیشتر آن شود و منجر به التیام اثر زخم در سوختگی گردد. اثر زخم بعد از ۲-۴ سال پس از سوختگی، کاهش معنی داری نشان داد. بر اساس گزارش یک پژوهش، ۱۲-۲۴ ساعت پس از درمان با IGF۱ مشاهده شد که مهاجرت سلول های اپی تلیال در زخم، ۲/۵-۲/۰ برابر افزایش یافته است (۲۱).

در مطالعات صادقی بروجردی و رحیمی (۲۸) و مرندی و همکاران (۳۰) افزایش معنی داری در GH پس از یک جلسه تمرین مشاهده شده است که می توان نتیجه گرفت که GH در پاسخ به تمرین مقاومتی که شدت لازم را اعمال کرده باشد، افزایش می یابد.

طبق شکل های ۶ و ۷ نقاط خط پایه ی IGF۱ پلاسما در آزمودنی اول روندی نزولی و در آزمودنی دوم روندی ثابت داشته است؛ با شروع تمرین باز هم روند نزولی برای دو آزمودنی مشاهده می شود (طبق شاخص تغییر سطح و تغییر روند). روند نمرات از نزولی به نزولی بوده است؛ که این نشان دهنده ی عدم اثربخشی تمرین بر IGF۱ پلاسما ی این افراد بوده است. همان گونه که در جدول ۴ آمده است، میانگین نمرات IGF۱ از ۳۶۷/۴ در خط پایه به ۱۶۰/۸ در مداخله ی آزمودنی اول و از ۳۶۵/۴ به ۲۷۰/۷۵ در مداخله ی آزمودنی دوم رسیده است، که نشان دهنده ی کاهش سطح IGF۱ در این دو آزمودنی است. همچنین شاخص PND نشان می دهد که عدم همپوشی بین نقاط خط پایه و مداخله در هر دو

IGFBP₃ توسط GH تنظیم می‌گردد و باعث افزایش سنتز پروتئین می‌شود (۲۲).

طبق نتایج پژوهش حاضر به نظر می‌رسد تمرین مقاومتی بتواند باعث افزایش تولید IGF₁ در عضلات درگیر در تمرین‌ها شود و سنتز پروتئین عضلانی را افزایش دهد. همچنین به دلیل افزایش هورمون‌های کاتابولیکی و هایپرمتابولیسم پس از سوختگی شدید، ممکن است تمرین‌ها موجب کاهش سطوح هورمون‌های کاتابولیک شود که اندازه‌گیری آن در تحقیقات آینده توصیه می‌شود.

از آن جایی که نمونه‌گیری خونی در صبح و در حالت ناشتا بود، با توجه به این که IGF₁ و IGFBP₃ در گردش پلازما در طول شبانه روز متغیر است و به دنبال گرسنگی‌های طولانی کاهش می‌یابد، شاید کاهش IGF₁ و IGFBP₃ در این مطالعه در طول انجام تمرین‌ها، به علت زمان نمونه‌گیری باشد که می‌تواند به عنوان یک متغیر اثرگذار در تحقیقات آینده مورد بررسی قرار گیرد.

همچنین در مطالعات مختلف با شدت‌ها و حجم‌های متفاوت، تمرین‌های پاسخ IGF₁ و IGFBP₃ به تمرین در آزمودنی‌های مختلف، متفاوت بوده است؛ در نتیجه، ممکن است کاهش سطوح IGF₁ در آزمودنی‌های پژوهش به خاطر بیماری و شرایط خاص آن‌ها باشد.

تشکر و قدردانی

با تشکر از بیمارستان سوانح سوختگی شهر اصفهان به ویژه بخش فیزیوتراپی و آزمایشگاه بیمارستان که همکاری‌های کافی و لازم را در تمام طول طرح مبذول داشتند.

بیماران وجود دارد که این کاهش در خط پایه‌ی آزمودنی‌های این مطالعه وجود داشت. سطوح کم IGFBP₃ در بیمارانی که GH ندارند، ممکن است باعث نیمه‌ی عمر کوتاه‌تر IGF₁ و کاهش اثرات القای پروتئین شود (۸). افزایش در سطوح IGF₁ و IGFBP₃ پس از تمرین مقاومتی در مردان و زنان مشاهده شده است؛ اما در مطالعه‌ای دیگر، کاهش IGFBP₃، بدون هیچ تفاوتی در سطوح پایه‌ی IGF₁ و IGFBP₃ قبل و پس از انجام تمرین‌ها مشاهده شده است (۲۰).

در همین راستا، مطالعات دیگر نیز تفاوتی در IGF₁ و IGFBP₃ را در نتیجه‌ی انجام تمرین‌های متفاوت با آزمودنی‌های مختلف نشان نداده‌اند (۲۰). بر این اساس، افزایش ۱۲ درصدی در IGF₁ و ۲۰ درصدی در IGFBP₃ در طول ۴ ماه تمرین در دوچرخه سواران مشاهده شد، اما در افراد غیر فعال هم‌تا این گونه نبود. همچنین، افزایش غلظت IGF₁ را بیشتر از ۷۶ درصد و IGFBP₃ را از ۹۰-۳۰ درصد در شناگران دانشجویی بعد از ۴ ماه تمرین استقامتی نشان دادند (۲۰).

در مقابل این مطالعات، تعدادی از محققان افزایش در IGF₁ و IGFBP₃ را پس از تمرین استقامتی یا مقاومتی مشاهده نکردند. این مطالعات در رابطه با آزمودنی‌ها و پروتکل مورد استفاده در هر مطالعه متفاوت بوده است. همچنین بسیاری از مطالعات مرتبط با IGF₁ انرژی دریافتی را کنترل نکردند؛ در صورتی که اثر آن روی غلظت سرم IGF₁ و IGFBP₃ نشان داده شده است. بنابراین ممکن است یک آستانه‌ای برای مشاهده‌ی تغییر در غلظت IGF₁ سرم لازم باشد (۲۰). به هر حال، سطوح IGF₁ و

References

1. Williams C. Assessment and management of pediatric burn injuries. *Nurs Stand* 2011; 25(25): 60-8.
2. Balasubramaniam A, Wood S, Joshi R, Su C, Friend LA, Sheriff S, et al. Ghrelin stimulates food intake and growth hormone release in rats with thermal injury: synthesis of ghrelin. *Peptides* 2006; 27(7): 1624-31.
3. Jeschke MG, Chinkes DL, Finnerty CC, Kulp G, Suman OE, Norbury WB, et al. Pathophysiologic response to severe burn injury. *Ann Surg* 2008; 248(3): 387-401.
4. Demling RH. Comparison of the anabolic effects and complications of human growth hormone and the testosterone analog, oxandrolone, after severe burn injury. *Burns* 1999; 25(3): 215-21.
5. Mlcak RP, Suman OE, Murphy K, Herndon DN. Effects of growth hormone on anthropometric measurements and cardiac function in children with thermal injury. *Burns* 2005; 31(1): 60-6.
6. Ormsbee M, Clapper JA, Clapper J, Vukovich MD. Moderate changes in energy balance combined with exercise do not alter insulin-like growth factor I or insulin-like growth factor binding protein 3. *Nutrition Research* 2006; 26(9): 467-73.
7. Newsome TW, Mason AD, Pruitt BA. Weight loss following thermal injury. *Ann Surg* 1973; 178(2): 215-7.
8. Edelman LS, McNaught T, Chan GM, Morris SE. Sustained bone mineral density changes after burn injury. *J Surg Res* 2003; 114(2): 172-8.
9. Suman OE, Herndon DN. Effects of cessation of a structured and supervised exercise conditioning program on lean mass and muscle strength in severely burned children. *Arch Phys Med Rehabil* 2007; 88(12 Suppl 2): S24-S29.
10. Yasuhara S, Kaneki M, Sugita H, Sugita M, Asai A, Sahani N, et al. Adipocyte apoptosis after burn injury is associated with altered fat metabolism. *J Burn Care Res* 2006; 27(3): 367-76.
11. Aili Low JF, Barrow RE, Mittendorfer B, Jeschke MG, Chinkes DL, Herndon DN. The effect of short-term growth hormone treatment on growth and energy expenditure in burned children. *Burns* 2001; 27(5): 447-52.
12. Low JF, Herndon DN, Barrow RE. Effect of growth hormone on growth delay in burned children: a 3-year follow-up study. *Lancet* 1999; 354(9192): 1789.
13. Krogh J, Nordentoft M, Mohammad-Nezhad M, Westrin A. Growth hormone, prolactin and cortisol response to exercise in patients with depression. *J Affect Disord* 2010; 125(1-3): 189-97.
14. Lang Ch, Nystrom GJ, Frost RA. Burn-induced changes in IGF-I and IGF-binding proteins are partially glucocorticoid dependent. *Am J Physiol* 2002; 51(1): 207-15.
15. Tarpenning KM, Wiswell RA, Hawkins SA, Marcell TJ. Influence of weight training exercise and modification of hormonal response on skeletal muscle growth. *J Sci Med Sport* 2001; 4(4): 431-46.
16. Velloso CP. Regulation of muscle mass by growth hormone and IGF-I. *Br J Pharmacol* 2008; 154(3): 557-68.
17. De Palo EF, Gatti R, Lancerin F, Cappellin E, Spinella P. Correlations of growth hormone (GH) and insulin-like growth factor I (IGF-I): effects of exercise and abuse by athletes. *Clin Chim Acta* 2001; 305(1-2): 1-17.
18. Aleman A, Torres-Aleman I. Circulating insulin-like growth factor I and cognitive function: neuromodulation throughout the lifespan. *Prog Neurobiol* 2009; 89(3): 256-65.
19. Suetta Ch, Clemmensen C, Andersen JL, Magnusson SP, Schjerling P, Kjaer M. Coordinated increase in skeletal muscle fiber area and expression of IGF-I with resistance exercise in elderly post-operative patients. *Growth Horm IGF Res* 2010; 20(2): 134-40.
20. Wahl P, Zinner C, Achtzehn S, Bloch W, Mester J. Effect of high- and low-intensity exercise and metabolic acidosis on levels of GH, IGF-I, IGFBP-3 and cortisol. *Growth Horm IGF Res* 2010; 20(5): 380-5.
21. Lal SO, Wolf SE, Herndon DN. Growth hormone, burns and tissue healing. *Growth Horm IGF Res* 2000; 1(Suppl B): S39-S43.
22. Fang CH, Li BG, Wang JJ, Fischer JE, Hasselgren PO. Treatment of burned rats with insulin-like growth factor I inhibits the catabolic response in skeletal muscle. *Am J Physiol* 1998; 275(4 Pt 2): R1091-R1098.
23. Fukushima R, Saito H, Inoue T, Fukatsu K, Inaba T, Han I, et al. Prophylactic treatment with growth hormone and insulin-like growth factor I improve systemic bacterial clearance and survival in a murine model of burn-induced gut-derived sepsis. *Burns* 1999; 25(5): 425-30.
24. Kraemer WJ, Ratamess NA. Hormonal responses and adaptations to resistance exercise and training. *Sports Med* 2005; 35(4): 339-61.
25. Stokes K. Growth hormone responses to sub-maximal and sprint exercise. *Growth Horm IGF Res* 2003; 13(5): 225-38.
26. Gharakhanlou R, Saremi A, Omidfar K, Sharghi S, Gheraati MR. The effect of resistance training on myostatin, GASPI, IGF1 and

- IGFBP3 serum Levels in young man. *Journal of Movement Science and Sports* 2009; 7(13): 67-80. [In Persian].
27. Ben OO, Elloumi M, Zouhal H, Makni E, Denguezli M, Amri M, et al. Effect of individualized exercise training combined with diet restriction on inflammatory markers and IGF-1/IGFBP-3 in obese children. *Ann Nutr Metab* 2010; 56(4): 260-6.
28. Sadeghi-Boroujerdi S, Rahimi R. GH and IGF-1 hormone response to the fierce resistance of two different volume resting between sets. *Olympic* 2009; 17(1): 57-68. [In Persian].
29. Rajabi H, Razmjo S, Jannati M, Zarifi I. Response relationship of insulin-like growth factor and creatine kinase after a six-week session, and resistance training pyramid and reverse pyramid of athletic girls. *Olympic* 2010; 18(2): 29-42. [In Persian].
30. Marandi M, Mohebi H, Gharakhanlo R, Naderi Gh. Reactions IGFBPS, IGF1, GH and testosterone in a strenuous physical activity sessions. *Olympic* 2004; 12(4): 7-15. [In Persian].
31. Alloju SM, Herndon DN, McEntire SJ, Suman OE. Assessment of muscle function in severely burned children. *Burns* 2008; 34(4): 452-9.
32. Melchert-McKearnan K, Deitz J, Engel JM, White O. Children with burn injuries: purposeful activity versus rote exercise. *Am J Occup Ther* 2000; 54(4): 381-90.
33. Farahani H, Abedi A, Aghamohammadi S, Kazemi S. Single subject researches methodology in behavioral sciences and medicine (approach-applied). Tehran, Iran: Danjeh Publication; 2010. [In Persian].

The Effect of Eight Months of Resistive Training on Growth hormone, Insulin-Like Growth Factor1 and Insulin-like Growth Factor Binding Protein3 Plasma Levels in Patients with Severe Burns

Nasim Behzadnezhad MSc¹, Sayyed Mohammad Marandi PhD², Fahimeh Esfarjani PhD³, Ahmad Abedi PhD⁴, Fereshteh Bardia MSc¹

Original Article

Abstract

Background: The aim of this study was to investigate the effect of eight months of resistive training on growth hormone (GH), insulin-like growth factor1 (IGF1), and insulin-like growth factor binding protein3 (IGFBP3) plasma levels in patients with severe burns.

Methods: The research method used in this study was of the individual-case type with multiple base lines for the participants. The examinees of this study included two women with severe burns (third degree) in the age range of 20 to 30 years confined in the Central Accidents and Burns Hospital, Isfahan, Iran. After determining the base-line position, the participants were entered into the project in a ladder step-by-step format. During the 8 months of individual intervention, they did the resistive training and one month after the finishing of the intervention period, they were put under follow-up examinations for 2 months. The measuring tool for this study was the blood tests taken for measuring GH, IGF1, and IGFBP3 plasma levels, which were taken at the fasting morning time and 24 hours after the exercises at the end of each month.

Findings: Based on the visual analysis and descriptive statistical indexes, the resistive training in both examinees had caused a significant change in the GH, IGF1 and IGFBP3 plasma levels; as the percentage of non-overlapping data (PND) was 75% for the first and 87.5% for the second examinee in GH level, and 100% for both examinees in IGF1 and IGFBP3 levels.

Conclusion: It seems that long-term resistive training can cause elevation of the plasma level of some growth factors in patients with severe burns or it can prevent the reverse process and intense decline in these factors after the burn takes place. In addition, it would make these patients become free of the need for frequent surgeries and using different equipments.

Keywords: Burn, Growth hormone (GH), Insulin-like growth factor1 (IGF1), Insulin-like growth factor binding protein3 (IGFBP3), Resistive exercise, Single subject research

Citation: Behzadnezhad N, Marandi SM, Esfarjani F, Abedi A, Bardia F. **The Effect of Eight Months of Resistive Training on Growth hormone, Insulin-Like Growth Factor1 and Insulin-like Growth Factor Binding Protein3 Plasma Levels in Patients with Severe Burns.** J Isfahan Med Sch 2014; 32(279): 388-407

1- Department of Exercise Physiology, School of Physical Education and Sport Science, University of Isfahan, Isfahan, Iran

2- Associate Professor, Department of Exercise Physiology, School of Physical Education and Sport Science, University of Isfahan, Isfahan, Iran

3- Assistant Professor, Department of Exercise Physiology, School of Physical Education and Sport Science, University of Isfahan, Isfahan, Iran

4- Assistant Professor, Department of Psychology of Exceptional Children, School of Education Sciences and Psychology, University of Isfahan, Isfahan, Iran

Corresponding Author: Nasim Behzadnezhad MSc, Email: nasrin_behzadnezhad@yahoo.com

نقش ریز مغذی‌ها در فعالیت بیماری آرتريت روماتوئيد

دکتر سپیده حجازی^۱، دکتر کامیلا هاشم‌زاده^۲، دکتر مریم صاحباری^۱

مقاله مروری

چکیده

مقدمه: آرتريت روماتوئيد یک بیماری اتوایمیون با علت ناشناخته است. عوامل اتیولوژیک متعددی در پاتوژنز این بیماری مؤثرند که به طور معمول ناشی از عوامل التهابی می‌باشند. ریز مغذی‌ها شامل روی مس، سلنیوم، مس، سلنیوم از اجزای اساسی آنزیم‌ها در مسیر اکسیداتیو هستند که نقش اساسی در پیشگیری از استرس‌های اکسیداتیو سلولی ناشی از سوپر اکسیدازها و رادیکال‌های آزاد دارند. این مطالعه به بررسی رابطه‌ی سطح سرمی این اجزا با فعالیت آرتريت روماتوئيد پرداخت.

روش‌ها: این مطالعه به بررسی رابطه‌ی سطح سرمی ریزمغذی‌ها با فعالیت آرتريت روماتوئيد پرداخته است. بدین منظور جست و جوی الکترونیکی مقالات در پایگاه‌های اطلاعاتی با کلید واژه‌های مرتبط و بدون محدودیت زمانی صورت گرفت.

یافته‌ها: سطح سرمی سلنیوم روی و نسبت روی به مس در بیماران آرتريت روماتوئيد نسبت به افراد هم‌سن و هم‌جنس سالم پایین‌تر بود؛ اما میزان سطح سرمی روی یک ارتباط مثبت با میزان آلومین سرم و یک ارتباط منفی با مدت زمان بیماری داشت. همچنین میزان مس سرم ارتباط مثبتی با فعالیت بیماری داشت، اما ارتباطی بین سطح سرمی مس با سن و جنس وجود نداشت. همچنین بین سطح سرمی پایین سلنیوم با تعداد مفاصل درگیر ارتباط وجود داشت.

نتیجه‌گیری: به نظر می‌رسد ذخیره‌ی عناصر کمیاب در بدن با ابتلا به آرتريت روماتوئيد و فعالیت بیماری در ارتباط باشد.

واژگان کلیدی: آرتريت روماتوئيد، DAS28، سلنیوم، روی، مس، نسبت روی به مس، آلومین، سرولوپلاسمین، عناصر کمیاب

ارجاع: حجازی سپیده، هاشم‌زاده کامیلا، صاحباری مریم. نقش ریز مغذی‌ها در فعالیت بیماری آرتريت روماتوئيد. مجله دانشکده پزشکی

اصفهان ۱۳۹۳؛ ۳۲ (۲۷۹): ۴۰۸-۴۱۵

مقدمه

بیماری آرتريت روماتوئيد یکی از شایع‌ترین بیماری‌های خودایمنی مزمن است که ۱-۵٪ درصد جمعیت بزرگسال جهان را درگیر کرده است (۱). درمان زودرس بیماری آرتريت روماتوئيد، هم جهت جلوگیری از تخریب غیر قابل برگشت مفاصل و هم جهت بهبود پیش‌آگهی بیماری ضروری است (۲).

عوامل متعددی در بیماری‌زایی آن نقش دارند. عناصر کمیاب سلنیوم، روی و مس اجزای چندین آنزیم بنیادی در مسیرهای اکسیداتیو می‌باشند که نقش محوری در جلوگیری از استرس اکسیداتیو سلولی ناشی از رادیکال‌های آزاد و سوپراکسیدها دارند. اهمیت عناصر کمیاب در بیماری‌های التهابی مزمن مرتبط با عوامل عملکرد سیستم ایمنی و متابولیک

۱- استادیار، گروه داخلی، دانشکده‌ی پزشکی، دانشگاه علوم پزشکی مشهد، مشهد، ایران

۲- روماتولوژیست، گروه داخلی، دانشکده‌ی پزشکی، دانشگاه علوم پزشکی مشهد، مشهد، ایران

یافته‌ها

ریز مغذی‌ها به عنوان مواد معدنی تعریف می‌شوند که به میزان ۱۰۰-۱ میلی‌گرم در روز در بالغین مورد نیازند و کمتر از ۰/۰۱ درصد از وزن کلی بدن را در بر می‌گیرند که شامل آهن، روی، مس و منگنز، فلوراید و سلنیوم می‌باشند که محتوای این ریز مغذی‌ها در طی مسیر بیشتر التهاب‌ها و عفونت‌ها تغییر می‌کند. البته هنوز به طور قطعی مشخص نشده است که این تغییرات، به علت تغذیه‌ی ناکافی است یا به علت عدم تعادل بین پاسخ التهابی ارگان‌هایی که توسط سیتوکین‌ها تنظیم می‌شود (۴).

مس

مس نقش مهمی در ساختمان بسیاری از آنزیم‌های بدن دارد. کمبود مس شامل علائمی از جمله خستگی، شکل غیر طبیعی مو، دیپگمانتاسیون پوست، ضعف عضلانی و اختلالات عصبی، ادم و بزرگی کبد و طحال، پوکی استخوان و تظاهرات خونی کمبود مس مانند آنمی میکروسیتیک، نوتروپنی و ترومبوسیتوپنی می‌شود (۵). به طور تقریبی در همه‌ی مطالعاتی که به بررسی سطح سرمی مس در بیماران آرتريت روماتويد پرداخته‌اند، افزایش مشخص در سطح سرمی مس در گروه مورد در مقایسه با شاهد مشاهده شده است (۱۰-۳)؛ به استثنای مطالعه‌ی علا و همکاران که سطح سرمی مس بین گروه مورد و شاهد تفاوت آماری معنی‌دار نداشت (P = ۰/۱۵) (۱۱).

افزایش ساخت واکنشگرهای فاز حاد در جریان التهاب، شاید توضیح دهنده‌ی افزایش مس در بیماران آرتريت روماتويد باشد. مس، نقش مهمی در عملکرد بسیاری از آنزیم‌ها ایفا می‌کند و کمبود آن می‌تواند سبب اختلال عملکرد آنزیم‌های پراکسیداز و

مختلف در مفاصل می‌باشد که ضرورت بررسی این عناصر در بیماری‌های التهابی از جمله آرتريت روماتويد را ایجاد می‌کند (۳).

این مقاله‌ی مروری به مقایسه‌ی مطالعات مختلف در این خصوص می‌پردازد تا مشخص شود آیا ارتباطی بین سطح سرمی مس، روی، سلنیوم، سرولوپلاسمین و آلبومین با فعالیت بیماری روماتويد آرتريت وجود دارد و آیا تفاوتی در سطوح سرمی عناصر کمیاب در بیماران مبتلا به روماتويد آرتريت در مقایسه با افراد سالم وجود دارد.

روش‌ها

جستجوی الکترونیکی مقالات انگلیسی و فارسی در پایگاه‌های اطلاعاتی SID, Pub Med, Scopus و Google scholar با ترکیبات مختلفی از کلید واژه‌های مرتبط و بدون محدودیت زمانی صورت گرفت. برای بالا بردن حساسیت در جستجو از کلمات کلیدی آرتريت روماتويد، DAS۲۸، سلنیوم، روی، مس و سرولوپلاسمین و عناصر کمیاب و معادل انگلیسی آن‌ها (منطبق بر Mesh) استفاده گردید. در ابتدا، لیستی از عناوین و چکیده‌ی مقالات موجود در پایگاه‌های مورد بررسی تهیه و سپس بر اساس معیارهای ورود، وارد مطالعه شدند. معیار ورود به مطالعه شامل مطالعاتی بود که بر روی بیماران مبتلا به بیماری آرتريت روماتويد صورت گرفته بود و به بررسی سطوح سرمی عناصر کمیاب در آن‌ها پرداخته بود. معیارهای خروج از مطالعه شامل تحقیقات انجام شده بر روی افراد زیر ۱۸ سال و دارا بودن سایر بیماری‌های خود ایمنی و مطالعات غیر مرتبط با سؤال پژوهش بودند.

(Differential ability scales) و متغیرهای وابسته به DAS یافت نشد. بنابراین سطح سرمی روی معیار مناسبی برای تعیین شدت بیماری نمی‌باشد، اما رابطه‌ی معکوس با مدت بیماری می‌تواند داشته باشد (۱۰). تغییرات در سطح سرمی روی در بیماری آرتریت روماتوئید می‌تواند نشانه‌ای از تغییرات در مدیاتورهای لوکوسیت‌ها باشد (LEM یا Leukocyte endogenous mediator). از طرفی، ۶۰ درصد روی به آلبومین و درصد کمی نیز به آمینواسیدها به خصوص هیستیدین باند می‌شود و سطح پایین سرمی روی در بیماران آرتریت روماتوئید می‌تواند مرتبط با افزایش سطح گلوبولین و کاهش سطح آلبومین باشد و از این رو، مطرح کننده‌ی این است که سطح سرمی روی ارتباط معنی‌داری با سطح سرمی آلبومین در بیماران آرتریت روماتوئید دارد و درمان‌های ضد التهابی شاید در افزایش سطح سرمی روی مؤثر باشند (۱۰).

نسبت روی به مس

نسبت روی به مس در برخی از مطالعات گذشته بررسی شده است و ارتباط این نسبت با بیماری RA (Rheumatoid Arthritis) اثبات شده است (۱۱). اکثر مطالعات کاهش سطح سرمی روی به مس را نشان داده‌اند. این مسأله می‌تواند ناشی از کاهش روی یا افزایش سطح سرمی مس و یا هر دو عامل در افراد تحت مطالعه باشد (۱۴). در مطالعه‌ی Mazzetti و همکاران بین نسبت روی به مس و سطح عامل روماتوئید رابطه‌ی معکوس وجود داشت (۱۵). مطالعات بر وجود رابطه بین تغییر نسبت روی به مس و آترواسکلروز زودرس در افراد تأکید نموده‌اند. این مسأله می‌تواند مسیر جدیدی در تحقیق این رابطه در

کاتالاز شود. به نظر می‌رسد که مس به عنوان یک عامل نشان دهنده‌ی التهاب در بدن، یا به علت آزادسازی بیشتر مس از کبد یا تغییر نسبت مس باند نشده به سرولوپلاسمین و مس باند شده به سرولوپلاسمین عمل کند (۱۲).

در مطالعات متعدد افزایش سطح سرمی مس با فعالیت بیماری ارتباط مثبتی داشته است و مس را به عنوان نشانگر فعالیت بیماری مطرح کرده‌اند (۱۲) و به ویژه ESR (Erythrocyte sedimentation rate) و افزایش سطح سرمی مس با تعداد مفاصل دردناک نیز ارتباط مستقیم دارد. سطح سرمی مس در گروه‌های سنی مختلف تفاوت معنی‌داری ندارد (۷) و همچنین ارتباطی با مدت بیماری و جنسیت وجود ندارد (۱۳).

روی

روی یک عنصر حیاتی برای استحکام بخشیدن ساختمان غشای سلولی و عملکرد آن با اثر آنتی‌اکسیدانی است که غشای سلولی را از لیپیدهای غیر اشباع و سیتوکین‌های التهابی محافظت می‌کند. پایین بودن سطح سرمی روی در بیماران آرتریت روماتوئید مطرح کننده‌ی ارتباط معکوس بین سطح سرمی روی و عوامل التهابی است. البته دریافت روزانه‌ی این عناصر در رژیم غذایی نیز مؤثر است (۸) و با توجه به اثبات پایین بودن روی در بیماران در اکثر مطالعات، می‌توان مکمل‌های روی را به عنوان قسمتی از درمان بیماران آرتریت روماتوئید در نظر گرفت که نیاز به تحقیقات بیشتر را می‌طلبد. مصرف مکمل‌های روی به همراه رژیم غنی از سبزیجات و میوه‌جات ممکن است اثر پیشگیری کننده از آرتریت روماتوئید داشته باشد (۹). در بررسی‌های انجام شده همبستگی بین سطح سرمی روی و عدد DAS

بیماران مبتلا به آرتريت روماتويد باشد.

سرولوپلاسمين

از آن جا که سرولوپلاسمين یک پروتئين التهابی و واکنش دهنده‌ی فاز حاد است، انتظار می‌رود که در بیماری‌های التهابی از جمله آرتريت روماتويد بالا رود و از طرف دیگر، سرولوپلاسمين یک آنتی اکسیدان مهم سرمی است که انواع رادیکال‌های آزاد مشتق از اکسیژن را خنثی می‌کند. مکانیسم آنتی اکسیدان‌ها پیچیده و چند عاملی است، اما سرولوپلاسمين مهم‌ترین عامل آنتی اکسیدان در سطح خارجی سلولی است. عملکرد محافظتی سرولوپلاسمين بدین گونه است که بدون لپره کردن رادیکال‌های آزاد اکسیژن به عنوان آنزيم فروکسیداز سبب کاتالیز آهن دو ظرفیتی به آهن سه ظرفیتی می‌شود. بنابراین به نظر می‌رسد فعالیت فروکسیداز سرولوپلاسمين ارتباط مثبتی با فعالیت اکسیدازی دارد (۱۶).

سطح سرمی سرولوپلاسمين با شدت بیماری و فعالیت بیماری رابطه‌ای ندارد؛ هر چند با ESR همبستگی مستقیمی یافت شده است که نشان دهنده‌ی نقش سرولوپلاسمين در ایجاد التهاب و یا یک نشانگر سرمی التهاب می‌باشد (۱۶-۱۷). افزایش مس باند نشده با سرولوپلاسمين سبب افزایش مس آزاد در بیماران آرتريت روماتويد می‌شود، یعنی افزایش غلظت سرمی مس به علت شکستن مس باند شده به سرولوپلاسمين می‌باشد. افزایش مس و سرولوپلاسمين به عنوان یک پاسخ ضد التهابی ذاتی در بیماری آرتريت روماتويد و دیگر بیماری‌های مفاصل نظر گرفته می‌شود.

سلنیوم

سلنیوم جزء اساسی و ضروری آنزيم گلوتاتیون

پراکسیداز است که در کنار سوپراکسید دسموتاز دو بازوی قوی پیشگیری از آسیب‌های اکسیداتیو سلولی‌اند و دیده شده است که فعالیت گلوتاتیون پراکسیداز هم مثل سوپراکسید دسموتاز با فعال شدن بیماری آرتريت روماتويد کاهش می‌یابد. سلنیوم اثر ضد تزایدی و ضد التهابی دارد و اثرات آنتی ویرال و تغییر سیستم ایمنی نیز در آن اثبات شده است (۸).

در اکثر مطالعات انجام شده، سطح سرمی سلنیوم در گروه مورد به طور مشخص پایین‌تر از گروه شاهد بوده است (۱۸، ۸)، اما تنها در بعضی از پژوهش‌ها مشاهده شده است که با افزایش شدت بیماری، سطح سلنیوم کاهش بیشتری می‌یابد (۸). در یک مطالعه‌ی هم‌گروهی در فنلاند بر روی ۱۸۷۰۹ نفر افراد سالم به مدت ۱۷ سال، ۱۲۲ نفر دچار آرتريت روماتويد شدند که سطح سرمی سلنیوم پایه در آن‌ها اختلاف معنی‌داری را با سایرین نشان می‌داد (۱۹). Tarp و همکاران در مطالعه‌ای به مقایسه‌ی سطح سلنیوم در سرم و گلبول‌های سفید و قرمز و پلاکت در بیماران و گروه شاهد پس از تجویز مکمل سلنیوم پرداختند و افزایش سلنیوم در گروه بیماران در تمام موارد فوق به استثنای لکوسیت‌های پلی مورفونوکلتر مشاهده شد (۲۰). در مطالعه‌ی دیگری، سطح سرمی سلنیوم در بیماران مبتلا به آرتريت روماتويد پایین بود و ارتباط معنی‌داری بین سطح سلنیوم سرم و تعداد مفاصل درگیر وجود داشت، اما بین سطح سرمی سلنیوم و مدت بیماری و سفتی صبحگاهی و CRP (C-reactive protein) و ESR و تیتراژ عامل روماتويد ارتباط معنی‌داری وجود نداشت (۲۱). نتایج برخی از مطالعات انجام شده در جدول ۱ ملاحظه می‌شود.

جدول ۱. خلاصه‌ای از مقالات استخراج شده توسط موتورهای جستجو

| نام مطالعه | سال | تعداد | متغیرهای مورد بررسی | نتایج |
|--------------------------------|------|---------------------------------------|-----------------------------------|---|
| Scudder و همکاران (۲۲) | ۱۹۷۸ | | سطح سرمی مس و سرولوپلاسمین | بین سطح سرمی مس و سرولوپلاسمین با فعالیت بیماری ارتباط معنی داری وجود داشت. |
| Banford و همکاران (۲۶) | ۱۹۸۲ | ۸۵ مورد ۴۹ شاهد | سطح سرمی مس، روی و سرولوپلاسمین | - ارتباط معنی دار بین سطح سرمی مس و فعالیت بیماری - افزایش سرولوپلاسمین در گروه مورد - عدم ارتباط بین سطح سرمی مس با روی |
| Youssef و همکاران (۱۳) | ۱۹۸۳ | ۶۰ مورد ۱۴ شاهد | سطح سرمی مس | بین سطح سرمی مس با فعالیت بیماری ارتباط معنی داری وجود داشت، اما با سن و جنس و مدت بیماری مرتبط نبود (۱۳). |
| Zoli و همکاران (۲۴) | ۱۹۹۸ | ۵۷ مورد | سطح سرمی مس و روی | ارتباط مستقیم ESR و CRP با سطح سرمی مس و ارتباط معکوس ESR و CRP با سطح سرمی روی وجود داشت. |
| Mussalo- و Rauhama همکاران (۳) | ۱۹۹۸ | ۶۰ مورد | سطح سرمی مس و روی | کاهش سطح سرمی روی در بیماران معنی دار بود؛ اما با سن ارتباطی نداشت. ارتباط معنی دار بین سطح سرمی مس در بیماران و افزایش آن با سن وجود داشت. |
| Yazar و همکاران (۲۳) | ۲۰۰۵ | ۲۵ مورد ۲۵ شاهد | سطح سرمی مس و روی و سلینیوم | _ کاهش معنی دار غلظت سلینیوم _ عدم اختلاف معنی دار در غلظت روی - کاهش معنی دار سطح سرمی روی در بیماران |
| علا و همکاران (۱۱) | ۲۰۰۷ | ۴۰ مورد ۴۰ شاهد | سطح سرمی مس و روی | - عدم اختلاف معنی دار در غلظت مس - کاهش معنی دار نسبت روی به مس در گروه مورد نسبت به گروه شاهد کاهش معنی دار در سطح سرمی روی و افزایش سطح سرمی مس نسبت به گروه شاهد وجود داشت. |
| Taneja و Mandal (۴) | ۲۰۰۹ | ۴۹ مورد ۴۹ شاهد | سطح سرمی مس و روی | سطح سرمی روی در بیماران پایین بود و بین سطح سرمی روی با ESR ارتباط معکوس وجود داشت. |
| Balogh و همکاران (۱۲) | ۱۹۸۰ | | سطح سرمی روی | افزایش نسبت مس به روی در بیماران نسبت به گروه شاهد وجود داشت و نسبت سطح سرمی مس به روی با سطح سرمی RF ارتباط مستقیم داشت. |
| Mazzetti و همکاران (۱۵) | ۱۹۹۶ | | نسبت مس به روی | سطح سرمی مس و سرولوپلاسمین در بیماران به طور مشخصی بالا بود. |
| Confort و همکاران (۱۶) | ۱۹۸۳ | ۸۸ مورد | سطح مس و سرولوپلاسمین سرم | سطح سرمی مس و سرولوپلاسمین در بیماران به طور مشخصی بالا بود. |
| Louro و همکاران (۲۵) | ۲۰۰۰ | ۴۰ مورد | سطح مس و سرولوپلاسمین سرم | سطح سرمی مس و سرولوپلاسمین در بیماران به طور مشخصی بالا بود. |
| Tarp و همکاران (۲۰) | ۱۹۸۵ | | سطح سرمی سلینیوم | سطح سرمی سلینیوم در بیماران پایین بود و ارتباط معنی داری بین سطح سلینیوم سرم و تعداد مفاصل درگیر وجود داشت، اما بین سطح سرمی سلینیوم و مدت بیماری و سفتی صبحگاهی و CRP ESR و تیتراژ عامل روماتوئید ارتباط معنی داری وجود نداشت. |
| O'Dell و همکاران (۸) | ۱۹۹۱ | ۱۰۱ مورد RF مثبت و ۲۱ مورد RF منفی | سطح سرمی سلینیوم | سطح سرمی سلینیوم در بیماران پایین بود و ارتباط معنی داری بین سطح سلینیوم سرم و فعالیت بیماری وجود داشت و سطح سرمی سلینیوم در بیماران RF مثبت نسبت به بیماران RF منفی پایین تر بود. |
| Tarp (۲۰) | ۱۹۹۴ | | سطح سرمی سلینیوم | سطح سرمی سلینیوم در بیماران پایین بود، اما ارتباطی بین تجویز سلینیوم و سطح سلینیوم لکوسیتی نسبت به گروه شاهد مشاهده نشد. |
| Heinle و همکاران (۲۷) | ۱۹۹۷ | ۷۰ مورد | غلظت سلینیوم در اریتروسیت بیماران | غلظت سلینیوم در اریتروسیت بیماران کاهش یافته بود. |
| Mierzecki و همکاران (۱۰) | ۲۰۱۱ | ۷۴ مورد ۳۰ شاهد | سطح سرمی و اریتروسیتی روی | رابطه‌ی معکوس بین سطح سرمی روی و مدت زمان بیماری وجود داشت. |

ESR: Erythrocyte sedimentation rate; CRP: C-reactive protein; RF: Rheumatoid factor

نتیجه‌گیری

به طور خلاصه، در مطالعات انجام شده تفاوت سطوح سرمی عناصر کمیاب مانند مس، روی، سلنیوم و سرولوپلاسمین بین بیماران مبتلا به آرتريت روماتويد و افراد سالم بررسی شد. نتیجه‌ی مطالعات نشان داد که متوسط سطوح سرمی سلنیوم و روی در افراد سالم بیشتر از بیماران بود و متوسط سطوح سرمی سرولوپلاسمین و مس در بیماران از گروه شاهد بیشتر بود.

در بررسی رابطه‌ی متغیرهای پیش‌گفته با فعالیت بیماری، هیچ نوع همبستگی بین عناصر کمیاب و

شدت بیماری یافت نشد؛ به جز سطح سرمی مس که با فعالیت بیماری، ESR و تعداد مفاصل دردناک ارتباط مستقیم داشت. بنابراین به نظر می‌رسد ذخیره‌ی عناصر کمیاب در بدن با ابتلا به بیماری و فعالیت بیماری در ارتباط باشد. مطالعات مقطعی قدرت پیش‌گویی علت و معلولی بودن این روابط را ندارد و مطالعات هم‌گروهی در این زمینه، می‌تواند این مسأله را روشن کند. هر چند سطوح به دست آمده مربوط به مس در برخی از مطالعات حساسیت بالایی در تشخیص بیماران مبتلا به آرتريت روماتويد دارد و ممکن است در آینده کاربرد بالینی پیدا کند.

References

- Pazirandeh S, Burns D, Griffin I. Overview of dietary trace minerals. UpToDate [Online]. 2012. [cited 2012 Feb 8]; Available from: URL: <http://www.uptodate.com/contents/overview-of-dietary-trace-minerals>.
- Johnson MA, Kays SE. Copper: its role in human nutrition. Nutrition Today. 1990; 25(1): 6.
- Mussalo-Rauhamaa H, Kontinen YT, Lehto J, Honkanen V. Predictive clinical and laboratory parameters for serum zinc and copper in rheumatoid arthritis. Ann Rheum Dis 1988; 47(10): 816-9.
- National Research Council. Recommended dietary allowances. 10th ed. Washington, DC: National Academy Press; 1989.
- Combs GF, Jr., Gray WP. Chemopreventive agents: selenium. Pharmacol Ther 1998; 79(3): 179-92.
- Waterworth C. Arthritis and Selenium [Online]. [cited 2012]; Available from: URL: <http://www.livestrong.com/article/433568-arthritis-selenium>
- Brown DH, Buchanan WW, el-Ghobarey AF, Smith WE, Teape J. Serum copper and its relationship to clinical symptoms in rheumatoid arthritis. Ann Rheum Dis 1979; 38(2): 174-6.
- O'Dell JR, Lemley-Gillespie S, Palmer WR, Weaver AL, Moore GF, Klassen LW. Serum selenium concentrations in rheumatoid arthritis. Ann Rheum Dis 1991; 50(6): 376-8.
- Cerhan JR, Saag KG, Merlino LA, Mikuls TR, Criswell LA. Antioxidant micronutrients and risk of rheumatoid arthritis in a cohort of older women. Am J Epidemiol 2003; 157(4): 345-54.
- Mierzecki A, Strecker D, Radomska K. A pilot study on zinc levels in patients with rheumatoid arthritis. Biol Trace Elem Res 2011; 143(2): 854-62.
- Ala S, Shokrzadeh M, Pur Shoja AM, Saeedi Saravi SS. Zinc and copper plasma concentrations in rheumatoid arthritis patients from a selected population in Iran. Pak J Biol Sci 2009; 12(14): 1041-4.
- Balogh Z, el-Ghobarey AF, Fell GS, Brown DH, Dunlop J, Dick WC. Plasma zinc and its relationship to clinical symptoms and drug treatment in rheumatoid arthritis. Ann Rheum Dis 1980; 39(4): 329-32.
- Youssef AA, Wood B, Baron DN. Serum copper: a marker of disease activity in rheumatoid arthritis. J Clin Pathol 1983; 36(1): 14-7.
- Taneja SK, Mandal R. Assessment of mineral status (Zn, Cu, Mg and Mn) in rheumatoid arthritis patients in Chandigarh, India. Rheumatology Reports. 2009;1(1): 16-20.
- Mazzetti I, Grigolo B, Borzi RM, Meliconi R, Facchini A. Serum copper/zinc superoxide dismutase levels in patients with rheumatoid arthritis. Int J Clin Lab Res 1996; 26(4): 245-9.
- Conforti A, Franco L, Menegale G, Milanino R, Piemonte G, Velo GP. Serum copper and ceruloplasmin levels in rheumatoid arthritis and degenerative joint disease and their

- pharmacological implications. *Pharmacol Res Commun* 1983; 15(9): 859-67.
17. Felson DT, Smolen JS, Wells G, Zhang B, van Tuyl LH, Funovits J, et al. American College of Rheumatology/European League Against Rheumatism provisional definition of remission in rheumatoid arthritis for clinical trials. *Arthritis Rheum* 2011; 63(3): 573-86.
 18. Levander O, Burk R. Selenium. In: Ziegler EE, Filer LJ, editors. *Present knowledge in nutrition*. Washington, DC: International Life Sciences Institute Press; 1996. p. 320-97.
 19. Knekt P, Heliovaara M, Aho K, Alfthan G, Marniemi J, Aromaa A. Serum selenium, serum alpha-tocopherol, and the risk of rheumatoid arthritis. *Epidemiology* 2000; 11(4): 402-5.
 20. Tarp U, Overvad K, Hansen JC, Thorling EB. Low selenium level in severe rheumatoid arthritis. *Scand J Rheumatol* 1985; 14(2): 97-101.
 21. Tarp U. Selenium and the selenium-dependent glutathione peroxidase in rheumatoid arthritis. *Dan Med Bull* 1994; 41(3): 264-74.
 22. Scudder PR, Al-Timimi D, McMurray W, White AG, Zoob BC, Dormandy TL. Serum copper and related variables in rheumatoid arthritis. *Ann Rheum Dis* 1978; 37(1): 67-70.
 23. Yazar M, Sarban S, Kocyigit A, Isikan UE. Synovial fluid and plasma selenium, copper, zinc, and iron concentrations in patients with rheumatoid arthritis and osteoarthritis. *Biol Trace Elem Res* 2005; 106(2): 123-32.
 24. Zoli A, Altomonte L, Caricchio R, Galossi A, Mirone L, Ruffini MP, et al. Serum zinc and copper in active rheumatoid arthritis: correlation with interleukin 1 beta and tumour necrosis factor alpha. *Clin Rheumatol* 1998; 17(5): 378-82.
 25. Louro MO, Cocho JA, Mera A, Tutor JC. Immunochemical and enzymatic study of ceruloplasmin in rheumatoid arthritis. *J Trace Elem Med Biol* 2000; 14(3): 174-8.
 26. Banford JC, Brown DH, Hazelton RA, McNeil CJ, Sturrock RD, Smith WE. Serum copper and erythrocyte superoxide dismutase in rheumatoid arthritis. *Ann Rheum Dis* 1982; 41(5): 458-62.
 27. Heinle K, Adam A, Gradl M, Wiseman M, Adam O. Selenium concentration in erythrocytes of patients with rheumatoid arthritis. Clinical and laboratory chemistry infection markers during administration of selenium. *Med Klin (Munich)* 1997; 92(Suppl 3): 29-31. [In German].

Role of the Trace Elements in Rheumatoid Arthritis

Sepideh Hejazi MD¹, Kamila Hashemzadeh MD², Maryam Sahebari MD¹

Review Article

Abstract

Background: Rheumatoid arthritis (RA) is an autoimmune disease with unknown origin. Several etiologic factors have been attributed to the pathogenesis of RA, which is substantially derived by inflammatory factor. Trace elements (TE) including selenium, zinc and copper are components of several fundamental enzymes in the oxidative pathways which play crucial role in the prevention of cellular oxidative stress induced by superoxides and free radicals.

Methods: The current study aimed to assess the relationship between serum values of the trace elements and RA disease activity. On this purpose, searching of available electronic databanks by relative keywords and without any time limitation performed.

Findings: The serum levels of selenium, zinc, and zinc/copper ratio in patients with RA were lower than those values in age- and sex-matched healthy control individuals; but zinc had a positive correlation with serum levels of albumin and negative relation with disease duration. Furthermore, copper was positively correlated to disease activity and there was no association between serum level of copper and age or gender. There was a relationship between lower values of selenium and number of affected joints in RA.

Conclusion: It can be concluded that there is a relationship between serum values of trace elements and RA development and disease activity.

Keywords: Rheumatoid arthritis, DAS28, Selenium, Zinc, Copper, Zinc to copper ratio, Albumin, Ceruloplasmin, Trace elements

Citation: Hejazi S, Hashemzadeh K, Sahebari M. **Role of the Trace Elements in Rheumatoid Arthritis.** J Isfahan Med Sch 2014; 32(279): 408-15

1- Assistant Professor, Department of Internal Medicine, School of Medicine, Mashhad University of Medical Sciences, Mashhad, Iran
2- Rheumatologist, Department of Internal Medicine, School of Medicine, Mashhad University of Medical Sciences, Mashhad, Iran
Corresponding Author: Maryam Sahebari MD, Email: sahebarim@mums.ac.ir

errors author should verify references against the original documents. The Reference should provide the following information as stated in the presented models as follows:

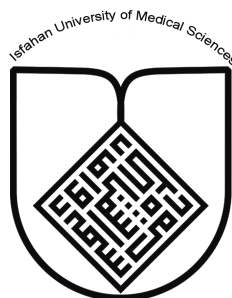
- a. **Article:** Rose ME, Huerbin MB, Melick J, Marion DW, Palmer AM, Schiding JK, et al. Regulation of interstitial excitatory amino acid concentrations after cortical contusion injury. *Brain Res.* 2002;935(1-2):40-6.
 - b. **Chapter in a book:** Meltzer PS, Kallioniemi A, Trent JM. Chromosome alterations in human solid tumors. In: Vogelstein B, Kinzler KW, editors. *The genetic basis of human cancer.* New York: McGraw-Hill; 2002. p. 93-113.
 - c. **Book:** Murray PR, Rosenthal KS, Kobayashi GS, Pfaller MA. *Medical microbiology.* 4th ed. St. Louis: Mosby; 2002.
14. **Proof Reading:** A computer prints out is sent to the corresponding author for proof reading before publication in order to avoid any mistakes. Corrections should be marked clearly and sent immediately to the Journal office.
 15. **Abbreviations and symbols:** Use only standard abbreviations. **Avoid using them in the title and abstract.** The full term for which an abbreviation stands should precede its first use in the text unless it is a standard unit of measurement.
 16. The **corresponding author:** Will be supplied with 1 free issue.
 17. **Ethical guidelines:** Ethical considerations must be addressed in the Materials and Methods. Please state that **informed consent** was obtained from all human adult participants and from the parents or legal guardians of minors. Include the name of the appropriate institutional review board that approved the project. Indicate in the text that the maintenance and care of experimental animals complies with National Institutes of Health guidelines for the humane use of laboratory animals, or those of your Institute or agency.
 18. **Conflicts of interest:** Authors must acknowledge and declare any sources of funding and potential conflicting interest, such as receiving funds or fees by, or holding stocks and shares in, an organization that may profit or lose through publication of your paper. Declaring a competing interest will not lead to automatic rejection of the paper, but we would like to be made aware of it.
 19. **Page charges:** There are no charges for publication in this Journal.
 20. **Copyright:** The entire contents of the Journal of Isfahan Medical School are protected under international copyrights. This Journal is for your personal noncommercial use. You may not modify copy, distribute, transmit, display, or publish any materials contained on the Journal without the prior written permission of it or the appropriate copyright owner.
 21. **Peer review process:** All manuscripts are considered to be confidential. They are peer-reviewed by at least 3 anonymous reviewers selected by the Editorial Board. The corresponding author is notified as soon as possible of the editor decision to accept, reject, or require modifications. If the manuscript is completely acceptable according to the criteria set forth in these instructions, it is scheduled for the next available issue.
 22. Journal has entire right for accept or reject any of received manuscripts.
 23. The editors, editorial board, sponsoring organization, and publisher do not accept responsibility for the statements expressed by authors in their contributions.
 24. **Communicating with the Editorial Office:** We encourage you to communicate with the JIMS Editorial Office and to check on the status of a manuscript via journal site: (<http://journals.mui.ac.ir/jims>) only. For more in formations you can contact with JIMS office via E-mail address (jims@med.mui.ac.ir).

INSTRUCTION TO AUTHORS

1. **Aims and Scope:** The Journal of Isfahan Medical School is the official scientific **weekly** publication of the Faculty of Medicine in Isfahan Medical Sciences University.
This Journal accepts Original Papers, Review Articles, Case Reports, Short Communications, Educational Medical Video Clips and Letters to the Editor on all aspects of medicine.
2. Manuscript **Submission is acceptable only via Journal URL: <http://journals.mui.ac.ir/jims>**
Manuscript must be accompanied by a covering letter to the Editor-in-Chief, including title and author(s) name and undertaking that it has not been published or submitted elsewhere. In case the manuscript was earlier submitted to some other Journal and was rejected, the authors must provide full information for proper analysis. Manuscript should be typed in double space of the A-4 size paper with clear margins on both sides. The text should be submitted in Microsoft Word format only. Tables as well as illustrations should be typed and drawn on a separate pages. Do not submit tables as photographs.
The figures should be sent in a format of JPEG or GIF which will produce high quality images in the online edition of the journal. Authors must declare that it is being exclusively contributed to the Journal of Isfahan Medical School.
3. The manuscript should include: **Title page**, the **Abstract** (in both Farsi and English), **Introduction, Materials & Methods, Results, Discussion, Acknowledgement and References**.
4. **The title page:** The complete title of the manuscript, the name of all the authors with their highest qualifications, the department or institution to which they are attached, address for correspondence with telephone numbers, e-mail, and Fax number.
5. The **Abstract:** All original articles must accompany a structured abstract up to 250 words. It should be structured as **Background, Methods, Results and Conclusion** followed by **3 to 5 Keywords**. Keywords will assist indexers in cross indexing the article as they are published with abstract. Use terms from the Medical Subject Headings (MeSH) list of index medicus (<http://www.nlm.nih.gov/mesh/MBrowser.html>). Authors need to be careful that the abstract reflects the content of the article accurately.
6. **Introduction:** This should summarize the purpose and the rationale for the study. It should neither review the subject extensively nor should it have data or conclusions of the study.
7. **Materials & Methods:** This should include exact method or observation or experiment. If an apparatus is used, its manufacturer's name and address should be given in parenthesis. If the method is established, give reference but if the method is new, give enough information so that another author is able to perform it. If a drug is used, its generic name, dose and route of administration must be given. For patients, age, sex with mean age \pm standard deviation must be given. Statistical method must be mentioned and specify any general computer program used.
8. **Results:** It must be presented in the form of text, tables and illustrations. The contents of the tables should not be all repeated in the text. Instead, a reference to the table number may be given. Long articles may need sub-headings within some sections (especially the Results and Discussion parts) to clarify their contents.
9. **Discussion:** This should emphasize the present findings and the variations or similarities with other work done in the field by other workers. The detailed data should not be repeated in the discussion again. Emphasize the new and important aspects of the study and the conclusions that follow from them. It must be mentioned whether the hypothesis mentioned in the article is true, false or no conclusions can be derived.
10. **Acknowledgement:** All contributors who do not meet the criteria for authorship should be covered in the acknowledgement section. It should include persons who provided technical help, writing assistance and departmental head who only provided general support. Financial and material support should also be acknowledged.
11. **Tables:** In limited numbers should be submitted with the **captions placed above**. Do not submit tables as photograph. Place explanatory matters in footnotes, not in the heading.
12. **Figures:** Should be in limited numbers, with high quality art work and mounted on separate pages. The captions **should be placed below**. The same data should not be presented in tables, figures and text, simultaneously.
13. **References:** Should be as **Vancouver style**. All manuscripts should be accompanied by relevant references. The author should ensure reference to locally published studies by doing proper literature search. It may not be possible for the editor and reviewers to check the accuracy of all reference citations. To minimize such

Editorial Board (In alphabetical order)

1. **Mojtaba Abtahi** MD, Associate Professor of Otolaryngology, Isfahan University of Medical Sciences, Isfahan, Iran
2. **Khosrow Adeli** PhD, Professor of Clinical Biochemistry, University of Toronto, Toronto, Canada
3. **Mohammad Esmail Akbari** MD, Professor of Thoracic Surgery, Tehran University of Medical Sciences, Tehran, Iran
4. **Reza Amin** MD, Professor of Pediatrics, Shiraz University of Medical Sciences, Shiraz, Iran
5. **Babak Amra** MD, Professor of Pulmonology, Isfahan University of Medical Sciences, Isfahan, Iran
6. **Saeid Andalib Jortani** MD, Professor of Pathology, Lewis Weil University, USA
7. **Gholam Reza Askari** MD, PhD of Nutrition, Isfahan University of Medical Sciences, Isfahan, Iran
8. **Reza Bagherian-Sararoudi** PhD, Assistant Professor of Psychiatry, Isfahan University of Medical Sciences, Isfahan, Iran
9. **Majid Berekatain** MD, Associate Professor of Psychiatry, Isfahan University of Medical Sciences, Isfahan, Iran
10. **Ken Bassett** MD, Professor of Dermatology, Dermatology and Leshmaniosis Research Center, Canada
11. **Ahmad Chitsaz** MD, Associate Professor of Neurology, Isfahan University of Medical Sciences, Isfahan, Iran
12. **Afsoon Emami** MD, Associate Professor of Nephrology, Isfahan University of Medical Sciences, Isfahan, Iran
13. **Ali Reza Emami** MD, Associate Professor of Infectious Diseases, Isfahan University of Medical Sciences, Isfahan, Iran
14. **Shahin Emami** Biochemistry and Endocrinology, Saint Antoine Hospital, France
15. **Ebrahim Esfandiary** MD, PhD, Professor of Medical Anatomy, Isfahan University of Medical Sciences, Isfahan, Iran
16. **Faramarz Esmail beigi** MD, Professor of Internal Medicine, School of Medicine, USA
17. **Ziba Farajzadegan** MD, Associate Professor of Community Medicine, Isfahan University of Medical Sciences, Isfahan, Iran
18. **Hamid Fesharaki** Associate Professor of Ophthalmology, Isfahan University of Medical Sciences, Isfahan, Iran
19. **Marjane Foladi** PhD of Nursing, University of Florida, USA
20. **Aziz Gahari** MD, Professor of Dermatology, Dermatology and Leshmaniosis Research Center, Canada
21. **Ali Gheisari** MD, Professor of Cardiovascular Surgery, California, USA
22. **Jafar Golshahi** MD, Associate Professor of Cardiology, Isfahan University of Medical Sciences, Isfahan, Iran
23. **Ali Mohammad Hanjani** MD, Professor of Cardiology, Shiraz University of Medical Sciences, Shiraz, Iran
24. **Mina Hasanrezaei** MD, NeuroImmunology, School of Pharmacy, USA
25. **Saeid Morteza Heidari** MD, Associate Professor of Anesthesiology, Isfahan University of Medical Sciences, Isfahan, Iran
26. **Mansour karamooz** MD, Professor of Urology, California, USA
27. **Roya Kelishadi** MD, Professor of Pediatrics, Isfahan University of Medical Sciences, Isfahan, Iran
28. **Behnaz Khani** MD, Associate Professor of Obstetrics & Gynecology, Isfahan University of Medical Sciences, Isfahan, Iran
29. **Majid Khazaei** MD, PhD, Associate Professor of Medical Physiology, Isfahan University of Medical Sciences, Isfahan, Iran
30. **Parvin Mahzooni** MD, Associate Professor of Pathology, Isfahan University of Medical Sciences, Isfahan, Iran
31. **Majid Maleki** MD, Professor of Cardiology, Shahid Beheshti University of Medical Sciences, Tehran, Iran
32. **Mohammad Mardani** MD, Associate Professor of Medical Anatomy, Isfahan University of Medical Sciences, Isfahan, Iran
33. **Atiye Moghisi** MD, Professor of Endocrinology, Endocrine and Metabolism Research Center, USA
34. **Mehdi Modares** MD, Professor of Ophthalmology, Tehran University of Medical Sciences, Tehran, Iran
35. **Hoshang Moein** MD, Professor of Neurosurgery, Isfahan University of Medical Sciences, Isfahan, Iran
36. **Fereydoun Nouhi** MD, Professor of Cardiology, Tehran University of Medical Sciences, Tehran, Iran
37. **Mohammadreza Nourbakhsh** Associate Professor of Physiotherapy, USA
38. **Farzin Pourfarzad** Department of Cell Biology and Genetics, Erasmus University MC Rotterdam, The Netherlands
39. **Masoud Pourmoghaddas** MD, Professor of Cardiology, Isfahan University of Medical Sciences, Isfahan, Iran
40. **Hassan Razmjou** MD, Professor of Ophthalmology, Isfahan University of Medical Sciences, Isfahan, Iran
41. **Mohammad Reza Safavi** MD, Assistant Professor of Anesthesiology, Isfahan University of Medical Sciences, Isfahan, Iran
42. **Reza Rouzbahani** MD, MPH, Assistant Professor of Community Medicine, Isfahan University of Medical Sciences, Isfahan, Iran
43. **Mansour Sholevar** MD, Associate Professor of Cardiology, Isfahan University of Medical Sciences, Isfahan, Iran
44. **Masoud Soheilian** MD, Professor of Ophthalmology, Shahid Beheshti University of Medical Sciences, Tehran, Iran



JOURNAL OF ISFAHAN MEDICAL SCHOOL

Vol. 32, No. 279, 4th week, May 2014

Isfahan University of Medical Sciences

Responsible: **Mansour Sholehvar MD**

Emerita Editor-in-Chief: **Roya Kelishadi MD**

Editor-in-Chief: **Majid Barekatin MD**

Associate Editor: **Reza Rouzbahani MD, MPH**

Published by:

Isfahan University of Medical Sciences

E-mail: publications@mui.ac.ir

Office:

P.O. Box 81744-176, Isfahan, I.R. IRAN

Telefax: +98 311 7922291

E-mail: jims@med.mui.ac.ir

Website: <http://www.journals.mui.ac.ir/jims>

Office Secretary: Golnaz Rajabi

Copy edit, Layout edit, Design and Print:

Farzanegan Radandish Co.

P.O. Box 81465-1798, Isfahan, I.R. IRAN

Telefax: +98 311 6686302

E-mail: esfahanfarzanegan@yahoo.com

f.radandish@gmail.com

www.farzaneganco.ir

Circulation: 500

This journal is indexed in the following international indexers

- Scopus
- Chemical Abstracts
- Islamic World Science Citation Center (ISC)
- Academic Search Complete EBSCO Publishing databases
- WHO/EMRO/Index Medicus
- Google Scholar
- Index Copernicus
- Directory of Open Access Journal (DOAJ)
- Index Academicus
- Scientific Information Database (www.sid.ir)
- www.iranmedex.com

The online version is available in; IUMS website (www.journals.mui.ac.ir/jims), Iran Publications database (www.magiran.com), Scientific Information Database website (www.sid.ir) and in Health Researchers website (www.iranmedex.com).

Copyright: All rights reserved, no part may be reproduced without the prior permission of the publisher.